

UNIVERSITÉ DU QUÉBEC À MONTRÉAL

EXPLORATION D'UNE NOUVELLE MÉTHODE  
D'ESTIMATION DANS LE PROCESSUS DE COALESCENCE  
AVEC RECOMBINAISON

MÉMOIRE

PRÉSENTÉ

COMME EXIGENCE PARTIELLE

DE LA MAÎTRISE EN MATHÉMATIQUES

PAR

HUGUES MASSÉ

AOÛT 2008

UNIVERSITÉ DU QUÉBEC À MONTRÉAL  
Service des bibliothèques

Avertissement

La diffusion de ce mémoire se fait dans le respect des droits de son auteur, qui a signé le formulaire *Autorisation de reproduire et de diffuser un travail de recherche de cycles supérieurs* (SDU-522 – Rév.01-2006). Cette autorisation stipule que «conformément à l'article 11 du Règlement no 8 des études de cycles supérieurs, [l'auteur] concède à l'Université du Québec à Montréal une licence non exclusive d'utilisation et de publication de la totalité ou d'une partie importante de [son] travail de recherche pour des fins pédagogiques et non commerciales. Plus précisément, [l'auteur] autorise l'Université du Québec à Montréal à reproduire, diffuser, prêter, distribuer ou vendre des copies de [son] travail de recherche à des fins non commerciales sur quelque support que ce soit, y compris l'Internet. Cette licence et cette autorisation n'entraînent pas une renonciation de [la] part [de l'auteur] à [ses] droits moraux ni à [ses] droits de propriété intellectuelle. Sauf entente contraire, [l'auteur] conserve la liberté de diffuser et de commercialiser ou non ce travail dont [il] possède un exemplaire.»

## REMERCIEMENTS

Je tiens d'abord à remercier mon directeur Fabrice Larribe pour m'avoir supervisé. Malgré son horaire chargé, Fabrice a patiemment répondu à mes nombreuses questions. Il m'a facilité la vie en collaborant à l'élaboration d'un plan de travail et en fournissant des articles et outils informatiques appropriés. Merci Fabrice !

Ensuite, je tiens à remercier mes amis Simon Belzile pour ses précieux conseils informatiques et Alain Régnier pour son support.

Enfin, je veux remercier le CRSNG pour son aide financière et ma famille pour son appui tout au long de ma maîtrise.

## TABLE DES MATIÈRES

LISTE DES FIGURES . . . . .	vi
RÉSUMÉ . . . . .	ix
INTRODUCTION . . . . .	1
CHAPITRE I	
NOTIONS DE GÉNÉTIQUE . . . . .	3
1.1 Concepts élémentaires . . . . .	3
1.2 Polymorphisme, marqueur génétique et séquence d'ADN . . . . .	4
1.3 Mutation . . . . .	4
1.4 Recombinaison du point de vue biologique et conversion de gènes . . . . .	5
CHAPITRE II	
THÉORIE DE LA COALESCENCE . . . . .	7
2.1 Le processus de coalescence de base . . . . .	7
2.1.1 Le modèle de Wright-Fisher . . . . .	9
2.1.2 Le processus de coalescence à temps discret . . . . .	10
2.1.3 Le processus de coalescence à temps continu . . . . .	11
2.2 Évènements dans le processus de coalescence . . . . .	12
2.2.1 Information sur les séquences d'ADN . . . . .	13
2.2.2 Définition des quatre types d'évènements considérés . . . . .	14
2.2.3 Le processus de coalescence avec mutations . . . . .	17
2.2.4 Le processus de coalescence avec recombinaisons . . . . .	17
2.3 Paramètres et résultats importants du processus de coalescence . . . . .	20
2.3.1 Paramètres génétiques . . . . .	20
2.3.2 Quelques résultats probabilistes importants du processus de coalescence . . . . .	23

CHAPITRE III	
MÉTHODES D'ESTIMATION DE LA VRAISEMBLANCE . . . . .	28
3.1 Définition de la vraisemblance des paramètres génétiques . . . . .	29
3.2 Calcul de la vraisemblance avec les généalogies . . . . .	29
3.3 Calcul de la vraisemblance avec les histoires . . . . .	33
3.4 Méthode de Fearnhead et Donnelly (2001) . . . . .	36
3.5 Méthode de Fearnhead et Donnelly (2002) . . . . .	37
3.6 Estimateur de vraisemblance composite d'Hudson (2001) . . . . .	38
CHAPITRE IV	
MÉTHODE DE LARRIBE <i>ET AL.</i> . . . . .	40
4.1 Détails et hypothèses du modèle . . . . .	41
4.2 Équation de récurrence . . . . .	42
4.3 Chaîne de Markov . . . . .	52
4.4 Échantillonnage pondéré . . . . .	54
CHAPITRE V	
MÉTHODE AVEC ÉQUATIONS EXACTES . . . . .	58
5.1 Construction d'une histoire et calcul de sa vraisemblance . . . . .	59
5.2 Définition de la fonction de vraisemblance composite . . . . .	62
5.2.1 Concept de fenêtre de marqueurs . . . . .	64
5.2.2 Vraisemblances marginales . . . . .	64
5.2.3 Fonction de vraisemblance composite . . . . .	66
5.3 Implémentation informatique . . . . .	66
5.4 Résultats . . . . .	73
5.4.1 Ensembles de données utilisés . . . . .	73
5.4.2 Paramètres utilisés . . . . .	76
5.4.3 Temps de calcul . . . . .	76
5.4.4 Résultats obtenus avec les données "A" . . . . .	78
5.4.5 Résultats obtenus avec les données "B" . . . . .	80

5.4.6 Résultats obtenus avec les données "C" . . . . .	81
5.4.7 Résultats obtenus avec les données "D" . . . . .	86
CONCLUSION . . . . .	87
APPENDICE A	
PROGRAMME INFORMATIQUE . . . . .	90
BIBLIOGRAPHIE . . . . .	126

## LISTE DES FIGURES

1.1	Invasion d'un brin de chromosome brisé. . . . .	5
1.2	La résolution du joint d'Holliday peut mener à une recombinaison ou à une conversion de gènes. . . . .	6
2.1	Un exemple du processus de coalescence dans un échantillon de six séquences. . . . .	8
2.2	Schéma du modèle de Wright-Fisher avec six séquences et neuf générations. . . . .	10
2.3	Exemple d'échantillon de séquences d'ADN : multiplicité de chaque séquence $i$ ( $n_i$ ) pour $i = 1, \dots, 4$ . . . . .	13
2.4	Exemple d'évènement de : (a) coalescence identique, (b) coalescence distincte, (c) mutation et (d) recombinaison. . . . .	15
2.5	Un exemple du processus de coalescence avec mutations dans un échantillon de six séquences. Les petits points noirs y désignent des mutations. . . . .	17
2.6	Un exemple d'ARG (tiré de Larribe <i>et al.</i> , 2002). . . . .	19
2.7	Arbres partiels pour l'ARG de la figure 2.6 (tiré de Larribe <i>et al.</i> , 2002). . . . .	21
3.1	Exemple d'une histoire (tiré de Felsenstein <i>et al.</i> , 1999). . . . .	34
5.1	Exemple d'histoire possible dans l'ARG avec $\mathbf{H}_\tau = \{(1, 0, 0), (0, 1, 0)\}$ et où au maximum une recombinaison est permise par intervalle. . . . .	60

5.2	Probabilités de chacun des quatre évènements possibles. . . . .	61
5.3	ARG associé à l'histoire illustrée à la figure 5.1. . . . .	63
5.4	Exemples de fenêtres pour une séquence de cinq marqueurs : (a) quatre fenêtres de taille $f = 2$ ; (b) trois fenêtres de taille $f = 3$ (tiré de Larribe et Lessard, 2008). . . . .	64
5.5	Ensemble de données "A" : multiplicité de chaque séquence $i$ ( $n_i$ ) pour $i = 1, 2$ . La séquence 2 est un cas ; la séquence 1 est un témoin. . . . .	74
5.6	Ensemble de données "B" : multiplicité de chaque séquence $i$ ( $n_i$ ) pour $i = 1, 2, 3$ . Les séquences 2 et 3 sont des cas ; la séquence 1 est un témoin. . .	74
5.7	Ensemble de données "C" : multiplicité de chaque séquence $i$ ( $n_i$ ) pour $i = 1, \dots, 5$ . Les séquences 1, 4 et 5 sont des cas ; les autres, des témoins. . .	75
5.8	Ensemble de données "D" : multiplicité de chaque séquence $i$ ( $n_i$ ) pour $i = 1, \dots, 6$ . Les séquences 1, 3, 4 et 5 sont des cas ; les autres, des témoins.	75
5.9	Croissance exponentielle du nombre total d'évènements requis pour faire toutes les histoires. La courbe bleue est celle des séquences (0,1) et (1,0), la courbe verte s'applique aux séquences (1,0) et (1,1) et la courbe rouge est obtenue des séquences (0,0) et (0,1). . . . .	77
5.10	Courbes de vraisemblance obtenues pour les données "A" avec la méthode développée en utilisant des valeurs de $\phi$ de (0,0), (0,1), (1,0), (1,1), (1,2), (2,1), (2,2), (2,3), (3,2) et (3,3). . . . .	79
5.11	Courbes de vraisemblance obtenues pour les données "B" avec la méthode développée en utilisant des valeurs de $\phi$ de (0,0), (0,1), (1,0), (1,1), (1,2) et (2,1) et avec la méthode de Larribe <i>et al.</i> . . . . .	82

- 5.12 Courbes de vraisemblance obtenues avec la méthode de Larribe *et al.*, en utilisant : (a) les données à l'origine des données "C" et en produisant 1000 graphes, (b) les données à l'origine des données "C" et en produisant 10 000 graphes, (c) les données "C" et en produisant 1000 graphes et (d) les données "C" et en produisant 10 000 graphes. . . . . 83
- 5.13 Courbes de vraisemblance obtenues pour les données "C" avec la méthode développée en utilisant des valeurs de  $\phi$  de (0,1), (1,1), (1,2) et (2,1) et avec la méthode de Larribe *et al.* . . . . . 84
- 5.14 Courbes de vraisemblance obtenues pour les données "D" avec la méthode développée en utilisant  $\phi = (1, 0)$  et avec la méthode de Larribe *et al.* avec des fenêtres de tailles 2, 3 et 4. . . . . 85

## RÉSUMÉ

L'estimation de paramètres génétiques est un problème important dans le domaine de la génétique mathématique et statistique. Il existe plusieurs méthodes s'attaquant à ce problème. Certaines d'entre elles utilisent la méthode du maximum de vraisemblance. Celle-ci peut être calculée à l'aide des équations exactes de Griffiths-Tavaré, équations de récurrence provenant du processus de coalescence.

Il s'agit alors de considérer plusieurs histoires possibles qui relient les données de l'échantillon initial de séquences d'ADN à un ancêtre commun. Habituellement, certaines des histoires possibles sont simulées, en conjonction avec l'application des méthodes Monte-Carlo. Larribe *et al.* (2002) utilisent cette méthode (voir chapitre IV).

Nous explorons une nouvelle approche permettant d'utiliser les équations de Griffiths-Tavaré de façon différente pour obtenir une estimation quasi exacte de la vraisemblance sans avoir recours aux simulations. Pour que le temps de calcul nécessaire à l'application de la méthode demeure raisonnable, nous devons faire deux compromis majeurs. La première concession consiste à limiter le nombre de recombinaisons permises dans les histoires. La seconde concession consiste à séparer les données en plusieurs parties appelées fenêtres. Nous obtenons ainsi plusieurs vraisemblances marginales que nous mettons ensuite en commun en appliquant le principe de vraisemblance composite.

À l'aide d'un programme écrit en C++, nous appliquons notre méthode dans le cadre d'un problème de cartographie génétique fine où nous voulons estimer la position d'une mutation causant une maladie génétique simple.

Notre méthode donne des résultats intéressants. Pour de très petits ensembles de données, nous montrons qu'il est possible de permettre un assez grand nombre de recombinaisons pour qu'il y ait convergence dans la courbe de vraisemblance obtenue. Aussi, il est également possible d'obtenir des courbes dont la forme et l'estimation du maximum de vraisemblance sont similaires à celles obtenues avec la méthode de Larribe *et al.* Cependant, notre méthode n'est pas encore applicable dans son état actuel parce qu'elle est encore trop exigeante en termes de temps de calcul.

**Mots clés :** équations exactes de Griffiths-Tavaré, paramètres génétiques, processus de coalescence, vraisemblance composite.

## INTRODUCTION

En statistique génétique, plusieurs méthodes permettent d'estimer des paramètres génétiques. La méthode du maximum de vraisemblance en est une qui peut bien s'appliquer à ce type de problème. Celle-ci, à son tour, peut s'opérer de différentes façons. Entre autres, nous avons le choix d'effectuer les calculs de vraisemblance en considérant les généalogies ou les histoires (Felsenstein *et al.*, 1999, par exemple).

Cette dernière stratégie, effectuer les calculs de vraisemblance à l'aide des histoires, est une méthode courante depuis l'introduction des équations de Griffiths-Tavaré en 1994. Ce sont des équations de récurrence qui expriment la vraisemblance d'un ensemble de données en fonction des vraisemblances des ensembles de données antérieurs.

Les équations de Griffiths-Tavaré sont construites à partir d'un modèle d'évolution particulier : le processus de coalescence (Kingman, 1982). Il s'agit d'un processus stochastique servant à décrire l'historique de la transmission de séquences d'ADN dans une population. C'est un processus flexible qui permet d'inclure toutes sortes d'options comme celle qui consiste à considérer les événements de recombinaison (Hudson, 1983 et Griffiths et Marjoram, 1996).

En 2002, Larribe *et al.* ont mis au point une méthode de cartographie génétique fine qui permet d'estimer la position d'une mutation causant une maladie génétique simple. C'est une méthode qui tient compte de la recombinaison et qui utilise les équations de Griffiths-Tavaré.

Dans leur méthode, Larribe *et al.* considèrent plusieurs histoires qui relient l'échantillon initial de séquences d'ADN à un ancêtre commun. Ils en simulent un grand nombre et la

vraisemblance est estimée à l'aide de méthodes Monte-Carlo.

Leur méthode comporte quelques inconvénients : le temps de calcul est assez grand, les courbes de vraisemblance sont différentes d'une simulation à l'autre et l'estimation fournie n'est pas toujours bonne. La recherche d'une méthode alternative est donc tout à fait justifiée. L'objectif principal de ce mémoire est d'explorer une nouvelle approche permettant possiblement d'obtenir de meilleurs résultats.

Cette approche consiste à considérer toutes les histoires qui relient l'échantillon initial de séquences d'ADN à l'ancêtre commun. Puisque le nombre d'histoires possibles est très grand, nous devons forcément faire des compromis pour que le temps de calcul demeure raisonnable. Ainsi, nous limitons le nombre de recombinaisons permises dans les histoires et nous séparons nos données en plusieurs parties appelées fenêtres. Nous regroupons par la suite les vraisemblances marginales obtenues pour chacune des fenêtres à l'aide du principe de vraisemblance composite (Lindsay, 1988 et Varin et Vidoni, 2005).

Ce mémoire est divisé en cinq chapitres. Les deux premiers chapitres fournissent la théorie nécessaire à l'application des méthodes d'estimation de vraisemblance considérées par la suite. Au chapitre I, nous présentons les notions pertinentes de génétique. Ensuite, au chapitre II, la théorie de la coalescence est expliquée. Plusieurs méthodes d'estimation de vraisemblance sont brièvement présentées au chapitre III. La méthode de Larribe *et al.* est exposée au chapitre IV. Finalement, au chapitre V, la nouvelle méthode que nous explorons dans ce mémoire est développée.

## CHAPITRE I

### NOTIONS DE GÉNÉTIQUE

Dans ce chapitre, quelques notions de génétique nécessaires à la compréhension du mémoire sont présentées.

#### 1.1 Concepts élémentaires

L'être humain est composé d'ADN, une substance qui lui permet de synthétiser des protéines. L'ADN est composé d'une suite de nucléotides. Il existe quatre types de nucléotides : l'adénine (A), la cytosine (C), la guanine (G) et la thymine (T). Ces nucléotides sont arrangés en groupes de trois, appelés codons.

Chaque être humain a 46 chromosomes divisés en 23 paires. Nous disons alors que l'être humain est un être diploïde, contrairement aux êtres haploïdes qui n'ont qu'une seule copie de chaque chromosome. Présents dans le noyau de nos cellules, les chromosomes sont des matériaux génétiques composés d'ADN et de protéines.

Les gènes se présentent par paires sur les chromosomes à des positions particulières appelées loci. Les formes possibles que peuvent prendre un même gène sont appelées allèles.

Chaque caractère d'un être humain, comme le groupe sanguin ou la couleur des yeux, est déterminé par une ou plusieurs paires d'allèles tel que chaque paire est composée d'un allèle

provenant du père avec un allèle provenant de la mère. Les deux allèles se séparent durant la formation des cellules sexuelles, spermatozoïde ou ovule. Chaque cellule sexuelle a un des deux allèles avec équiprobabilité.

## 1.2 Polymorphisme, marqueur génétique et séquence d'ADN

Une séquence d'ADN détermine l'ordre des nucléotides qui composent un segment d'une molécule d'ADN. Il est à noter que dans ce mémoire, lorsque nous employons le terme séquence, nous sous-entendons une séquence d'ADN.

Un polymorphisme est une séquence d'ADN dont le code varie d'un individu à l'autre. Un marqueur génétique est un polymorphisme qui n'est pas forcément un gène et qui est situé à une certaine position sur le génome. Il peut être constitué d'un seul nucléotide nommé SNP (Single Nucleotide Polymorphism) ou d'une suite de nucléotides, comme dans le cas des microsatellites.

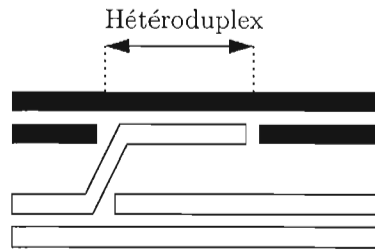
Aux chapitres IV et V, nous travaillons sur des séquences composées de marqueurs SNPs.

## 1.3 Mutation

Une mutation est un changement brusque dans le matériel génétique. C'est un évènement relativement rare, causé par exemple par une erreur dans la réplication. Ce sont les mutations qui font en sorte que différentes allèles existent à un locus.

Nous faisons trois hypothèses par rapport aux mutations :

- 1) Le MRCA (Most Recent Common Ancestor) est la séquence la plus récente à partir de laquelle toutes les séquences de l'échantillon sont directement descendantes. En fait, le MRCA constitue une référence. Nous supposons que le MRCA ne contient aucune mutation. Si par la suite une séquence descendante du MRCA a un allèle à un certain locus qui est



**Figure 1.1** Invasion d'un brin de chromosome brisé.

différent de celui du MRCA, nous concluons que cet allèle est mutant.

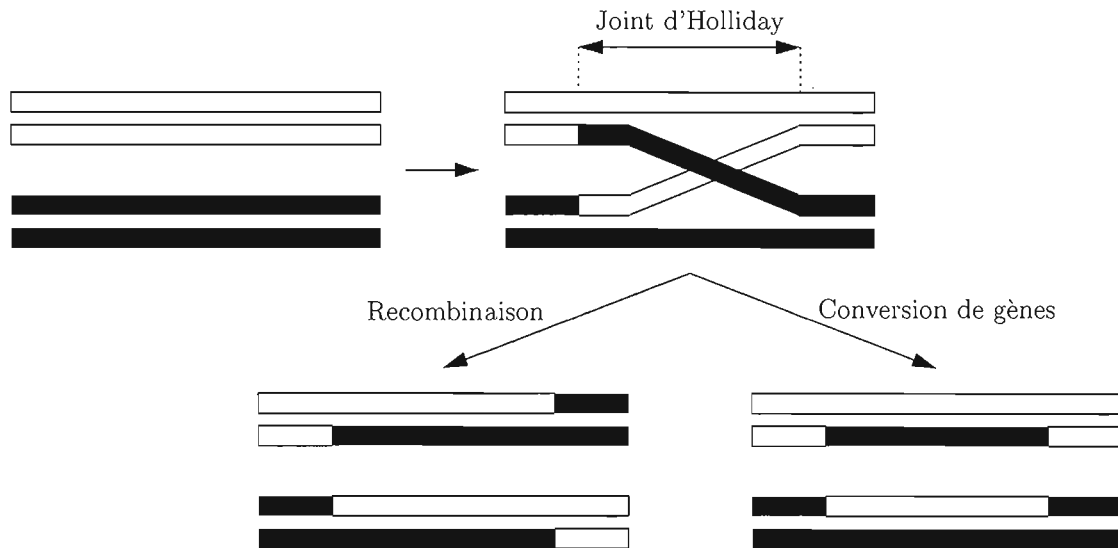
2) Nous supposons que les mutations ne changent pas les chances de reproduction. Nous supposons donc qu'il n'y a pas de sélection. Ceci simplifiera nos calculs.

3) Nous travaillons avec le modèle de mutations "Infinite sites" (Kimura, 1969). Celui-ci décrit l'évolution de longues séquences d'ADN avec des taux de mutation faibles à chaque position. Nous négligeons la probabilité qu'une mutation se produise à la même position plus d'une fois. Ainsi, il y a toujours un ou deux états possibles à une position donnée dans un ensemble de séquences (un s'il n'y a jamais eu mutation à cette position et deux s'il y a eu mutation).

#### 1.4 Recombinaison du point de vue biologique et conversion de gènes

Chez les eucaryotes, individus dont les cellules renferment un noyau, un bris accidentel d'un des deux brins d'un chromosome peut entraîner l'invasion de ce brin par le chromosome homologue. Ceci crée une région d'ADN hétéroduplex (voir figure 1.1)

Dans la région d'ADN hétéroduplex, il y a des incohérences entre les deux brins de chromosomes. Normalement, les nucléotides forment des paires de Watson-Crick (C' avec G et A avec T) entre les deux brins. Ceci ne sera plus toujours le cas. Le système de réparation de l'ADN va reconnaître les incohérences et les corriger en utilisant un des deux brins comme



**Figure 1.2** La résolution du joint d'Holliday peut mener à une recombinaison ou à une conversion de gènes.

référence pour la réparation.

Lorsque les deux brins se brisent en même temps, un joint d'Holliday se forme. Plusieurs protéines s'occupent de la maintenance et de la résolution finale du joint d'Holliday. S'il y a enjambement (mécanisme d'échange de gènes entre chromosomes homologues) lors de la résolution du joint d'Holliday, nous nommons l'évènement une recombinaison. S'il n'y a pas enjambement lors de la résolution du joint d'Holliday, nous nommons l'évènement une conversion de gènes. La figure 1.2 schématise ces deux évènements.

Les mutations et les recombinaisons sont les évènements qui créent la variation dans l'évolution. Ces deux évènements sont modélisés dans notre méthode de cartographie génétique fine.

## CHAPITRE II

### THÉORIE DE LA COALESCENCE

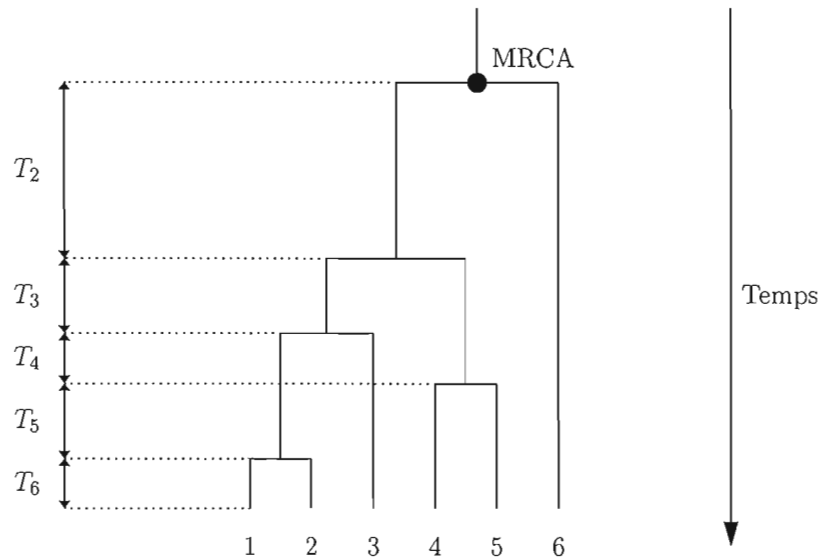
Nous introduisons d'abord le processus de coalescence de base, en décrivant le modèle de Wright-Fischer et en examinant le processus de coalescence à temps discret et à temps continu.

Par la suite, nous définissons et nous voyons comment modéliser quatre types d'évènements dans un processus de coalescence : la coalescence identique, la coalescence distincte, la mutation et la recombinaison. Ce sont ces quatre évènements que nous considérons dans notre méthode.

Finalement, nous montrons comment obtenir certains résultats probabilistes importants dans le processus de coalescence. Certains de ces résultats sont directement utiles pour notre méthode de cartographie génétique.

#### 2.1 Le processus de coalescence de base

Le processus de coalescence est un processus stochastique introduit par Kingman (1982) et servant à décrire l'historique de la transmission de certaines séquences dans une population. Un exemple de processus de coalescence est représenté par un arbre généalogique à la figure 2.1.



**Figure 2.1** Un exemple du processus de coalescence dans un échantillon de six séquences.

Les séquences  $y$  sont numérotées de façon arbitraire de 1 à 6. Nous disons qu'il y a coalescence lorsque deux séquences sont une copie identique du même parent. Lorsqu'un tel évènement se produit, le nombre de séquences diminue de un dans l'échantillon si nous remontons dans le temps. Si nous remontons suffisamment dans le temps, jusqu'en haut du schéma, cinq coalescences ont eu lieu et nous retrouvons donc une seule séquence, le MRCA (Most Recent Common Ancestor). À la gauche du graphique, les variables  $T_s$  ( $s = 2, \dots, 6$ ) représentent le temps écoulé avant qu'il y ait coalescence lorsqu'il y a  $s$  séquences dans l'échantillon.

En fait, un processus de coalescence est décrit par deux composantes : la topologie (quelles séquences coalescent ensemble) et les temps de coalescence. Si nous disposons d'un échantillon de  $n$  séquences, il est possible de simuler le processus de coalescence ayant engendré ces  $n$  séquences. À chaque fois qu'il y a coalescence parmi  $s$  séquences, la paire de séquences qui a coalescé est choisie au hasard parmi les  $\binom{s}{2}$  paires possibles. Les temps de coales-

cence lorsqu'il y a  $s$  séquences, quant à eux, sont tirés d'une distribution exponentielle de paramètre  $\binom{s}{2}$ . Ceci découle du processus de coalescence à temps continu, une approximation du processus de coalescence à temps discret qui est obtenu à l'aide du modèle de Wright-Fisher. Examinons plus en détail ces concepts.

### 2.1.1 Le modèle de Wright-Fisher

Le modèle de Wright-Fisher a été introduit par Wright (1931) et Fisher (1930). Il s'agit d'un modèle simple décrivant les relations généalogiques entre des séquences. Ce modèle est encore utilisé dans de multiples contextes.

Nous supposons une population constante de  $2N$  séquences à chaque génération. Cette taille de population est choisie pour faciliter la comparaison entre les modèles haploïdes et diploïdes. Ainsi, nous pouvons supposer que les séquences proviennent de  $2N$  individus haploïdes ou de  $N$  individus diploïdes. Chaque séquence d'une nouvelle génération  $t + 1$  est une copie identique d'une des  $2N$  séquences choisie au hasard à la génération précédente  $t$ . Une séquence peut donc ne pas être transmise ou être transmise une ou plusieurs fois. En fait, le nombre de fois qu'une certaine séquence est transmise est une variable aléatoire qui suit une loi binomiale de paramètres  $2N$  (le nombre de descendants possibles) et  $1/2N$  (la probabilité qu'un descendant soit une copie de la séquence considérée). La figure 2.2 schématise le modèle de Wright-Fisher.

Le modèle de Wright-Fisher fait appel aux hypothèses simplificatrices suivantes :

- Les générations sont discrètes et il n'y a pas d'interaction entre deux générations différentes.
- Un individu diploïde est considéré équivalent à deux individus haploïdes.
- La taille de la population est constante.
- Tous les individus ont les mêmes chances de se reproduire (pas de sélection).
- La population n'a pas de structure géographique.

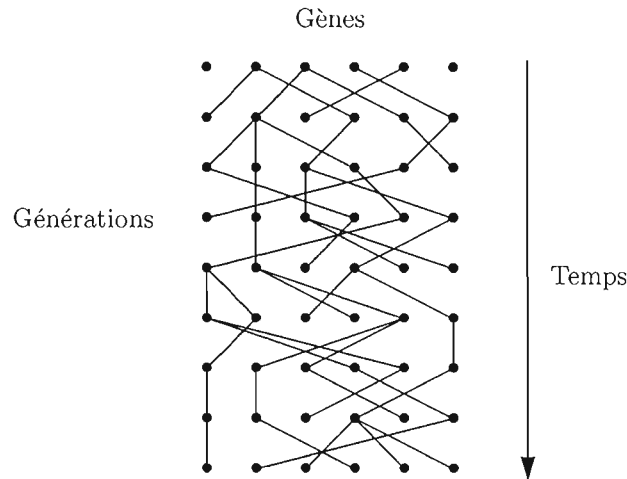


Figure 2.2 Schéma du modèle de Wright-Fisher avec six séquences et neuf générations.

- Les séquences dans la population ne se recombinent pas.

### 2.1.2 Le processus de coalescence à temps discret

Tel que mentionné précédemment, une coalescence a lieu lorsque deux séquences partagent un parent commun. Nous allons trouver la probabilité qu'un tel évènement se produise à une génération donnée. Tout d'abord, calculons la probabilité que pour une génération donnée,  $s$  ( $\leq n$ ) séquences aient  $s$  ancêtres différents (c'est-à-dire qu'il n'y a pas de coalescence) sous le modèle de Wright-Fisher. Pour obtenir cette probabilité, il suffit de remarquer que la première séquence peut choisir n'importe quel parent parmi les  $2N$  séquences de la génération précédente et que le choix de parents diminue de un pour les séquences subséquentes. Dans ce contexte, la probabilité qu'il n'y ait pas de coalescence pour une génération donnée est donc :

$$\frac{(2N-1)}{2N} \frac{(2N-2)}{2N} \dots \frac{(2N-s+1)}{2N} = \prod_{i=1}^{s-1} \left(1 - \frac{i}{2N}\right)$$

$$\begin{aligned}
&= 1 - \sum_{i=1}^{s-1} \frac{i}{2N} + O\left(\frac{1}{N^2}\right) \\
&= 1 - \binom{s}{2} \frac{1}{2N} + O\left(\frac{1}{N^2}\right),
\end{aligned}$$

où  $O(1/N^2)$  représente tous les termes qui sont divisés par  $N^2$  ou une puissance supérieure de  $N$ .

Puisque  $n$  est très petit par rapport à  $N$ , nous pouvons négliger le terme  $O(1/N^2)$ . Ceci est équivalent à ignorer la possibilité que plus d'une paire de séquences trouve un ancêtre commun à la même génération puisque la probabilité d'un tel événement est aussi  $O(1/N^2)$ .

La probabilité qu'il n'y ait pas de coalescence est donc approximée par  $1 - \binom{s}{2}/(2N)$ . Son complément,  $1 - (1 - \binom{s}{2}/(2N)) = \binom{s}{2}/(2N)$ , approxime la probabilité qu'il y ait une et une seule coalescence.

Si  $T_s$  désigne le nombre de générations qu'il faut remonter dans le temps pour qu'une paire de séquences parmi  $s$  séquences coalesce, alors, par ce qui précède,  $T_s$  suit approximativement une loi géométrique de paramètre  $\binom{s}{2}/(2N)$ .

### 2.1.3 Le processus de coalescence à temps continu

Il existe plusieurs avantages à mesurer le temps de façon continue dans le processus de coalescence. Conceptuellement, il est plus naturel de mesurer le temps de cette façon et les calculs à l'ordinateur se font alors plus aisément. Afin de rendre le temps continu, nous définissons une unité de temps continu : elle est équivalente à  $2N$  générations. En termes mathématiques, si  $j$  désigne le temps discret mesuré en générations et  $t$  désigne le temps continu, alors  $t = j/(2N)$ . Un avantage de définir ainsi le temps continu est que ce dernier est alors indépendant de la taille de la population.

En temps discret, puisque  $T_s \sim \text{Géo} \left( \binom{s}{2} / (2N) \right)$  approximativement,  $\left( 1 - \binom{s}{2} / (2N) \right)$  représente la probabilité qu'il n'y ait pas coalescence pour une génération donnée. Nous obtenons donc :

$$P(T_s \geq j) = \left( 1 - \frac{\binom{s}{2}}{2N} \right)^j.$$

En temps continu, puisque  $j = 2Nt$ ,

$$\begin{aligned} P(T_s^c \geq t) &= \left( 1 - \frac{\binom{s}{2}}{2N} \right)^{2Nt} \\ &\approx e^{-\binom{s}{2}t}, \quad \text{car } \left( 1 - \frac{x}{N} \right)^{Nt} \rightarrow e^{-tx} \text{ lorsque } N \rightarrow \infty, \end{aligned}$$

où  $T_s^c$  désigne le nombre d'unités de temps continu qu'il faut remonter dans le temps pour qu'une paire de séquences parmi  $s$  séquences coalesce. Nous obtenons donc approximativement  $T_s^c \sim \text{Exp} \left( \binom{s}{2} \right)$ .

Puisque le processus de coalescence réfère habituellement au modèle à temps continu, dans un contexte général nous ne spécifions pas l'exposant  $c$  et  $T_s^c$  est dorénavant noté  $T_s$ .

## 2.2 Évènements dans le processus de coalescence

Le but de cette section est de montrer comment modéliser quatre types d'évènements dans le processus de coalescence. Afin d'arriver à ce but, nous présentons d'abord l'information considérée sur une séquence d'ADN et nous définissons les quatre évènements en question.

$i$	$n_i$	Séquence
1	2	■ — ■ — ■
2	1	□ — ■ — ■
3	1	■ — ■ — □
4	1	□ — □ — ■

Figure 2.3 Exemple d'échantillon de séquences d'ADN : multiplicité de chaque séquence  $i$  ( $n_i$ ) pour  $i = 1, \dots, 4$ .

### 2.2.1 Information sur les séquences d'ADN

Pour appliquer notre méthode de cartographie génétique, nous aurons un échantillon de séquences d'ADN. La figure 2.3 est un exemple d'un tel échantillon. Nous y retrouvons  $n = 5$  séquences de  $d = 4$  types différents et de multiplicités  $n_1 = 2$  et  $n_2 = n_3 = n_4 = 1$ . Nous remarquons que dans l'échantillon, nous avons de l'information sur les séquences d'ADN à plusieurs positions, là où se trouvent des marqueurs génétiques. Dans l'exemple, il y a trois marqueurs génétiques par séquence. Ceux-ci sont représentés par des petites boîtes carrées le long de la séquence. Dans notre méthode, de façon générale il y a  $L$  marqueurs génétiques par séquence :  $L - 1$  marqueurs de positions connues et la mutation causant la maladie génétique, que nous considérons comme un marqueur génétique dont la position n'est pas connue. Nous supposons seulement qu'elle est située entre le premier et le dernier marqueur.

L'information que nous avons à chaque marqueur est très simple. Un marqueur peut être ancestral sans mutation, ancestral mutant ou non-ancestral. Un marqueur ancestral sans mutation est un marqueur qui n'a pas subi de mutation après l'ancêtre commun. Il est important de se rappeler que nous travaillons avec le modèle de mutations "Infinite sites" et donc qu'une mutation ne peut se produire qu'une seule fois en une position donnée. Ainsi, un marqueur ancestral sans mutation nous indique qu'il n'y a jamais eu mutation

alors qu'un marqueur ancestral mutant nous indique qu'il y a eu une et une seule mutation. Dans notre méthode, l'échantillon initial ne comprend que des marqueurs ancestraux, mutants ou non mutants. Lorsqu'un marqueur est non-ancestral, nous ignorons s'il s'agit d'un marqueur mutant ou non. Nous verrons dans la prochaine sous-section que les recombinaisons introduisent des marqueurs non-ancestraux, alors que les coalescences distinctes tendent à les faire disparaître.

Dans ce mémoire, une convention consiste à représenter graphiquement un marqueur ancestral sans mutation par un carré noir, un marqueur ancestral mutant par un carré noir avec un carré blanc à l'intérieur et un marqueur non-ancestral par un carré blanc (voir figure 2.3, par exemple). En langage informatique ou dans un texte, les trois sortes de marqueurs sont plutôt représentés par un caractère : "0" pour un marqueur ancestral sans mutation, "1" pour un marqueur ancestral mutant et "-" pour un marqueur non-ancestral.

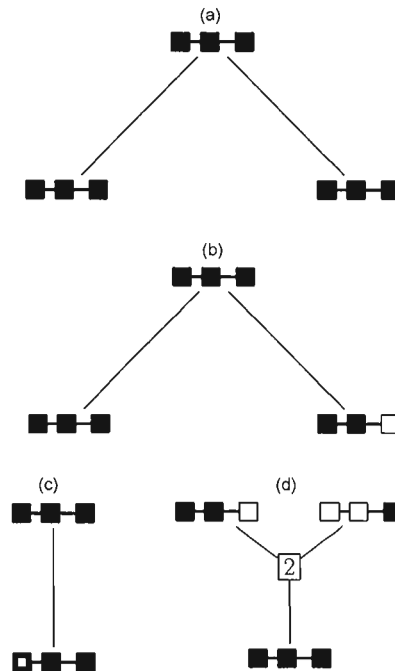
## 2.2.2 Définition des quatre types d'évènements considérés

### – La coalescence identique $C_i$

La coalescence identique  $C_i$  se produit lorsque deux séquences identiques de type  $i$  trouvent un ancêtre commun qui est aussi de type  $i$ . En remontant dans le temps, pour que cet évènement se réalise, il faut donc nécessairement que la multiplicité du type de séquence impliqué soit supérieure à un. Il est aussi bon de noter que, si nous remontons dans le temps vers l'ancêtre commun, l'évènement  $C_i$  diminue de un le nombre de séquences en diminuant de un le nombre de séquences de type  $i$ . La figure 2.4 (a) illustre la coalescence identique  $C_1$  des deux séquences de type 1 de la figure 2.3.

### – La coalescence distincte $C_{ij}^k$ , avec $i \neq j$

La coalescence distincte  $C_{ij}^k$  se produit lorsque deux séquences de types différents  $i$  et  $j$  trouvent un ancêtre commun de type  $k$ . Le fait que deux séquences "compatibles", mais non identiques puissent avoir un ancêtre commun est rendu possible grâce aux marqueurs



**Figure 2.4** Exemple d'évènement de : (a) coalescence identique, (b) coalescence distincte, (c) mutation et (d) recombinaison.

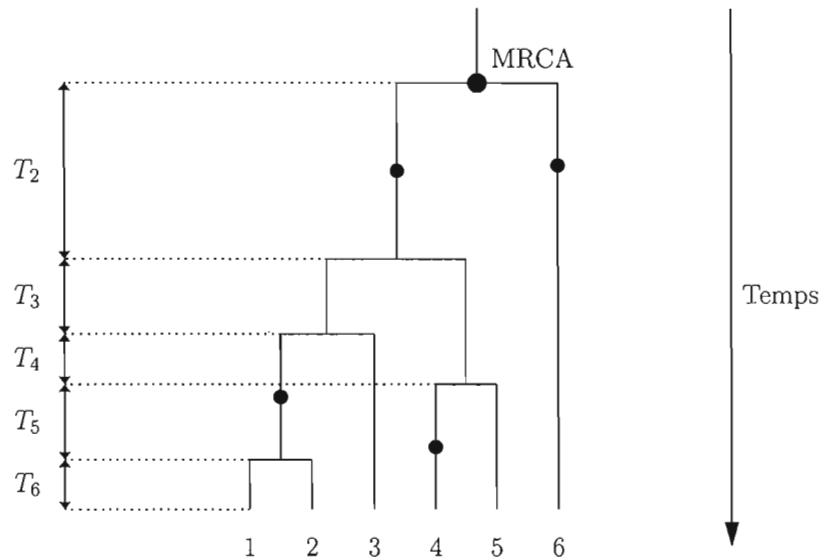
non-ancestraux. Ceux-ci, contrairement aux marqueurs ancestraux, ne posent pas de restrictions sur les possibilités de coalescence. Par exemple, les deux séquences  $(0, -, 1)$  et  $(-, 0, 1)$  pourraient coalescer pour donner l'unique parent  $(0, 0, 1)$ , et cela même si l'information n'est pas la même d'une séquence à l'autre pour le premier et pour le second marqueur. En remontant dans le temps vers l'ancêtre commun, l'évènement  $C_{ij}^k$  diminue de un le nombre de séquences. Pour ce faire, le nombre de séquences de type  $i$  ainsi que le nombre de séquences de type  $j$  sont diminués de un et le nombre de séquences de type  $k$  est augmenté de un. La figure 2.4 (b) illustre la coalescence distincte  $C_{13}^1$  des séquences de type 1 et 3 de la figure 2.3. Cela produit une séquence de type 1.

– **La mutation**  $M_i^j(m)$

En remontant dans le temps jusqu'à l'ancêtre commun, il faut enlever toutes les mutations, car nous supposons que le MRCA est une séquence ne contenant aucune mutation. Or, selon notre modèle de mutations utilisé, une mutation survient en une position au plus une fois. Ainsi, pour enlever une mutation au marqueur  $m$ , il faut qu'il y ait une seule séquence qui possède cette mutation à ce marqueur. Un évènement de mutation ne change pas le nombre de séquences, seul le type d'une séquence est modifié. La figure 2.4 (c) illustre la mutation  $M_1^2(1)$  au premier marqueur de la séquence de type 2 de la figure 2.3. Cela produit une séquence de type 1.

– **La recombinaison**  $R_i^{jk}(p)$

La recombinaison  $R_i^{jk}(p)$  se produit lorsqu'une séquence de type  $i$  descend de deux parents de types  $j$  et  $k$  et que le point de recombinaison est dans l'intervalle  $p$ . Par convention, cet intervalle se situe entre le  $p^{\text{ème}}$  et le  $(p + 1)^{\text{ème}}$  marqueur. Chacun des deux parents donne une partie du matériel génétique à l'enfant d'une façon bien précise : un des parents fournit le matériel génétique à la gauche du point de recombinaison et l'autre parent fournit le matériel génétique à la droite du point de recombinaison. Lorsqu'un évènement de recombinaison survient, des marqueurs non-ancestraux sont toujours introduits. Par exemple, une recombinaison de la séquence  $(0, 1, 0)$  donne les parents  $(0, -, \tau)$  et  $(-, 1, 0)$  ou  $(0, 1, -)$  et  $(-, -, 0)$  lorsque le point de recombinaison est respectivement dans le premier ou le second intervalle. En remontant dans le temps vers l'ancêtre commun, l'évènement  $R_i^{jk}(p)$  augmente de un le nombre de séquences. Pour ce faire, le nombre de séquences de type  $i$  est diminué de un et le nombre de séquences de types  $j$  ainsi que le nombre de séquences de type  $k$  sont augmentés de un. La figure 2.4 (d) illustre la recombinaison  $R_1^{34}(2)$  d'une séquence de type 1 de la figure 2.3 avec un point de recombinaison choisi dans le deuxième intervalle. Cela produit les séquences 3 et 4.



**Figure 2.5** Un exemple du processus de coalescence avec mutations dans un échantillon de six séquences. Les petits points noirs y désignent des mutations.

### 2.2.3 Le processus de coalescence avec mutations

Les mutations se modélisent facilement dans le processus de coalescence. La raison en est que les événements de mutations ne font que modifier le type d'une séquence. Ainsi, la représentation d'un processus de coalescence avec mutations demeure un arbre généalogique. La figure 2.5 en est un exemple. Il s'agit de la même généalogie que celle de la figure 2.1, à la seule différence que les mutations y sont indiquées à l'aide de petits points noirs.

### 2.2.4 Le processus de coalescence avec recombinaisons

Il ne reste donc plus qu'à inclure les recombinaisons dans le processus de coalescence pour que les quatre événements décrits à la sous-section 2.2.2 y soient modélisés. Toutefois, à la base, le processus de coalescence est un modèle qui n'inclut pas les événements de recombinaisons.

naison. Cependant, puisque la recombinaison est fondamentale dans la transmission d'ADN d'une génération à l'autre chez la plupart des organismes vivants, il est particulièrement important de la considérer pour développer une méthode de cartographie génétique. Le processus de coalescence avec recombinaison est donc une extension importante du processus de coalescence de base. Nous nous servons de cette extension pour modéliser les quatre types d'évènements qui nous intéressent.

Hudson (1983) a d'abord présenté un modèle de base permettant de modéliser la recombinaison sans tenir compte de ses détails biologiques complexes. Par la suite, Griffiths et Marjoram (1996) ont décrit le graphe de recombinaison ancestral (ARG), qui permet également de modéliser les évènements de recombinaison. Il s'agit d'une extension de la coalescence de base couramment utilisée. La figure 2.6 est un exemple d'ARG. Il décrit la généalogie qui relie un échantillon de quatre séquences d'ADN à quatre marqueurs à l'ancêtre commun le plus récent (MRCA). Il est à noter que les carrés noirs, les carrés noirs avec un cercle blanc à l'intérieur et les carrés blancs y représentent respectivement un marqueur ancestral sans mutation, un marqueur ancestral mutant et un marqueur non-ancestral.

Les quatre évènements décrits à la sous-section 2.2.2 sont représentés dans l'ARG : une coalescence identique ou distincte lorsque deux séquences descendent du même parent, une mutation lorsque le matériel génétique à un marqueur en particulier est changé et une recombinaison lorsqu'une séquence descend de deux parents. Dans ce dernier cas, un point de recombinaison est choisi dans un des trois intervalles entre deux marqueurs consécutifs (dans l'ARG de la figure 2.6, le numéro de cet intervalle est indiqué pour chaque recombinaison). Les marqueurs à la gauche du point de recombinaison sont des copies identiques des marqueurs du parent "gauche" et les marqueurs à la droite du point de recombinaison sont des copies identiques des marqueurs du parent "droit". Il y a deux remarques intéressantes à faire sur l'ARG.

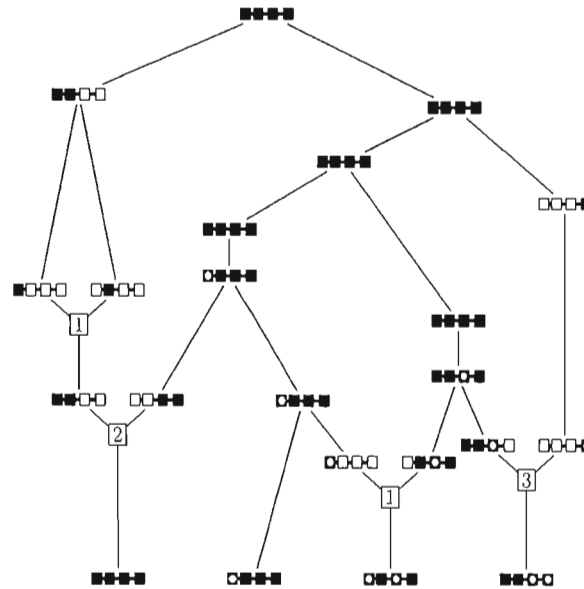


Figure 2.6 Un exemple d'ARG (tiré de Larribe *et al.*, 2002).

Premièrement, puisqu'avec un évènement de recombinaison il est maintenant possible que le nombre de séquences augmente, nous pourrions nous demander s'il est possible que nous n'atteignons jamais l'ancêtre commun. Afin de répondre à cette question, il faut comparer la fréquence des évènements de recombinaison (qui augmentent de un le nombre de séquences) à la fréquence des évènements de coalescence (qui diminuent de un le nombre de séquences). À la prochaine section, nous verrons que le nombre d'unités de temps continu qu'il faut remonter dans le temps avant le premier évènement de recombinaison suit une loi exponentielle de paramètre  $n\rho/2$  (où  $\rho$  désigne le taux de recombinaison à l'échelle) alors que le nombre d'unités de temps continu qu'il faut remonter dans le temps avant le premier évènement de coalescence suit une loi exponentielle de paramètre  $n(n-1)/2$ . Puisque les évènements de recombinaison surviennent à un taux linéaire alors que les évènements de coalescence surviennent à un taux quadratique, le nombre de séquences demeurera toujours

fini et nous finirons toujours par trouver l'ancêtre commun.

Deuxièmement, dans un ARG chaque séquence d'ADN a un ou deux parents dans la génération précédente (deux s'il y a recombinaison et un sinon). C'est pour cela que nous obtenons un graphe et non un arbre. Cependant, si nous considérons un seul marqueur par séquence, nous éliminons les évènements de recombinaison puisqu'une recombinaison n'est pas possible à l'intérieur d'un marqueur. En représentant la généalogie des séquences à un marqueur, nous obtenons donc un arbre. En fait, il s'agit d'un arbre partiel qui est inclus dans l'ARG. Les arbres partiels pour chacun des quatre marqueurs de la figure 2.6 sont mis en évidence à la figure 2.7.

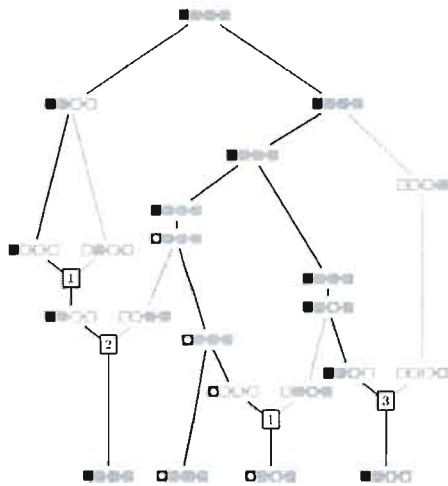
### 2.3 Paramètres et résultats importants du processus de coalescence

Dans cette section, nous montrons comment obtenir certains résultats probabilistes importants dans le processus de coalescence. Nous obtenons d'abord plusieurs résultats par rapport au temps requis pour passer de l'échantillon initial à l'ancêtre commun. Ensuite, nous calculons les probabilités qu'un évènement qui s'est produit dans le processus de coalescence soit une coalescence, une mutation ou une recombinaison. Les calculs que nous effectuons nécessitent que nous introduisions plusieurs paramètres génétiques. Ainsi, avant d'aborder ces calculs, nous présentons les paramètres génétiques utilisés dans cette section. Du coup, nous en profitons également pour présenter les paramètres génétiques utilisés dans les autres sections.

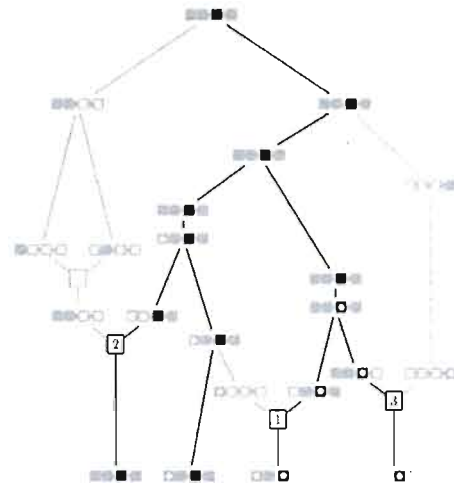
#### 2.3.1 Paramètres génétiques

Tout au long du mémoire, nous utilisons plusieurs paramètres génétiques que nous présentons maintenant.

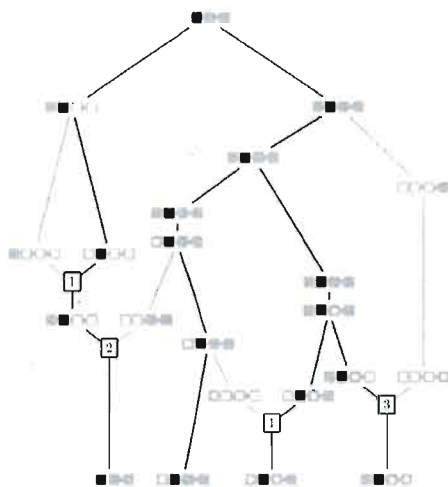
Nous utilisons deux paramètres génétiques pour la taille de la population. La taille réelle



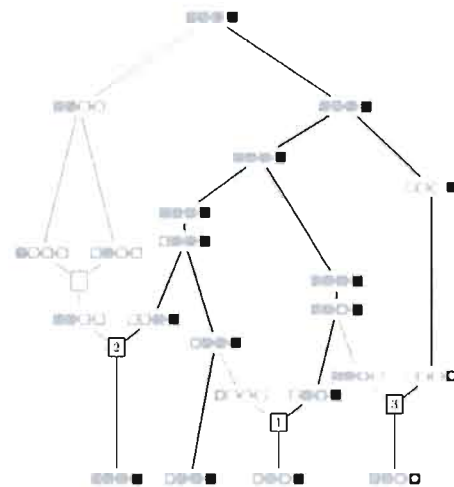
(a) Arbre partiel pour le marqueur 1



(c) Arbre partiel pour le marqueur 3



(b) Arbre partiel pour le marqueur 2



(d) Arbre partiel pour le marqueur 4

Figure 2.7 Arbres partiels pour l'ARG de la figure 2.6 (tiré de Larribe *et al.*, 2002).

de la population est notée  $N$ , alors que la taille effective de la population est notée  $N_e$ . Cette dernière correspond à la taille que la population doit avoir pour qu'elle se reproduise selon le modèle de Wright-Fisher (voir sous-section 2.1.1). Utiliser la taille réelle de la population dans ce modèle n'a pas de sens (Hein *et al.*, 2005, par exemple). Comme taille de population, nous utilisons  $N$  lorsque nous présentons de la théorie et  $N_e$  dans le cadre d'une méthode d'estimation de vraisemblance.

Nous considérons également deux paramètres génétiques pour le taux de mutation. Tout d'abord, le taux de mutation par séquence par génération est noté  $\mu$ . Il s'agit de la probabilité qu'il y ait mutation sur une séquence donnée pour une génération quelconque. Il est intéressant de remarquer que, s'il y a  $L$  marqueurs par séquence et que nous supposons que les mutations surviennent à chacun des marqueurs avec équiprobabilité, alors  $\mu/L$  est la probabilité qu'il y ait mutation à un marqueur particulier d'une séquence donnée pour une génération quelconque. Le taux de mutation à l'échelle, quant à lui, est noté  $\theta$ . Il s'agit d'un paramètre qui tient compte du taux de mutation et de la taille réelle ou effective de la population. Tout dépendant du paramètre génétique choisi pour la taille de la population, nous le calculons à l'aide de l'une de ces deux expressions :

$$\theta = 4N\mu \text{ ou } \theta = 4N_e\mu.$$

En génétique mathématique, le facteur  $4N$  (ou  $4N_e$ ) est préféré à  $2N$  (ou  $2N_e$ ) pour mettre à l'échelle  $\mu$ , parce que cela permet de simplifier plusieurs formules.

Puisque le but de notre méthode est d'estimer la position d'une mutation, nous utilisons des paramètres génétiques de position. La position de la mutation est notée  $r_T$ . Ce paramètre désigne la distance génétique en morgans entre le premier marqueur de la séquence et le marqueur de mutation. La distance génétique entre deux marqueurs est définie par la probabilité, par génération, d'obtenir une recombinaison entre ces marqueurs. La distance entre deux marqueurs consécutifs est donnée par  $r_p$ . Il s'agit en fait de la distance

généétique en morgans entre le  $p^{\text{ème}}$  et le  $(p + 1)^{\text{ème}}$  marqueur. S'il y a  $L$  marqueurs par séquence, que nous connaissons  $r_1, r_2, \dots, r_{L-1}$  et que  $r$  désigne la distance entre le premier et le dernier marqueur, nous pouvons trouver  $r = \sum_{p=1}^{L-1} r_p$  si nous supposons que les distances génétiques sont additives (c'est-à-dire qu'il n'y a pas d'interférence génétique). C'est une hypothèse vraisemblable lorsque les distances génétiques sont petites. En effet, dans ce cas-là, les distances génétiques sont approximativement proportionnelles aux distances physiques. Puisque les distances physiques sont évidemment additives, alors les distances génétiques le sont aussi approximativement. Comme nous travaillons avec de petites distances génétiques, nous appliquons l'hypothèse d'additivité des distances génétiques. La distance génétique entre le premier et le dernier marqueur,  $r$ , correspond à la probabilité qu'il y ait recombinaison pour une séquence donnée et une génération quelconque. Ce paramètre est le taux de recombinaison par séquence par génération. Nous pouvons mettre ce taux à l'échelle et nous obtenons  $\rho$ , le taux de recombinaison à l'échelle. Il s'agit d'un paramètre qui tient compte du taux de recombinaison et de la taille réelle ou effective de la population. Tout dépendant du paramètre génétique choisi pour la taille de la population, nous le calculons à l'aide de l'une de ces deux expressions :

$$\rho = 4Nr \quad \text{ou} \quad \rho = 4N_e r.$$

### 2.3.2 Quelques résultats probabilistes importants du processus de coalescence

Une fois les paramètres génétiques définis, nous pouvons maintenant effectuer plusieurs calculs dans le cadre du processus de coalescence. Nous obtenons d'abord l'espérance et la variance du temps requis pour passer de l'échantillon initial au MRCA. Ensuite, nous calculons les probabilités qu'un évènement qui s'est produit dans le processus de coalescence soit une coalescence, une mutation ou une recombinaison.

Commençons donc par l'étude du temps requis, en unités de temps continu (une unité

de temps continu équivaut à  $2N$  générations, voir sous-section 2.1.3), pour passer de l'échantillon initial à l'ancêtre commun. Nous notons cette quantité  $T_{MRCA}$ . Si nous travaillons dans le cas général où l'échantillon initial comporte  $n$  séquences, nous obtenons alors :

$$T_{MRCA} = \sum_{s=2}^n T_s.$$

En effet, cette quantité est la somme des temps écoulés avant qu'il y ait coalescence lorsqu'il y a  $s$  séquences dans l'échantillon,  $T_s$ , pour  $s = 2, \dots, n$ . Le lecteur peut se référer à la figure 2.5 pour une représentation des variables  $T_s$  avec un échantillon initial de  $n = 6$  séquences.

L'espérance du temps avant de remonter au MRCA est :

$$\begin{aligned} E(T_{MRCA}) &= E\left(\sum_{s=2}^n T_s\right) \\ &= \sum_{s=2}^n E(T_s) \\ &= \sum_{s=2}^n \frac{2}{s(s-1)}, \quad \text{car } T_s \sim \text{Exp}(s(s-1)/2) \\ &= 2 \sum_{s=2}^n \left(\frac{1}{s-1} - \frac{1}{s}\right) \\ &= 2 \left(1 - \frac{1}{n}\right). \end{aligned}$$

D'une part, nous constatons que le temps moyen avant de remonter au MRCA est inférieur à 2. D'autre part, nous remarquons que  $E(T_2) = 1$ , car  $T_2 \sim \text{Exp}(1)$ . Cela signifie qu'en moyenne l'échantillon comporte seulement deux séquences pendant plus de la moitié du temps total.

La variance de  $T_{MRC A}$  se calcule de la manière suivante :

$$\begin{aligned}
 \text{Var}(T_{MRC A}) &= \text{Var}\left(\sum_{s=2}^n T_s\right) \\
 &= \sum_{s=2}^n \text{Var}(T_s), \quad \text{par indépendance des } T_s \\
 &= 4 \sum_{s=2}^n \frac{1}{s^2(s-1)^2}, \quad \text{car } T_s \sim \text{Exp}(s(s-1)/2).
 \end{aligned}$$

Il est possible de montrer que  $\lim_{n \rightarrow \infty} \text{Var}(T_{MRC A}) = 4\pi^2/3 - 12$  (Hein *et al.*, 2005, par exemple). Nous remarquons aussi que  $\text{Var}(T_2) = 1$ , car  $T_2 \sim \text{Exp}(1)$ . Cela signifie que la majorité de la variance de  $T_{MRC A}$ , qui est la somme des variances des  $T_s$ , provient de celle de  $T_2$ .

Passons maintenant aux calculs de probabilités d'évènements. Si  $T_n$  désigne le nombre d'unités de temps continu qu'il faut remonter dans le temps pour qu'une paire de séquences parmi  $n$  séquences coalesce, nous avons vu (voir sous-section 2.1.3) que  $T_n \sim \text{Exp}(n(n-1)/2)$  approximativement. Il faut également trouver les lois des variables  $T_m$  et  $T_r$  qui représentent respectivement le nombre d'unités de temps continu qu'il faut remonter dans le temps avant le premier évènement de mutation ou de recombinaison.

Nous allons d'abord trouver les lois de  $T_{m1}$  et  $T_{r1}$  (le nombre d'unités de temps continu avant le premier évènement de mutation ou de recombinaison à une séquence donnée). Puisque  $\mu$ , le taux de mutation par séquence par génération, est la probabilité qu'il y ait mutation sur une séquence donnée pour une génération quelconque, il en découle que  $T_{m1} \sim \text{Géo}(\mu)$ . Ainsi,  $P(T_{m1} \geq j) = (1 - \mu)^j$  car il faut alors qu'il n'y ait pas mutation pendant au moins  $j$  générations. En temps continu ( $t = j/(2N)$ ),

$$\begin{aligned}
P(T_{m1} \geq t) &= (1 - \mu)^{2Nt} \\
&= \left(1 - \frac{\theta/2}{2N}\right)^{2Nt} \\
&\approx e^{-\frac{\theta}{2}t}, \quad \text{car } \left(1 - \frac{x}{N}\right)^{Nt} \rightarrow e^{-tx} \text{ lorsque } N \rightarrow \infty.
\end{aligned}$$

Donc  $T_{m1} \sim \text{Exp}(\theta/2)$  approximativement, si la population est assez grande. S'il y a  $n$  séquences, nous avons  $T_m \sim \text{Exp}(n\theta/2)$  approximativement puisque les séquences évoluent de façon indépendante les unes des autres. Ceci découle du théorème stipulant que si  $U \sim \text{Exp}(a)$  et  $V \sim \text{Exp}(b)$  avec  $U$  et  $V$  indépendants, alors  $\min(U, V) \sim \text{Exp}(a + b)$ .

Par un raisonnement similaire, nous trouvons approximativement que  $T_{r1} \sim \text{Exp}(\rho/2)$  et  $T_r \sim \text{Exp}(n\rho/2)$ . En résumé, nous avons :

$$T_n \sim \text{Exp}\left(\frac{n(n-1)}{2}\right), \quad T_m \sim \text{Exp}\left(\frac{n\theta}{2}\right), \quad T_r \sim \text{Exp}\left(\frac{n\rho}{2}\right).$$

Ces trois distributions exponentielles sont indépendantes et donc le temps avant le prochain évènement suit une loi exponentielle de paramètre

$$\frac{n(n-1)}{2} + \frac{n\theta}{2} + \frac{n\rho}{2} = \frac{n(n-1 + \theta + \rho)}{2}.$$

Ainsi, les probabilités d'une coalescence, d'une mutation ou d'une recombinaison lorsqu'un de ces trois évènements survient sont :

$$P(\text{Co} | \cdot) = \frac{n(n-1)/2}{n(n-1 + \theta + \rho)/2} = \frac{n-1}{n-1 + \theta + \rho},$$

$$P(\text{Mu} | \cdot) = \frac{n\theta/2}{n(n-1+\theta+\rho)/2} = \frac{\theta}{n-1+\theta+\rho},$$

$$P(\text{Re} | \cdot) = \frac{n\rho/2}{n(n-1+\theta+\rho)/2} = \frac{\rho}{n-1+\theta+\rho},$$

où “.” signifie qu’un évènement de coalescence, de mutation ou de recombinaison a eu lieu. Ces probabilités nous sont utiles pour construire l’équation de récurrence de Griffiths-Tavaré utilisée dans notre méthode.

## CHAPITRE III

### MÉTHODES D'ESTIMATION DE LA VRAISEMBLANCE

Le but des méthodes des chapitres IV et V est d'estimer la position ( $r_T$ ) d'une mutation causant une maladie génétique. Pour ce faire, il s'agit d'évaluer la vraisemblance de  $r_T$  en utilisant le processus de coalescence avec recombinaison pour modéliser l'histoire des séquences. Les méthodes des chapitres IV et V sont donc des méthodes d'estimation de la vraisemblance qui sont appliquées pour estimer le paramètre génétique ( $r_T$ ).

Dans ce chapitre, nous nous intéressons à plusieurs méthodes d'estimation de la vraisemblance de divers paramètres génétiques. Nous commençons par définir la vraisemblance des paramètres génétiques. Ensuite, nous voyons les formules exactes pour la calculer lorsque nous travaillons avec les généalogies et lorsque nous travaillons avec les histoires. Dans ce dernier cas, nous utilisons alors les équations de Griffiths-Tavaré, équations de récurrence qui expriment la vraisemblance en fonction de la vraisemblance pour des ensembles de données qui ont résulté d'un événement évolutif de moins. Pour les deux méthodes, nous voyons comment calculer une approximation de la vraisemblance en utilisant l'échantillonnage pondéré (importance sampling). Par la suite, nous examinons d'autres façons d'estimer la vraisemblance. Nous voyons d'abord une façon alternative d'utiliser l'échantillonnage pondéré (Fearnhead et Donnelly, 2001). Ensuite, nous étudions une façon de synthétiser les données pour sauver du temps de calcul (Fearnhead et Donnelly, 2002). Nous en profitons pour mentionner comment, dans ce cas, l'estimateur de vraisemblance

composite correspondant peut être obtenu. Nous terminons la section en présentant un autre estimateur de vraisemblance composite, tiré d'Hudson (2001).

### 3.1 Définition de la vraisemblance des paramètres génétiques

Tout d'abord, afin de définir la vraisemblance des paramètres génétiques, il est nécessaire de connaître le principe sur lequel s'appuient les méthodes d'inférence de vraisemblance à partir de données. Ce principe est que les données observées proviennent d'un processus aléatoire quelconque (ou modèle) dont certaines quantités (des paramètres génétiques) sont inconnues. Il est alors naturel de définir la vraisemblance des paramètres génétiques comme la probabilité d'observer les données  $D$  si les paramètres du modèle prennent la valeur  $\psi$  :

$$L(\psi) = P(D|\psi).$$

Examinons maintenant comment calculer  $P(D|\psi)$  lorsque nous travaillons avec les généalogies et aussi lorsque nous travaillons avec les histoires.

### 3.2 Calcul de la vraisemblance avec les généalogies

Lorsque nous considérons les généalogies pour calculer la vraisemblance, nous travaillons directement avec le processus de coalescence de base. Nous tenons compte de la topologie (quelles séquences coalescent ensemble) et des temps de coalescence (voir section 2.1). Puisque les temps de coalescence sont des variables continues, il existe une infinité de généalogies. La formule théorique de la vraisemblance implique donc une intégration sur les généalogies. Par exemple, la vraisemblance des paramètres génétiques  $N_e$  et  $\mu$  est donnée par :

$$P(D|N_e, \mu) = \int_{G'} f(G'|N_e)P(D|G', \mu)dG',$$

où  $G'$  est une généalogie quelconque. Il s'agit en fait d'une moyenne, sur l'infinité de généalogies possibles, des vraisemblances selon la généalogie considérée ( $P(D|G', \mu)$ ), pondérées par la fonction de densité de cette généalogie ( $f(G'|N_e)$ ). Nous allons voir comment calculer les deux termes de la formule.

Le calcul de  $f(G'|N_e)$ , la densité d'une généalogie, implique d'une part, les probabilités que les bonnes séquences aient coalescé ensemble et d'autre part, les fonctions de densité des temps de coalescence. S'il y a  $n$  séquences, nous devons considérer ces probabilités pour  $2, 3, \dots, n$  séquences. Nous avons déjà vu que  $T_s \sim \text{Exp}(s(s-1)/2)$  approximativement, où  $T_s$  désigne le nombre d'unités de temps continu qu'il faut remonter dans le temps pour qu'une paire de séquences parmi  $s$  séquences coalesce (voir sous-section 2.1.3). Nous allons maintenant considérer le temps en générations. Rappelons qu'une unité de temps continu correspond à  $2N_e$  générations. En appliquant le changement d'échelle, il suffit de multiplier les temps par  $2N_e$ . Ainsi, le nombre de générations qu'il faut remonter dans le temps pour qu'une paire de séquences parmi  $s$  séquences coalesce suit une loi exponentielle de paramètre

$$\frac{s(s-1)}{2} \cdot \frac{1}{2N_e} = \frac{s(s-1)}{4N_e}.$$

Pour appliquer le changement d'échelle, il faut diviser par  $2N_e$  le paramètre de l'exponentielle puisque maintenant, en moyenne, nous avons besoin de plus d'unités de temps avant qu'il y ait coalescence et que la moyenne d'une exponentielle est l'inverse de son paramètre. Aussi, la probabilité que deux séquences  $i$  et  $j$  (où  $i$  peut être égal à  $j$ ) coalescent ensemble, étant donné qu'un événement de coalescence a eu lieu, est :

$$P(C_{ij}^k | Co) = \frac{1}{\binom{s}{2}} = \frac{2}{s(s-1)},$$

puisque'il y a une chance sur le nombre de paires de séquences possibles que deux séquences en particulier coalescent. Pour calculer  $f(G'|N_e)$ , il suffit simplement de multiplier les fonctions de densité des temps de coalescence lorsqu'il y a 2, 3, ...,  $n$  séquences, pondérées par la probabilité que les bonnes séquences coalescent. Ainsi,

$$\begin{aligned} f(G'|N_e) &= \prod_{s=2}^n P(C_{ij}^k | Co) \cdot g_{T'_s}(t'_s) \\ &= \prod_{s=2}^n \frac{2}{s(s-1)} \cdot \frac{s(s-1)}{4N_e} \exp\left(\frac{-s(s-1)}{4N_e} t'_s\right) \\ &= \prod_{s=2}^n \frac{2}{4N_e} \exp\left(\frac{-s(s-1)}{4N_e} t'_s\right), \end{aligned}$$

où  $g_{T'_s}(t'_s)$  est la fonction de densité de la variable qui représente le nombre de générations qu'il faut remonter dans le temps avant qu'il y ait une coalescence parmi les  $s$  séquences.

Pour combiner les deux paramètres  $N_e$  et  $\mu$ , nous changeons l'échelle de temps et nous exprimons les temps en unités de  $1/\mu$  génération. Nous multiplions les temps par  $\mu$ , divisons par  $\mu$  le paramètre de l'exponentielle et  $f(G'|N_e)$  devient :

$$g(G|\theta) = \prod_{s=2}^n \frac{2}{\theta} \exp\left(\frac{-s(s-1)}{\theta} t_s\right),$$

où  $\theta = 4N_e\mu$ . Ainsi, la fonction de vraisemblance devient :

$$P(D|\theta) = \int_G g(G|\theta) P(D|G) dG. \quad (3.1)$$

Afin d'approximer cette intégrale, nous pourrions utiliser l'approche Monte-Carlo classique. Cette approche permet d'estimer l'espérance d'une fonction  $g(X)$  d'une variable continue  $X$  par la moyenne de  $M$  réalisations de cette fonction :

$$\begin{aligned} \int f(x)g(x)dx &= E_f(g(X)) \\ &\approx \frac{1}{M} \sum_{i=1}^M g(X^{(i)}). \end{aligned}$$

Si nous appliquons la méthode de Monte-Carlo à notre problème, nous obtenons :

$$\begin{aligned} P(D|\theta) &= \int_G g(G|\theta)P(D|G)dG \\ &= E_g(P(D|G)) \\ &\approx \frac{1}{M} \sum_{i=1}^M P(D|G_i). \end{aligned}$$

Dans notre cas, il y aurait un problème à appliquer directement l'approche Monte-Carlo. Seulement un petit nombre de termes  $P(D|G_i)$  contribueraient de façon significative à la somme. La méthode serait inefficace. Afin de remédier à ce problème, nous pouvons utiliser l'échantillonnage pondéré (importance sampling). Il s'agit d'une méthode qui cherche à concentrer la simulation sur les généalogies les plus importantes, celles qui sont les plus compatibles avec les données. Pour ce faire, il suffit simplement de multiplier et de diviser par une distribution appelée la distribution proposée. Dans notre cas, nous choisissons la distribution proportionnelle à  $g(G|\theta_0)P(D|G)$  comme distribution proposée. Dans cette expression,  $\theta_0$  est une valeur conductrice de  $\theta$ . Il s'agit d'une valeur de  $\theta$  vraisemblable a priori. En appliquant l'échantillonnage pondéré, l'intégration Monte-Carlo donne maintenant :

$$\begin{aligned} P(D|\theta) &= \int_G \frac{g(G|\theta)P(D|G)}{g(G|\theta_0)P(D|G)} g(G|\theta_0)P(D|G)dG \\ &= \int_G \frac{g(G|\theta)}{g(G|\theta_0)} g(G|\theta_0)P(D|G)dG \\ &= E \left( \frac{g(G|\theta)}{g(G|\theta_0)} \right) \end{aligned}$$

$$\approx \frac{1}{M} \sum_{i=1}^M \frac{g(G_i|\theta)}{g(G_i|\theta_0)}.$$

L'échantillonnage est maintenant plus efficace. Il est possible d'échantillonner les  $G_i$  d'une distribution proportionnelle à  $g(G|\theta_0)P(D|G)$  en utilisant l'algorithme Metropolis-Hastings de la méthode MCMC, tel que proposé par Felsenstein *et al.* (1999).

### 3.3 Calcul de la vraisemblance avec les histoires

Les équations de Griffiths-Tavaré (1994) se prêtent bien au calcul de la vraisemblance avec les histoires. Une histoire, notée ( $H$ ), est une suite d'évènements permettant de faire la transition entre l'échantillon de départ et l'ancêtre commun. Une histoire peut donc être représentée par un ARG. À la différence d'une généalogie, nous ne nous intéressons pas aux temps des évènements dans une histoire. La figure 3.1 donne un exemple d'histoire. Celle-ci est composée de trois coalescences et de deux mutations qui permettent de passer de l'échantillon initial à l'ancêtre commun. Si nous considérons des histoires où il n'y a pas d'évènements de recombinaison, il y a un nombre fini d'histoires qui mènent à un ensemble de données particulier. La formule de la vraisemblance d'un ou de plusieurs paramètres génétiques ( $\theta$  par exemple) implique alors une sommation :

$$P(D|\theta) = \sum_H P(D|H)P(H|\theta).$$

Remarquons que cette formule est analogue à (3.1). Le terme  $P(D|H)$  est égal à 1 si l'histoire est compatible avec les données ; sinon, il est égal à 0. Nous nous intéressons seulement aux histoires compatibles avec les données et donc  $P(D|H)$  est toujours égal à 1. L'autre terme,  $P(H|\theta)$ , est le produit des probabilités des évènements de  $H$  multiplié par la probabilité que la séquence initiale d'ADN soit telle qu'elle est. Dans notre exemple,

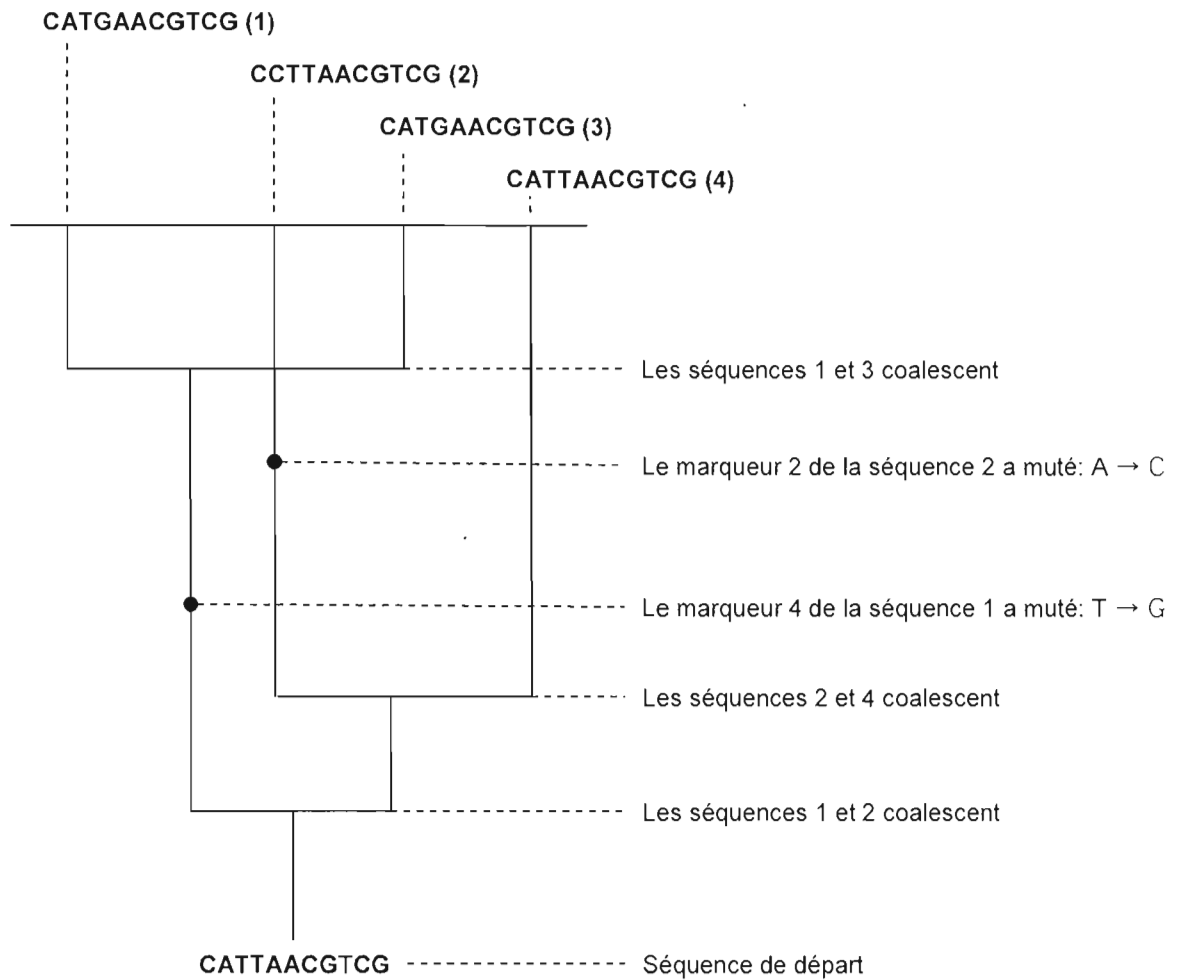


Figure 3.1 Exemple d'une histoire (tiré de Felsenstein *et al.*, 1999).

$P(H|\theta)$  est le produit des probabilités des cinq évènements de l'histoire multiplié par la probabilité d'obtenir "CATTAACGTCG" comme séquence unique. Nous verrons au chapitre IV comment utiliser les équations de Griffiths-Tavaré pour calculer les probabilités qu'un évènement particulier se produise. En supposant l'indépendance entre les nucléotides et l'équiprobabilité de chacune des sortes de nucléotides, la probabilité d'obtenir "CATTAACGTCG" comme séquence unique est quant à elle égale à  $(1/4)^{11}$  puisque qu'il y a quatre nucléotides possibles à chaque position et que la séquence en contient 11.

Puisque le nombre d'histoires est fini, il est théoriquement possible de calculer de façon exacte la vraisemblance. C'est ce qui est fait dans la méthode du chapitre V. Pour que le temps de calcul soit raisonnable, nous y considérons les séquences par morceaux et ensuite nous combinons le tout à l'aide de la vraisemblance composite. Au chapitre IV, le calcul de la vraisemblance n'est pas fait de façon exacte. L'échantillonnage pondéré avec  $P(H|\theta_0)$  comme distribution proposée, où  $\theta_0$  est une valeur conductrice de  $\theta$ , combiné à l'intégration Monte-Carlo y est utilisé. Ceci donne :

$$\begin{aligned}
 P(D|\theta) &= \sum_H P(D|H)P(H|\theta) \\
 &= \sum_H P(D|H) \frac{P(H|\theta)}{P(H|\theta_0)} P(H|\theta_0) \\
 &= E \left( \frac{P(H|\theta)}{P(H|\theta_0)} \right) \\
 &\approx \frac{1}{M} \sum_{i=1}^M \frac{P(H_i|\theta)}{P(H_i|\theta_0)}.
 \end{aligned}$$

Pour obtenir l'estimation de la vraisemblance, il s'agit donc de simuler  $M$  histoires compatibles avec les données et tirées de la distribution proposée  $P(H|\theta_0)$ .

### 3.4 Méthode de Fearnhead et Donnelly (2001)

En 2001, Fearnhead et Donnelly ont proposé une façon alternative d'estimer la vraisemblance avec l'échantillonnage pondéré lorsque nous travaillons avec les histoires. D'une façon similaire à ce que nous venons de voir, en utilisant l'échantillonnage pondéré avec distribution proposée  $q(H)$ , ils arrivent à l'estimation suivante de la vraisemblance des paramètres génétiques  $\rho$  et  $\theta$  :

$$L(\rho, \theta) \approx \frac{1}{M} \sum_{i=1}^M \frac{P(H_i | \rho, \theta)}{q(H_i)}.$$

Tout comme dans la méthode de Larribe *et al.* du chapitre IV, une réalisation de la distribution proposée est constituée d'une série d'états échantillonnés  $\mathbf{H}_0, \dots, \mathbf{H}_\tau$  (où  $\mathbf{H}_0$  correspond à l'échantillon de départ et  $\mathbf{H}_\tau$  au MRCA) avec probabilités de transition vers l'ancêtre commun  $q(\mathbf{H}_{i+1} | \mathbf{H}_i)$  proportionnelles aux probabilités de transition connues  $q(\mathbf{H}_i | \mathbf{H}_{i+1})$ . Fearnhead et Donnelly utilisent cependant une formule différente pour obtenir les probabilités de transition vers le MRCA :

$$q(\mathbf{H}_{i+1} | \mathbf{H}_i) = p(\mathbf{H}_i | \mathbf{H}_{i+1})\pi(\mathbf{H}_{i+1})/\pi(\mathbf{H}_i). \quad (3.2)$$

Dans cette équation, le rapport  $\pi(\mathbf{H}_{i+1})/\pi(\mathbf{H}_i)$  peut être simplifié parce que pour toutes les transitions possibles, la majorité des chromosomes ne sont pas affectés. Par exemple, pour un événement de coalescence identique de deux chromosomes de types  $\alpha$ ,  $\mathbf{H}_{i+1}$  est égal à  $\mathbf{H}_i$ , à la seule différence qu'il y a un chromosome de type  $\alpha$  en moins. Nous utilisons alors la notation  $\mathbf{H}_i - \alpha$  pour désigner  $\mathbf{H}_{i+1}$ . Dans ce cas,

$$\pi(\mathbf{H}_{i+1})/\pi(\mathbf{H}_i) = 1/\pi(\alpha | \mathbf{H}_i - \alpha),$$

où  $\pi(\alpha \mid \mathbf{H}) = \pi(\{\mathbf{H}, \alpha\})/\pi(\mathbf{H})$  est la distribution conditionnelle du dernier chromosome dans un échantillon, étant donné que les autres chromosomes sont de type  $\mathbf{H}$ . Nous pouvons donc réécrire (3.2) en fonction des probabilités connues  $p(\mathbf{H}_i \mid \mathbf{H}_{i+1})$  et des densités  $\pi(\alpha \mid \mathbf{H})$ . Ainsi, pour échantillonner de la distribution proposée, il suffit seulement d'être en mesure d'approximer  $\pi(\alpha \mid \mathbf{H})$ . Stephens et Donnelly (2000) proposent une façon d'obtenir l'approximation dans le cas où  $\rho = 0$  et ce résultat peut être généralisé au cas où  $\rho \neq 0$  (Fearnhead et Donnelly, 2001).

### 3.5 Méthode de Fearnhead et Donnelly (2002)

Fearnhead et Donnelly ont proposé, en 2002, une méthode intéressante d'approximation de la vraisemblance qui permet de réaliser des économies dans les temps de calcul. Plutôt que de considérer en entier l'échantillon initial, ils proposent d'en extraire l'information la plus importante.

Soit  $D$  un ensemble de données,  $S$  l'ensemble des marqueurs auxquels la fréquence du marqueur le plus rare est supérieure à un seuil préspecifié,  $D_S$  le sous-ensemble de données de  $D$  comprenant seulement les marqueurs dans  $S$  et  $S_0$  le nombre de marqueurs dans l'ensemble de données  $D$  qui ne sont pas dans  $S$ . Notons que  $D_S$  est très informatif sur  $\rho$  et le nombre total de marqueurs l'est sur  $\theta$ . Conditionnellement à  $H$ ,  $D_S$  et  $S_0$  sont indépendants. Ainsi,  $L_M(\rho, \theta)$ , la vraisemblance de la synthèse des données considérée, peut s'obtenir d'une façon similaire à ce que nous avons vu :

$$L_M(\rho, \theta) = \sum_H P(D_S \mid H)P(S_0 \mid H, \theta)P(H \mid \rho, \theta).$$

En sommant seulement les histoires  $H'$  des marqueurs dans  $S$  qui sont compatibles avec les données et en utilisant l'échantillonnage pondéré, nous obtenons :

$$L_M(\rho, \theta) = \sum_{H'} \frac{P(S_0 | H', \theta)P(H' | \rho, \theta)}{q(H')} q(H'). \quad (3.3)$$

Comme distribution proposée  $q(H')$ , nous pouvons entre autres choisir celle proposée par Fearnhead et Donnelly en 2001. Il ne restera donc plus qu'à approximer  $P(S_0 | H', \theta)$ . Une façon de procéder est de supposer que la généalogie de chaque marqueur est la même que la généalogie du marqueur de  $S$  qui est le plus près. Ainsi, en utilisant cette approximation de  $P(S_0 | H', \theta)$  dans (3.3), nous obtenons une approximation marginale de la vraisemblance.

L'estimateur de vraisemblance composite correspondant s'obtient en séparant les séquences en  $R$  sous-régions. Pour  $r = 1, \dots, R$ , soit  $D_r$  l'ensemble de données de la  $r^{\text{ème}}$  sous-région. L'estimateur de vraisemblance composite est alors défini par :

$$L_C(\rho, \theta) = \prod_{r=1}^R p(D_r | \rho, \theta).$$

Dans cette formule,  $p(D_r | \rho, \theta)$  peut être estimé via l'approximation marginale de la vraisemblance que nous venons d'étudier.

### 3.6 Estimateur de vraisemblance composite d'Hudson (2001)

La méthode d'Hudson (2001) permet également d'obtenir un estimateur de vraisemblance composite. D'abord, un estimateur de vraisemblance est obtenu dans le cas où nous considérons un échantillon où les séquences comportent chacune deux marqueurs génétiques :

$$L(\mathbf{n}_1, \mathbf{n}_2, \dots, \mathbf{n}_s; \rho_{bp}) \approx \prod_i^s q_c(\mathbf{n}_i; \rho_{bp} d_i), \quad (3.4)$$

où  $\mathbf{n}_i$  représente la configuration de la  $i^{\text{ème}}$  séquence à deux marqueurs,  $q_c(\mathbf{n}_i; \rho_{bp}d_i)$  la fonction de densité de  $\mathbf{n}_i$  conditionnelle à  $\rho_{bp}d_i$ ,  $\rho_{bp}$  le taux de recombinaison à l'échelle par paire de base et  $d_i$  la distance, en paire de bases, entre la  $i^{\text{ème}}$  paire de marqueurs.

Pour généraliser cet estimateur dans le cas où plus de deux marqueurs sont définis par séquence, la vraisemblance composite est alors tout à fait appropriée. Dans (3.4), il suffit de prendre le produit sur toutes les paires de marqueurs. Il est à noter que l'estimateur de vraisemblance composite ainsi obtenu a le défaut de ne pas tenir compte de la dépendance statistique entre les paires de marqueurs sur les mêmes séquences.

## CHAPITRE IV

### MÉTHODE DE LARRIBE *ET AL.*

En 2002, Larribe, Lessard et Schork ont présenté une nouvelle méthode basée sur le déséquilibre de liaison et faisant appel à plusieurs loci pour localiser la position d'un gène mutant sur un chromosome. Un aspect intéressant de leur méthode est qu'elle tient compte, dans le cadre du processus de coalescence, des évènements de recombinaison lors de la modélisation de l'historique des séquences de l'échantillon. L'historique est donc représentée par un graphe, le graphe de recombinaison ancestral, et non par un arbre. Ceci complexifie la méthode mais du même coup la rend potentiellement plus puissante.

La distance, en centimorgans, entre le début d'une séquence et la position du gène mutant est estimée par la distance qui maximise sa vraisemblance. La courbe de vraisemblance est estimée à l'aide d'un algorithme de Monte-Carlo basé sur les probabilités de transition entre tous les états possibles de l'échantillon.

Dans ce chapitre, nous présentons d'abord les détails et hypothèses du modèle utilisé. Ensuite, nous étudions les concepts mathématiques sur lesquels se base la méthode. Nous voyons comment construire l'équation de récurrence de Griffiths-Tavaré qui nous intéresse, comment définir la chaîne de Markov donnant les probabilités de transition d'un état à un autre qui est plus près du MRCA et, finalement, comment utiliser l'échantillonnage pondéré pour obtenir les vraisemblances.

#### 4.1 Détails et hypothèses du modèle

Nous présentons maintenant les détails et les hypothèses du modèle utilisé. Il est à noter que ces détails et hypothèses sont les mêmes pour la méthode développée au chapitre V. D'abord, les haplotypes sont connus. Cela signifie que l'information pour chaque marqueur de chacune des séquences de notre échantillon est connue. En ce qui concerne la taille de la population, celle-ci demeure constante : elle ne varie pas dans le temps. Nous supposons aussi qu'il n'y a pas d'immigration : la population n'a pas de structure géographique qui pourrait influencer la reproduction. Nous simplifions également le modèle en supposant qu'il y a pénétrance complète et qu'il n'y a pas de phénotypie. La pénétrance complète signifie que si un individu possède la mutation, alors cet individu est affecté par la maladie. Le fait qu'il n'y ait pas de phénotypie nous assure que tous les individus qui ne possèdent pas la mutation ne sont pas affectés par la maladie. Nous supposons qu'une séquence de notre échantillon qui possède la mutation provient d'un individu diploïde malade ayant la mutation sur chacun de ses allèles et qu'une séquence n'ayant pas la mutation provient d'un individu diploïde non malade qui n'a pas la mutation sur aucun de ses allèles. Il s'agit d'une version simple d'un modèle de maladie récessive rare.

En ce qui a trait aux mutations, nous faisons les trois hypothèses suivantes (voir le chapitre I pour plus d'informations) :

- Le MRCA est une séquence ne contenant aucune mutation. Cette hypothèse peut sembler très restrictive, mais en fait elle ne l'est pas. Il s'agit seulement d'une question de notation. Nous ne faisons que supposer que le code génétique de l'ancêtre est connu. Pour ce faire, nous pouvons prendre les allèles ayant la plus grande fréquence dans l'échantillon ou encore utiliser des études animales pour déterminer ce que doit être le code de l'ancêtre.
- Les mutations ne changent pas les chances de reproduction, il n'y a donc pas de sélection.
- Nous travaillons avec le modèle de mutation "Infinite sites" (Kimura, 1969), voir section

## 1.3.

Finalement, notre dernière hypothèse est que les distances génétiques sont additives. Comme nous l'avons vu à la sous-section 2.3.1, il en découle que si nous connaissons la distance génétique entre chacun des marqueurs, alors nous pouvons trouver la distance génétique entre le premier et le dernier marqueur. Cette dernière quantité est en fait le taux de recombinaison ( $r$ ) puisque par définition, la distance génétique entre deux marqueurs est la probabilité d'obtenir une recombinaison entre ces deux marqueurs. Il est à noter que l'hypothèse d'additivité est vraisemblable lorsque nous travaillons avec de petites distances génétiques, ce qui est le cas.

## 4.2 Équation de récurrence

Soit  $\mathbf{H}_\tau$  l'ensemble des séquences ancestrales dans l'échantillon juste après que le  $\tau^{\text{ème}}$  évènement, en remontant dans le temps, ait lieu ( $\tau = 0, \dots, \tau^*$ ). Une séquence ancestrale est une séquence qui n'est pas composée uniquement de marqueurs non-ancestraux.  $\mathbf{H}_0$  correspond donc à l'échantillon de départ et  $\mathbf{H}_{\tau^*}$  correspond au MRCA. Soit  $Q(\mathbf{H}_\tau)$  la fonction de densité associée à  $\mathbf{H}_\tau$ .

Nous allons développer une équation de récurrence qui exprime  $Q(\mathbf{H}_\tau)$  en fonction de  $Q(\mathbf{H}_{\tau+1})$ . Pour ce faire, utilisons l'égalité suivante bien connue en probabilités :

$$P(A) = \sum_{B_i} P(A \cap B_i), \text{ où } \sum_{B_i} P(B_i) = 1.$$

Puisque  $P(A \cap B) = P(A | B)P(B)$ , l'égalité peut aussi s'écrire de cette façon :

$$P(A) = \sum_{B_i} P(A | B_i)P(B_i), \text{ où } \sum_{B_i} P(B_i) = 1.$$

En posant  $A = \mathbf{H}_\tau$ ,  $B_i = \mathbf{H}_{\tau+1}$  et en remplaçant  $P(\cdot)$  par  $Q(\cdot)$  lorsqu'il s'agit d'une fonction de densité, nous obtenons :

$$Q(\mathbf{H}_\tau) = \sum_{\mathbf{H}_{\tau+1}} P(\mathbf{H}_\tau | \mathbf{H}_{\tau+1})Q(\mathbf{H}_{\tau+1}).$$

Nous décomposons la somme en considérant tous les états possibles juste après le  $(\tau + 1)^{\text{ème}}$  évènement :

$$\mathbf{H}_{\tau+1} = \left\{ \begin{array}{ll} \mathbf{H}_\tau + C_i & \text{si le } (\tau + 1)^{\text{ème}} \text{ évènement est une coalescence de deux} \\ & \text{séquences de type } i, \\ \mathbf{H}_\tau + C_{ij}^k \text{ (avec } i \neq j) & \text{si le } (\tau + 1)^{\text{ème}} \text{ évènement est une coalescence d'une} \\ & \text{séquence de type } i \text{ et d'une séquence de type } j \text{ vers} \\ & \text{une séquence de type } k, \\ \mathbf{H}_\tau + M_i^j(m) & \text{si le } (\tau + 1)^{\text{ème}} \text{ évènement est une mutation au} \\ & \text{marqueur } m \text{ d'une séquence de type } i \text{ vers une} \\ & \text{séquence de type } j, \\ \mathbf{H}_\tau + R_i^{jk}(p) & \text{si le } (\tau + 1)^{\text{ème}} \text{ évènement est une recombinaison d'une} \\ & \text{séquence de type } i \text{ dans l'intervalle entre le } p^{\text{ème}} \text{ et le} \\ & (p + 1)^{\text{ème}} \text{ marqueur vers des séquences de type } j \text{ et } k, \\ \mathbf{H}_\tau & \text{si le } (\tau + 1)^{\text{ème}} \text{ évènement est une mutation non-} \\ & \text{ancestrale ou une recombinaison non-ancestrale.} \end{array} \right.$$

Nous supposons qu'au temps  $\tau$  il y a  $n_i$  séquences de type  $i$ ,  $n_j$  séquences de type  $j$ ,  $n_k$  séquences de type  $k$  et  $n$  séquences au total.

Puisque  $\mathbf{H}_{\tau+1}$  est exprimé comme une fonction de  $\mathbf{H}_\tau$  nous renseignant sur la nature du  $(\tau + 1)^{\text{ème}}$  évènement, nous connaissons aussi le nombre de séquences de chaque type au

temps  $(\tau + 1)$ . Pour trouver  $P(\mathbf{H}_\tau | \mathbf{H}_{\tau+1})$ , il suffit donc de calculer la probabilité du  $(\tau + 1)^{\text{ème}}$  évènement qui permet de passer de  $\mathbf{H}_{\tau+1}$  à  $\mathbf{H}_\tau$ .

Pour faire nos calculs, nous utilisons la probabilité d'une coalescence, d'une mutation ou d'une recombinaison lorsque l'un de ces trois évènements a lieu. Rappelons que ces probabilités sont :

$$\begin{aligned} P(\text{Co} | \cdot) &= \frac{n-1}{n-1+\theta+\rho}, \\ P(\text{Mu} | \cdot) &= \frac{\theta}{n-1+\theta+\rho}, \\ P(\text{Re} | \cdot) &= \frac{\rho}{n-1+\theta+\rho}. \end{aligned}$$

Calculons maintenant  $P(\mathbf{H}_\tau | \mathbf{H}_{\tau+1})$  pour les cinq cas possibles. Pour ce faire, nous utilisons le résultat de probabilités stipulant que si  $A$  et  $B$  sont deux évènements indépendants, alors  $P(A \cap B) = P(A) \cdot P(B)$ .

### 1. Le $(\tau + 1)^{\text{ème}}$ évènement est une coalescence identique $C_i$

Au temps  $(\tau + 1)$ , il y a  $(n_k + 1 - \delta_{ik} - \delta_{jk})$  séquences de type  $k$ , où

$$\delta_{ik} = \begin{cases} 1 & \text{si } i = k, \\ 0 & \text{sinon} \end{cases}$$

et

$$\delta_{jk} = \begin{cases} 1 & \text{si } j = k, \\ 0 & \text{sinon.} \end{cases}$$

En effet, la coalescence produit une séquence de type  $k$  et requiert aucune, une ou deux de ces séquences car  $i$  et/ou  $j$  peuvent être égaux à  $k$  (si  $i$  et  $j$  sont égaux à  $k$ , cela nous

ramène à une coalescence identique). Il y a également  $(n - 1)$  séquences au total au temps  $(\tau + 1)$ . Pour illustrer cela, supposons que  $i \neq j \neq k$  et que les séquences  $i$  et  $j$  coalescent vers une séquence  $k$  pour le  $(\tau + 1)^{\text{ème}}$  évènement. Le nombre de séquences  $k$  au temps  $(\tau + 1)$  est alors  $n_k + 1$ , car nous avons  $n_k$  séquences de type  $k$  au temps  $\tau$  et l'évènement de coalescence en crée une autre. Les  $\delta_{ik}$  et  $\delta_{jk}$  ajustent le nombre de séquences  $k$  si et seulement si  $i = k$  et/ou  $j = k$ . Nous obtenons donc :

$$\begin{aligned}
 P(\mathbf{H}_\tau \mid \mathbf{H}_\tau + C_{ij}^k) &= P(\text{le } (\tau + 1)^{\text{ème}} \text{ évènement est } C_{ij}^k) \\
 &= P(\text{le } (\tau + 1)^{\text{ème}} \text{ évènement implique une séquence de type } k \\
 &\quad \text{et le } (\tau + 1)^{\text{ème}} \text{ évènement est une coalescence}) \\
 &= P(\text{le } (\tau + 1)^{\text{ème}} \text{ évènement implique une séquence de type } k) \\
 &\quad \cdot P(\text{le } (\tau + 1)^{\text{ème}} \text{ évènement est une coalescence}) \\
 &= \frac{n_k + 1 - \delta_{ik} - \delta_{jk}}{n - 1} \cdot \frac{n - 1}{n - 1 + \theta + \rho} \\
 &= \frac{n_k + 1 - \delta_{ik} - \delta_{jk}}{n - 1 + \theta + \rho}.
 \end{aligned}$$

**2. Le  $(\tau + 1)^{\text{ème}}$  évènement est une coalescence distincte  $C_{ij}^k$**

Il s'agit du cas particulier d'une coalescence des séquences de types  $i$  et  $j$  vers une séquence de type  $k$  où  $i = j = k$ . Nous avons donc  $\delta_{ik} = \delta_{jk} = 1$  et

$$P(\mathbf{H}_\tau \mid \mathbf{H}_\tau + C_i) = \frac{n_i - 1}{n - 1 + \theta + \rho}.$$

**3. Le  $(\tau + 1)^{\text{ème}}$  évènement est une mutation  $M_i^j(m)$**

Au temps  $(\tau + 1)$ , il y a  $(n_j + 1)$  séquences de type  $j$  et  $n$  séquences au total, car le nombre de séquences ne change pas lors d'un évènement de mutation. Alors,

$$\begin{aligned}
P(\mathbf{H}_\tau \mid \mathbf{H}_\tau + M_i^j(m)) &= P(\text{le } (\tau + 1)^{\text{ème}} \text{ évènement est } M_i^j(m)) \\
&= P(\text{le } (\tau + 1)^{\text{ème}} \text{ évènement implique une séquence de type } j, \\
&\quad \text{le marqueur } m \text{ et le } (\tau + 1)^{\text{ème}} \text{ évènement est une mutation}) \\
&= P(\text{le } (\tau + 1)^{\text{ème}} \text{ évènement implique une séquence de type } j) \\
&\quad \cdot P(\text{le } (\tau + 1)^{\text{ème}} \text{ évènement implique le marqueur } m) \\
&\quad \cdot P(\text{le } (\tau + 1)^{\text{ème}} \text{ évènement est une mutation}) \\
&= \frac{n_j + 1}{n} \cdot \frac{1}{L} \cdot \frac{\theta}{n - 1 + \theta + \rho} \\
&= \frac{\theta(n_j + 1)}{nL(n - 1 + \theta + \rho)}.
\end{aligned}$$

Notons qu'il serait possible de tenir compte de taux de mutations variables à chaque marqueur, en remplaçant  $\theta/L$  par  $\theta_m$  pour le marqueur  $m$ , de façon à ce que  $\sum_m \theta_m = \theta$ .

#### 4. Le $(\tau + 1)^{\text{ème}}$ évènement est une recombinaison $R_i^{jk}(p)$

Au temps  $(\tau + 1)$ , il y a  $(n_j + 1)$  séquences de type  $j$ ,  $(n_k + 1)$  séquences de type  $k$  et  $(n + 1)$  séquences au total. Ainsi,

$$\begin{aligned}
P(\mathbf{H}_\tau \mid \mathbf{H}_\tau + R_i^{jk}(p)) &= P(\text{le } (\tau + 1)^{\text{ème}} \text{ évènement est } R_i^{jk}(p)) \\
&= P(\text{le } (\tau + 1)^{\text{ème}} \text{ évènement implique une séquence de type } j \text{ et} \\
&\quad \text{une séquence de type } k \text{ (où } j \text{ est choisi en premier), un point} \\
&\quad \text{de recombinaison dans l'intervalle } p \text{ et le } (\tau + 1)^{\text{ème}} \text{ évènement} \\
&\quad \text{est une recombinaison})
\end{aligned}$$

$$\begin{aligned}
&= P(\text{le } (\tau + 1)^{\text{ème}} \text{ évènement implique une séquence de type } j \text{ et} \\
&\quad \text{une séquence de type } k) \\
&\quad \cdot P(\text{la séquence } j \text{ est choisie en premier}) \\
&\quad \cdot P(\text{le } (\tau + 1)^{\text{ème}} \text{ évènement implique un point de} \\
&\quad \text{recombinaison dans l'intervalle } p) \\
&\quad \cdot P(\text{le } (\tau + 1)^{\text{ème}} \text{ évènement est une recombinaison}) \\
&= \frac{\binom{n_j+1}{1} \binom{n_k+1}{1}}{\binom{n+1}{2}} \cdot \frac{1}{2} \cdot \frac{r_p}{r} \cdot \frac{\rho}{n-1+\theta+\rho} \\
&= \frac{\rho(n_j+1)(n_k+1)r_p}{n(n+1)(n-1+\theta+\rho)r}.
\end{aligned}$$

### 5. Le $(\tau + 1)^{\text{ème}}$ évènement est un évènement non-ancestral

Rappelons que  $\mathbf{H}_\tau$  désigne seulement l'ensemble des séquences ancestrales. Pour que  $\mathbf{H}_{\tau+1}$  soit égal à  $\mathbf{H}_\tau$ , il faut donc que le  $(\tau + 1)^{\text{ème}}$  évènement ait été un évènement qualifié de "non-ancestral". Il y a deux cas possibles. Premièrement, une mutation peut survenir sur un marqueur non-ancestral. Ensuite, il peut y avoir recombinaison dans laquelle une des deux parties de la séquence est constituée seulement de marqueurs non-ancestraux. Dans ce cas, une des deux nouvelles séquences produite par la recombinaison est constituée uniquement de marqueurs non-ancestraux alors que l'autre nouvelle séquence est une copie identique de la séquence originale.

Soit  $|A_i|$  le nombre de marqueurs ancestraux sur une séquence de type  $i$ ,  $A_i$  l'ensemble des marqueurs ancestraux sur une séquence de type  $i$ ,  $d$  le nombre de types différents de séquences,  $L$  le nombre de marqueurs par séquence et  $r$  la longueur d'une séquence (la distance entre le premier et le dernier marqueur). Alors  $a = \sum_{i=1}^d n_i |A_i|$  compte le nombre total de marqueurs ancestraux pour les  $n$  séquences et

$$b = \sum_{i=1}^d n_i \cdot (\max x_m; \text{marqueur } m \in A_i - \min x_m; \text{marqueur } m \in A_i)$$

compte la distance totale, pour les  $n$  séquences, sur laquelle une recombinaison est ancestrale.

Ainsi, sur les  $nL$  marqueurs,  $a$  d'entre eux sont ancestraux et sur la somme totale  $nr$  des longueurs des séquences, une recombinaison est ancestrale sur une longueur  $b$ . Le nombre de marqueurs non-ancestraux est donc  $nL - a$ , ce qui implique que  $(nL - a)/nL$  donne la probabilité qu'un marqueur soit non-ancestral. Il s'agit aussi de la probabilité qu'une mutation soit non-ancestrale. La longueur totale sur laquelle une recombinaison est non-ancestrale est donc  $nr - b$ , ce qui implique que  $(nr - b)/nr$  donne la probabilité qu'une recombinaison soit non-ancestrale. Ainsi, nous avons donc :

$$\begin{aligned} P(\mathbf{H}_\tau | \mathbf{H}_\tau) &= P(\text{le } (\tau + 1)^{\text{ème}} \text{ évènement est une mutation non-ancestrale}) \\ &\quad + P(\text{le } (\tau + 1)^{\text{ème}} \text{ évènement est une recombinaison non-ancestrale}) \\ &= P(\text{le } (\tau + 1)^{\text{ème}} \text{ évènement est non-ancestral} | \text{le } (\tau + 1)^{\text{ème}} \text{ évènement} \\ &\quad \text{est une mutation}) \cdot P(\text{le } (\tau + 1)^{\text{ème}} \text{ évènement est une mutation}) \\ &\quad + P(\text{le } (\tau + 1)^{\text{ème}} \text{ évènement est non-ancestral} | \text{le } (\tau + 1)^{\text{ème}} \\ &\quad \text{évènement est une recombinaison}) \cdot P(\text{le } (\tau + 1)^{\text{ème}} \text{ évènement est une} \\ &\quad \text{recombinaison}) \\ &= \frac{nL - a}{nL} \cdot \frac{\theta}{n - 1 + \theta + \rho} + \frac{nr - b}{nr} \cdot \frac{\rho}{n - 1 + \theta + \rho} \\ &= \frac{\theta(nL - a)}{nL(n - 1 + \theta + \rho)} + \frac{\rho(nr - b)}{nr(n - 1 + \theta + \rho)}. \end{aligned}$$

Nous avons réussi à calculer  $P(\mathbf{H}_\tau | \mathbf{H}_{\tau+1})$  dans tous les cas possibles :

$$P(\mathbf{H}_\tau \mid \mathbf{H}_{\tau+1}) = \begin{cases} \frac{n_i-1}{n-1+\theta+\rho} & \text{si le } (\tau+1)^{\text{ème}} \text{ évènement est } C_i, \\ \frac{n_k+1-\delta_{ik}-\delta_{jk}}{n-1+\theta+\rho} & \text{si le } (\tau+1)^{\text{ème}} \text{ évènement est } C_{ij}^k \text{ (avec } i \neq j), \\ \frac{\theta(n_j+1)}{nL(n-1+\theta+\rho)} & \text{si le } (\tau+1)^{\text{ème}} \text{ évènement est } M_i^j(m), \\ \frac{\rho(n_j+1)(n_k+1)r_p}{n(n+1)(n-1+\theta+\rho)r} & \text{si le } (\tau+1)^{\text{ème}} \text{ évènement est } R_i^{jk}(p), \\ \frac{\theta(nL-a)}{nL(n-1+\theta+\rho)} & \text{si le } (\tau+1)^{\text{ème}} \text{ évènement est une mutation} \\ & \text{non-ancestrale,} \\ \frac{\rho(nr-b)}{nr(n-1+\theta+\rho)} & \text{si le } (\tau+1)^{\text{ème}} \text{ évènement est une recombinaison} \\ & \text{non-ancestrale.} \end{cases}$$

Pour calculer  $Q(\mathbf{H}_\tau) = \sum_{\mathbf{H}_{\tau+1}} P(\mathbf{H}_\tau \mid \mathbf{H}_{\tau+1})Q(\mathbf{H}_{\tau+1})$ , nous sommes sur tous les cas possibles pour  $\mathbf{H}_{\tau+1}$ .

Lorsque le  $(\tau+1)^{\text{ème}}$  évènement est  $C_i$ , nous sommes sur tous les types  $i$  qui peuvent coalescer. Puisqu'une coalescence requiert deux séquences, nous sommes sur tous les  $i = 1, \dots, d$  tels que  $n_i > 1$ .

Lorsque le  $(\tau+1)^{\text{ème}}$  évènement est  $C_{ij}^k$  (avec  $i \neq j$ ), nous sommes sur toutes les paires  $i, j$  sans ordre telles que  $i \neq j$  et telles que les types  $i$  et  $j$  possèdent le même ensemble de mutations dans le matériel ancestral (ce qui est une condition pour qu'il puisse y avoir coalescence). Nous multiplions la sommation par 2 (car  $C_{ij}^k = C_{ji}^k$ ) pour dénombrer avec ordre.

Lorsque le  $(\tau+1)^{\text{ème}}$  évènement est  $M_i^j(m)$ , nous sommes d'abord sur tous les types  $i$  tels que  $n_i = 1$ , puisque selon notre modèle une mutation ne peut survenir sur un marqueur plus d'une fois. Ensuite, nous sommes sur tous les marqueurs ancestraux qui ont une mutation et telle que cette mutation est la seule, parmi toutes les séquences, à cette position.

Lorsque le  $(\tau+1)^{\text{ème}}$  évènement est  $R_i^{jk}(p)$ , nous sommes d'abord sur tous les types  $i$  car n'importe quel type peut se recombiner. Ensuite, nous sommes sur tous les intervalles

dans lesquels le point de recombinaison peut se trouver pour que la recombinaison soit ancestrale. Si  $\gamma_i$  et  $\kappa_i$  sont respectivement les numéros des premiers et derniers intervalles de la séquence de type  $i$  où une recombinaison affecte le matériel ancestral, alors nous sommons de  $p = \gamma_i$  à  $p = \kappa_i$ .

Lorsque le  $(\tau + 1)^{\text{ème}}$  évènement est une mutation ou une recombinaison non-ancestrale, nous n'avons pas besoin de sommer puisqu'il n'est pas nécessaire de connaître la nature des types impliqués dans l'évènement.

L'équation de récurrence est donc :

$$\begin{aligned}
Q(\mathbf{H}_\tau) &= \frac{1}{n-1+\theta+\rho} \sum_{i:n_i>1} (n_i-1)Q(\mathbf{H}_\tau + C_i) \\
&+ \frac{2}{n-1+\theta+\rho} \sum_{i \neq j \text{ compatibles}} (n_k+1 - \delta_{ik} - \delta_{jk})Q(\mathbf{H}_\tau + C_{ij}^k) \\
&+ \frac{\theta}{nL(n-1+\theta+\rho)} \sum_{i:n_i=1} \sum_{m \in A_i \text{ unique}} (n_j+1)Q(\mathbf{H}_\tau + M_i^j(m)) \\
&+ \frac{\rho(n_j+1)(n_k+1)}{n(n+1)(n-1+\theta+\rho)} \sum_{i=1}^d \sum_{p=\gamma_i}^{\kappa_i} \frac{r_p}{r} Q(\mathbf{H}_\tau + R_i^{jk}(p)) \\
&+ \frac{\theta(nL-a)}{nL(n-1+\theta+\rho)} Q(\mathbf{H}_\tau) \\
&+ \frac{\rho(nr-b)}{nr(n-1+\theta+\rho)} Q(\mathbf{H}_\tau).
\end{aligned}$$

Il est possible de simplifier cette équation en isolant  $Q(\mathbf{H}_\tau)$ . Nous obtenons alors :

$$\begin{aligned}
& \left[ 1 - \frac{\theta(nL - a)}{nL(n - 1 + \theta + \rho)} - \frac{\rho(nr - b)}{nr(n - 1 + \theta + \rho)} \right] Q(\mathbf{H}_\tau) \\
&= \left[ 1 - \frac{\theta}{n - 1 + \theta + \rho} - \frac{\rho}{n - 1 + \theta + \rho} + \frac{\frac{a}{nL}\theta}{n - 1 + \theta + \rho} + \frac{\frac{b}{nr}\rho}{n - 1 + \theta + \rho} \right] Q(\mathbf{H}_\tau) \\
&= \left[ 1 + \frac{\frac{a}{nL}\theta + \frac{b}{nr}\rho - \theta - \rho}{n - 1 + \theta + \rho} \right] Q(\mathbf{H}_\tau) \\
&= \left[ \frac{n - 1 + \frac{a}{nL}\theta + \frac{b}{nr}\rho}{n - 1 + \theta + \rho} \right] Q(\mathbf{H}_\tau) \\
&= \frac{1}{n - 1 + \theta + \rho} \sum_{i:n_i > 1} (n_i - 1) Q(\mathbf{H}_\tau + C_i) \\
&\quad + \frac{2}{n - 1 + \theta + \rho} \sum_{i \neq j \text{ compatibles}} (n_k + 1 - \delta_{ik} - \delta_{jk}) Q(\mathbf{H}_\tau + C_{ij}^k) \\
&\quad + \frac{\theta}{nL(n - 1 + \theta + \rho)} \sum_{i:n_i=1} \sum_{m \in A_i \text{ unique}} (n_j + 1) Q(\mathbf{H}_\tau + M_i^j(m)) \\
&\quad + \frac{\rho(n_j + 1)(n_k + 1)}{n(n + 1)(n - 1 + \theta + \rho)} \sum_{i=1}^d \sum_{p=\gamma_i}^{\kappa_i} \frac{r_p}{r} Q(\mathbf{H}_\tau + R_i^{jk}(p)).
\end{aligned}$$

En posant  $\alpha = a/nL$ ,  $\beta = b/nr$  et  $D_{\mathbf{H}_\tau} = n - 1 + \alpha\theta + \beta\rho$ , la formule de récurrence devient donc :

$$\begin{aligned}
Q(\mathbf{H}_\tau) &= \frac{1}{D_{\mathbf{H}_\tau}} \sum_{i:n_i > 1} (n_i - 1) Q(\mathbf{H}_\tau + C_i) \\
&\quad + \frac{2}{D_{\mathbf{H}_\tau}} \sum_{i \neq j \text{ compatibles}} (n_k + 1 - \delta_{ik} - \delta_{jk}) Q(\mathbf{H}_\tau + C_{ij}^k) \\
&\quad + \frac{\theta}{nLD_{\mathbf{H}_\tau}} \sum_{i:n_i=1} \sum_{m \in A_i \text{ unique}} (n_j + 1) Q(\mathbf{H}_\tau + M_i^j(m)) \\
&\quad + \frac{\rho(n_j + 1)(n_k + 1)}{n(n + 1)D_{\mathbf{H}_\tau}} \sum_{i=1}^d \sum_{p=\gamma_i}^{\kappa_i} \frac{r_p}{r} Q(\mathbf{H}_\tau + R_i^{jk}(p)).
\end{aligned}$$

C'est cette forme que nous considérons puisque nous ne nous intéressons pas aux événements non-ancestraux. Cette équation est également à la base du calcul des vraisemblances dans le processus de coalescence avec recombinaison.

### 4.3 Chaîne de Markov

Nous prenons  $Q(\mathbf{H}_0)$  comme vraisemblance de l'échantillon. Notons toutefois que c'est un abus de notation : en fait, la vraisemblance s'écrit habituellement  $L(r_T) = Q(\mathbf{H}_0 | r_T)$ . La formule de  $Q(\mathbf{H}_0)$  se trouve à l'aide de l'équation de récurrence que nous venons de développer. Par la suite, il n'est malheureusement pas possible de calculer  $Q(\mathbf{H}_0)$  de façon exacte puisque ce serait beaucoup trop long.

À la place, nous utilisons une stratégie Monte-Carlo introduite pour la première fois par Griffiths et Tavaré (1994). Pour ce faire, définissons d'abord une chaîne de Markov avec probabilités de transition de  $\mathbf{H}_\tau$  à  $\mathbf{H}_{\tau+1}$ . Nous venons de calculer  $P(\mathbf{H}_\tau | \mathbf{H}_{\tau+1})$ , mais nous ignorons comment calculer l'inverse. Nous utilisons une idée de Griffiths, qui consiste à proposer que  $P(\mathbf{H}_{\tau+1} | \mathbf{H}_\tau)$  est tout simplement  $c \times P(\mathbf{H}_\tau | \mathbf{H}_{\tau+1})$ , où  $c$  est une constante de normalisation pour en faire une distribution de probabilité.

Dans notre cas,

$$c = \frac{1}{\sum_{\mathbf{H}_{\tau+1}} P(\mathbf{H}_\tau | \mathbf{H}_{\tau+1})}.$$

Ainsi,

$$P(\mathbf{H}_{\tau+1} | \mathbf{H}_\tau) = \frac{P(\mathbf{H}_\tau | \mathbf{H}_{\tau+1})}{\sum_{\mathbf{H}_{\tau+1}} P(\mathbf{H}_\tau | \mathbf{H}_{\tau+1})}.$$

Notons que les auteurs (Larribe *et al.*, 2002) ne prétendent pas que ce résultat est vrai.  $P(\mathbf{H}_{\tau+1} \mid \mathbf{H}_\tau)$  joue le rôle d'une distribution proposée, et à ce titre, il était possible d'utiliser n'importe quelle distribution. La distribution proposée idéale, si elle était connue, serait évidemment  $P(\mathbf{H}_{\tau+1} \mid \mathbf{H}_\tau)$ .

Nous pouvons simplifier en divisant par le facteur  $D_{\mathbf{H}_\tau} = n - 1 + \alpha\theta + \beta\rho$  au numérateur et au dénominateur. Aussi, nous laissons tomber le facteur  $(n_j+1)(n_k+1)$  de la recombinaison. Nous perdons ainsi un peu de précision, mais cela va nous permettre de faire nos calculs beaucoup plus rapidement.

Soit  $S_{\mathbf{H}_\tau}$  la somme des  $P(\mathbf{H}_\tau \mid \mathbf{H}_{\tau+1})$  sur toutes les possibilités de  $\mathbf{H}_{\tau+1}$  considérées dans le modèle en laissant tomber les facteurs  $D_{\mathbf{H}_\tau}$  et  $(n_j+1)(n_k+1)$ , c'est-à-dire :

$$\begin{aligned}
S_{\mathbf{H}_\tau} &= \sum_{i:n_i>1} (n_i - 1) \\
&+ 2 \sum_{i \neq j \text{ compatibles}} (n_k + 1 - \delta_{ik} - \delta_{jk}) \\
&+ \frac{\theta}{nL} \sum_{i:n_i=1} \sum_{m \in A_i \text{ unique}} (n_j + 1) \\
&+ \frac{\rho}{n(n+1)} \sum_{i=1}^d \sum_{p=\gamma_i}^{\kappa_i} r_p/r.
\end{aligned}$$

Selon notre chaîne de Markov, au temps  $(\tau + 1)$ , une transition est donc faite de  $\mathbf{H}_\tau$  à

$$\left\{ \begin{array}{ll}
(\mathbf{H}_\tau + C_i) & \text{avec probabilité } (n_i - 1)/S_{\mathbf{H}_\tau}, \\
(\mathbf{H}_\tau + C_{ij}^k) & \text{avec probabilité } 2(n_k + 1 - \delta_{ik} - \delta_{jk})/S_{\mathbf{H}_\tau}, \\
(\mathbf{H}_\tau + M_i^j(m)) & \text{avec probabilité } \frac{\theta(n_j+1)}{nL}/S_{\mathbf{H}_\tau}, \\
(\mathbf{H}_\tau + R_i^{jk}(p)) & \text{avec probabilité } \frac{\rho r_p/r}{n(n+1)}/S_{\mathbf{H}_\tau}.
\end{array} \right.$$

Cette distribution est la distribution proposée. Elle permet à la chaîne de Markov de passer

d'un état à l'autre.

#### 4.4 Échantillonnage pondéré

Pour faire ressortir  $P(\mathbf{H}_{\tau+1} | \mathbf{H}_\tau)$ , nous écrivons l'équation de récurrence de cette façon :

$$\begin{aligned}
Q(\mathbf{H}_\tau) &= \frac{S_{\mathbf{H}_\tau}}{D_{\mathbf{H}_\tau}} \sum_{i:n_i>1} \frac{(n_i-1)}{S_{\mathbf{H}_\tau}} Q(\mathbf{H}_\tau + C_i) \\
&+ \frac{S_{\mathbf{H}_\tau}}{D_{\mathbf{H}_\tau}} \sum_{i \neq j \text{ compatibles}} \frac{2(n_k+1 - \delta_{ik} - \delta_{jk})}{S_{\mathbf{H}_\tau}} Q(\mathbf{H}_\tau + C_{ij}^k) \\
&+ \frac{S_{\mathbf{H}_\tau}}{D_{\mathbf{H}_\tau}} \sum_{i:n_i=1} \sum_{m \in A_i \text{ unique}} \frac{\theta(n_j+1)}{nL S_{\mathbf{H}_\tau}} Q(\mathbf{H}_\tau + M_i^j(m)) \\
&+ \frac{(n_j+1)(n_k+1)S_{\mathbf{H}_\tau}}{D_{\mathbf{H}_\tau}} \sum_{i=1}^d \sum_{p=\gamma_i}^{\kappa_i} \frac{\rho r_p / r}{n(n+1)S_{\mathbf{H}_\tau}} Q(\mathbf{H}_\tau + R_i^{jk}(p)).
\end{aligned}$$

En définissant  $f(\mathbf{H}_\tau, \mathbf{H}_{\tau+1}) = \begin{cases} \frac{S_{\mathbf{H}_\tau}}{D_{\mathbf{H}_\tau}} & \text{si } C_i, C_{ij}^k \text{ ou } M_i^j(m), \\ \frac{(n_j+1)(n_k+1)S_{\mathbf{H}_\tau}}{D_{\mathbf{H}_\tau}} & \text{si } R_i^{jk}(p), \end{cases}$

cela nous permet d'exprimer  $Q(\mathbf{H}_\tau)$  sous la forme suivante :

$$Q(\mathbf{H}_\tau) = \sum_{\mathbf{H}_{\tau+1}} f(\mathbf{H}_\tau, \mathbf{H}_{\tau+1}) P(\mathbf{H}_{\tau+1} | \mathbf{H}_\tau) Q(\mathbf{H}_{\tau+1}).$$

Cette forme nous permet de développer  $Q(\mathbf{H}_0)$  :

$$\begin{aligned}
Q(\mathbf{H}_0) &= \sum_{\mathbf{H}_1} f(\mathbf{H}_0, \mathbf{H}_1) P(\mathbf{H}_1 | \mathbf{H}_0) Q(\mathbf{H}_1) \\
&= \sum_{\mathbf{H}_1} f(\mathbf{H}_0, \mathbf{H}_1) P(\mathbf{H}_1 | \mathbf{H}_0) \sum_{\mathbf{H}_2} f(\mathbf{H}_1, \mathbf{H}_2) P(\mathbf{H}_2 | \mathbf{H}_1) Q(\mathbf{H}_2)
\end{aligned}$$

$$\begin{aligned}
&= \sum_{\mathbf{H}_1} f(\mathbf{H}_0, \mathbf{H}_1) P(\mathbf{H}_1 | \mathbf{H}_0) \sum_{\mathbf{H}_2} f(\mathbf{H}_1, \mathbf{H}_2) P(\mathbf{H}_2 | \mathbf{H}_1) \sum_{\mathbf{H}_3} f(\mathbf{H}_2, \mathbf{H}_3) P(\mathbf{H}_3 | \mathbf{H}_2) Q(\mathbf{H}_3) \\
&= \dots \\
&= \sum_{\mathbf{H}_1} \sum_{\mathbf{H}_2} \sum_{\mathbf{H}_3} \dots \sum_{\mathbf{H}_{\tau^*}} f(\mathbf{H}_0, \mathbf{H}_1) f(\mathbf{H}_1, \mathbf{H}_2) f(\mathbf{H}_2, \mathbf{H}_3) \dots f(\mathbf{H}_{\tau^*-1}, \mathbf{H}_{\tau^*}) \\
&\quad P(\mathbf{H}_1 | \mathbf{H}_0) P(\mathbf{H}_2 | \mathbf{H}_1) P(\mathbf{H}_3 | \mathbf{H}_2) \dots P(\mathbf{H}_{\tau^*} | \mathbf{H}_{\tau^*-1}) Q(\mathbf{H}_{\tau^*}) \\
&= \sum_{\mathbf{H}_1} \sum_{\mathbf{H}_2} \sum_{\mathbf{H}_3} \dots \sum_{\mathbf{H}_{\tau^*}} \prod_{\tau=0}^{\tau^*-1} f(\mathbf{H}_\tau, \mathbf{H}_{\tau+1}) P(\mathbf{H}_1 | \mathbf{H}_0) P(\mathbf{H}_2 | \mathbf{H}_1) P(\mathbf{H}_3 | \mathbf{H}_2) \dots \\
&\quad P(\mathbf{H}_{\tau^*} | \mathbf{H}_{\tau^*-1}) Q(\mathbf{H}_{\tau^*}).
\end{aligned}$$

Pour simplifier l'expression  $P(\mathbf{H}_1 | \mathbf{H}_0) P(\mathbf{H}_2 | \mathbf{H}_1) P(\mathbf{H}_3 | \mathbf{H}_2) \dots P(\mathbf{H}_{\tau^*} | \mathbf{H}_{\tau^*-1})$  dans la formule, nous utilisons l'identité suivante :

$$\begin{aligned}
P(B | A) P(C | A, B) &= \frac{P(A, B)}{P(A)} \frac{P(A, B, C)}{P(A, B)} \\
&= \frac{P(A, B, C)}{P(A)} \\
&= P(B, C | A).
\end{aligned}$$

Avec cette identité et en utilisant le fait que, puisque nous travaillons avec un processus markovien, seul le dernier état échantillonné a de l'influence sur l'état échantillonné actuel, nous obtenons :

$$\begin{aligned}
&P(\mathbf{H}_1 | \mathbf{H}_0) P(\mathbf{H}_2 | \mathbf{H}_1) P(\mathbf{H}_3 | \mathbf{H}_2) \dots P(\mathbf{H}_{\tau^*} | \mathbf{H}_{\tau^*-1}) \\
&= P(\mathbf{H}_1 | \mathbf{H}_0) P(\mathbf{H}_2 | \mathbf{H}_0, \mathbf{H}_1) P(\mathbf{H}_3 | \mathbf{H}_2) \dots P(\mathbf{H}_{\tau^*} | \mathbf{H}_{\tau^*-1})
\end{aligned}$$

$$\begin{aligned}
&= P(\mathbf{H}_1, \mathbf{H}_2 \mid \mathbf{H}_0)P(\mathbf{H}_3 \mid \mathbf{H}_2) \cdots P(\mathbf{H}_{\tau^*} \mid \mathbf{H}_{\tau^*-1}) \\
&= P(\mathbf{H}_1, \mathbf{H}_2 \mid \mathbf{H}_0)P(\mathbf{H}_3 \mid \mathbf{H}_0, \mathbf{H}_1, \mathbf{H}_2) \cdots P(\mathbf{H}_{\tau^*} \mid \mathbf{H}_{\tau^*-1}) \\
&= P(\mathbf{H}_1, \mathbf{H}_2, \mathbf{H}_3 \mid \mathbf{H}_0) \cdots P(\mathbf{H}_{\tau^*} \mid \mathbf{H}_{\tau^*-1}) \\
&= \cdots \\
&= P(\mathbf{H}_1, \mathbf{H}_2, \mathbf{H}_3, \dots, \mathbf{H}_{\tau^*} \mid \mathbf{H}_0).
\end{aligned}$$

Cela nous permet de simplifier l'expression donnant  $Q(\mathbf{H}_0)$ , qui devient :

$$\begin{aligned}
Q(\mathbf{H}_0) &= \sum_{\mathbf{H}_1} \sum_{\mathbf{H}_2} \sum_{\mathbf{H}_3} \cdots \sum_{\mathbf{H}_{\tau^*}} \prod_{\tau=0}^{\tau^*-1} f(\mathbf{H}_\tau, \mathbf{H}_{\tau+1}) \\
&\quad P(\mathbf{H}_1, \mathbf{H}_2, \mathbf{H}_3, \dots, \mathbf{H}_{\tau^*} \mid \mathbf{H}_0)Q(\mathbf{H}_{\tau^*}) \\
&= E_P \left[ \prod_{\tau=0}^{\tau^*-1} f(\mathbf{H}_\tau, \mathbf{H}_{\tau+1}) \right].
\end{aligned}$$

Il s'agit d'une représentation d'échantillonnage pondéré avec distribution proposée  $P$ . Il est à noter que  $Q(\mathbf{H}_{\tau^*})$  vaut 1 si le MRCA est constitué uniquement de marqueurs ancestraux sans mutations ; sinon,  $Q(\mathbf{H}_{\tau^*})$  vaut 0. En simulant un grand nombre de graphes selon la distribution proposée  $P$ , la vraisemblance de  $r_T$  est ainsi estimée par l'espérance du produit des fonctions  $f(\mathbf{H}_\tau, \mathbf{H}_{\tau+1})$ .

Soit  $\Theta = \{\theta, r_T\}$  l'ensemble des paramètres inconnus du processus. Étant donné  $\Theta_0 = \{\theta_0, r_{T_0}\}$ , nous pouvons estimer  $Q_\Theta(\mathbf{H}_\tau)$  pour différentes valeurs de  $\Theta$ . En fait,

$$Q_\Theta(\mathbf{H}_\tau) = \sum_{\mathbf{H}_{\tau+1}} h_{\Theta\Theta_0}(\mathbf{H}_\tau, \mathbf{H}_{\tau+1})P_{\Theta_0}(\mathbf{H}_{\tau+1} \mid \mathbf{H}_\tau)Q_{\Theta_0}(\mathbf{H}_{\tau+1}),$$

où  $h_{\Theta\Theta_0}(\mathbf{H}_\tau, \mathbf{H}_{\tau+1}) = \frac{f_\Theta(\mathbf{H}_\tau, \mathbf{H}_{\tau+1})P_{\Theta_0}(\mathbf{H}_{\tau+1} \mid \mathbf{H}_\tau)}{P_{\Theta_0}(\mathbf{H}_{\tau+1} \mid \mathbf{H}_\tau)}$ . Nous pouvons calculer la fonction  $h_{\Theta\Theta_0}$

pour les différents évènements possibles :

$$h_{\Theta\Theta_0}(\mathbf{H}_\tau, \mathbf{H}_{\tau+1}) = \begin{cases} \frac{S(\mathbf{H}_\tau, \Theta_0)}{D(\mathbf{H}_\tau, \Theta)} & \text{si le } (\tau + 1)\text{ème évènement est } C_i \text{ ou } C_{ij}^k, \\ \frac{\theta}{\theta_0} \frac{S(\mathbf{H}_\tau, \Theta_0)}{D(\mathbf{H}_\tau, \Theta)} & \text{si le } (\tau + 1)\text{ème évènement est } M_i^j(m), \\ (n_j + 1)(n_k + 1) \frac{r_p}{r_{p0}} \frac{S(\mathbf{H}_\tau, \Theta_0)}{D(\mathbf{H}_\tau, \Theta)} & \text{si le } (\tau + 1)\text{ème évènement est } R_{ij}^k(p). \end{cases}$$

Il est à noter que le paramètre  $r_T$  est caché dans  $r_p$ . En effet, la position de la mutation a de l'influence sur la longueur des intervalles entre deux marqueurs. Par un raisonnement similaire à celui fait pour trouver  $Q(\mathbf{H}_0)$ , nous obtenons :

$$Q_{\Theta}(\mathbf{H}_0) = E_{P_{\Theta_0}} \left[ \prod_{\tau=0}^{\tau^*-1} h_{\Theta\Theta_0}(\mathbf{H}_\tau, \mathbf{H}_{\tau+1}) \right].$$

La méthode proposée pour évaluer la vraisemblance de  $r_T$  le long d'une séquence implique l'évaluation de  $Q_{\Theta_0}$  pour  $\Theta_0 = \{\{\theta_0, r_{T_1}\}, \{\theta_0, r_{T_2}\}, \dots, \{\theta_0, r_{T_{L-1}}\}\}$ . Nous utilisons  $(L - 1)$  ensembles de valeurs initiales. Pour la valeur initiale  $r_{T_p}$ , nous prenons le milieu de l'intervalle  $p$  ( $1 \leq p \leq L - 1$ ). La vraisemblance dans l'intervalle  $p$  pour les valeurs autres que  $r_{T_p}$  est évaluée par le schéma d'échantillonnage pondéré que nous venons d'exposer : les graphes construits avec une valeur initiale  $r_{T_p}$  sont utilisés pour évaluer la vraisemblance dans la région  $(x_p, x_{p+1})$  de la séquence.

Il est à noter que seule une valeur initiale  $\theta_0$  est utilisée pour le paramètre  $\theta$  : celui-ci est supposé connu. C'est une hypothèse faible car la vraisemblance de la position de la mutation causant la maladie n'est que peu influencée par le taux de mutation. Il aurait aussi été possible de prendre plusieurs valeurs initiales pour  $\theta$ .

## CHAPITRE V

### MÉTHODE AVEC ÉQUATIONS EXACTES

La méthode du chapitre IV ne fonctionne pas aussi bien que nous le voudrions. Le temps de calcul est assez grand, les courbes de vraisemblance sont différentes d'une simulation à l'autre et la position de la mutation n'est pas toujours estimée au bon endroit. Pour toutes ces raisons, la recherche d'une méthode alternative à celle de Larribe *et al.* est tout à fait justifiée.

La méthode que nous développons dans ce chapitre origine d'une idée de Larribe : calculer la vraisemblance de façon "exacte", en considérant toutes les histoires qui relient les données initiales à l'ancêtre commun plutôt que d'en échantillonner quelques-unes. Bien sûr, nous devons faire quelques compromis pour que le temps de calcul soit raisonnable et que cela soit réalisable.

Tout d'abord, nous devons limiter le nombre de recombinaisons permises. D'une part, un évènement de recombinaison augmente de un le nombre de séquences dans l'échantillon et donc rallonge le temps avant de trouver l'ancêtre commun. D'autre part, plus une histoire contient de recombinaisons, plus sa vraisemblance est petite et moins elle a d'influence dans la vraisemblance totale. Il s'agit alors de déterminer le nombre maximum d'évènements de recombinaison que nous devons permettre dans chaque intervalle pour obtenir suffisamment de précision tout en maintenant un temps de calcul raisonnable.

Ensuite, il n'est pas possible de considérer tous les marqueurs génétiques à la fois : le temps de calcul serait beaucoup trop grand. Nous considérons alors de façon séparée des sous-ensembles de marqueurs consécutifs. Par la suite, toutes les vraisemblances marginales calculées sont "assemblées" par le principe de vraisemblance composite. La vraisemblance composite est de plus en plus utilisée en statistique génétique. Par exemple, nous pouvons penser à la méthode de Fearnhead et Donnelly (2002) ou encore à celle d'Hudson (2001).

Nous illustrons d'abord à l'aide d'un exemple comment construire toutes les histoires compatibles avec les données et comment calculer la vraisemblance d'une histoire. Nous définissons ensuite, à l'aide du principe de vraisemblance composite, la fonction de vraisemblance de la position de la mutation que notre méthode cherche à évaluer. Pour ce faire, nous devons préalablement introduire le concept de fenêtre de marqueurs et discuter des deux types de vraisemblances marginales que nous devons calculer : sans et avec insertion de la mutation. Ensuite, le programme écrit en C++ qui permet d'appliquer la méthode est présenté. Finalement, nous présentons les résultats que la méthode a donnés lorsque nous l'avons testée avec des ensembles de données.

## 5.1 Construction d'une histoire et calcul de sa vraisemblance

La formule exacte de la vraisemblance lorsque nous travaillons avec des histoires stipule que la vraisemblance des paramètres génétiques est simplement la sommation, sur toutes les histoires compatibles avec les données, des vraisemblances des histoires sous ces paramètres génétiques (voir section 3.3).

Dans cette section, nous voyons comment contruire toutes les histoires compatibles avec les données et comment calculer la vraisemblance d'une histoire. Pour ce faire, considérons un exemple (voir figure 5.1).

Dans cet exemple, l'échantillon initial est composé de deux séquences de trois marqueurs. La

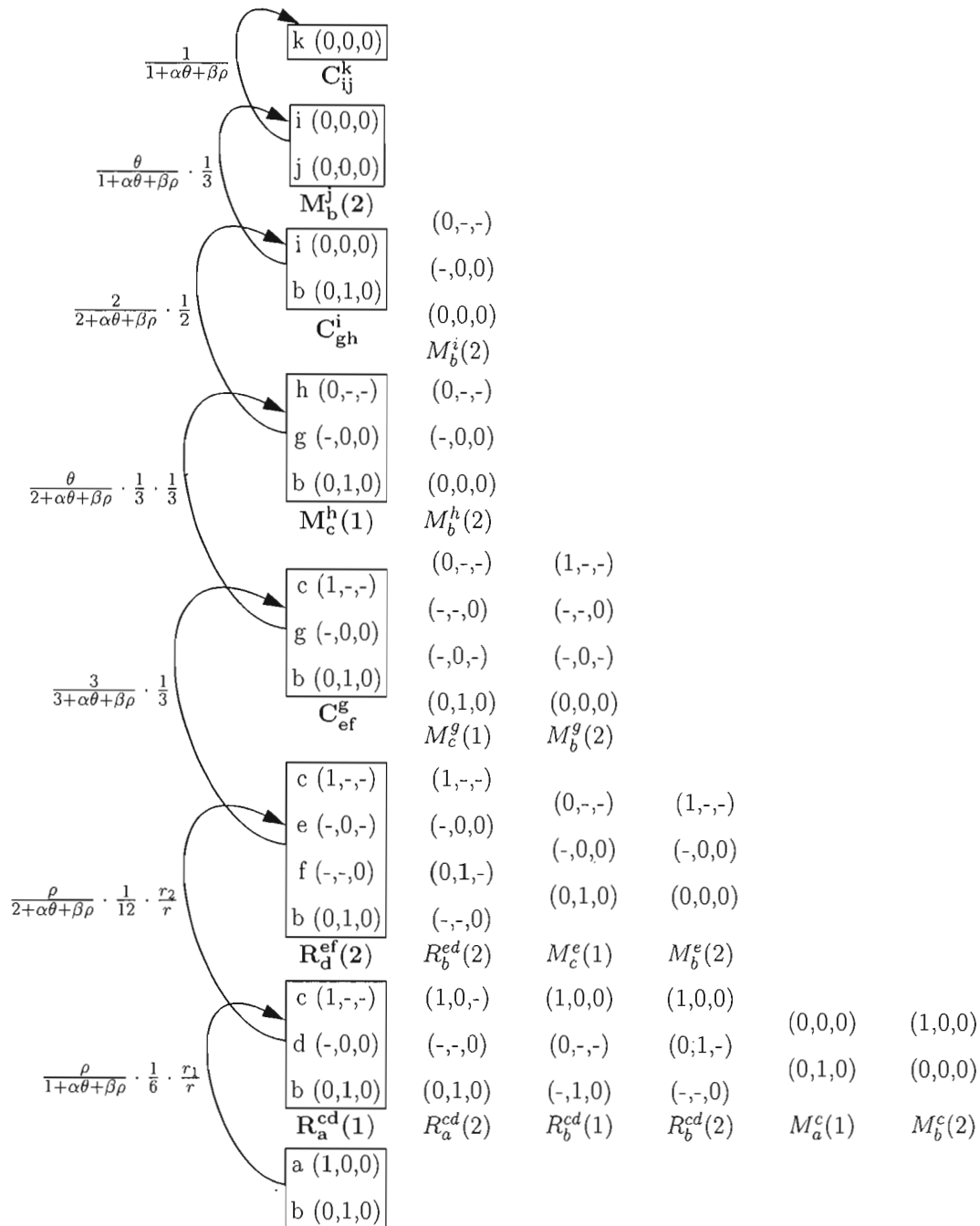


Figure 5.1 Exemple d'histoire possible dans l'ARG avec  $\mathbf{H}_\tau = \{(1,0,0), (0,1,0)\}$  et où au maximum une recombinaison est permise par intervalle.

Évènement	Probabilité
$C_i$	$\frac{n_i-1}{n-1+\alpha\theta+\beta\rho}$
$C_{ij}^k$	$\frac{2(n_k+1-\delta_{ik}-\delta_{jk})}{n-1+\alpha\theta+\beta\rho}$
$M_i^j(m)$	$\frac{\theta(n_j+1)}{nL(n-1+\alpha\theta+\beta\rho)}$
$R_i^{jk}(p)$	$\frac{\rho(n_j+1)(n_k+1)r_p}{n(n+1)(n-1+\alpha\theta+\beta\rho)r}$

**Figure 5.2** Probabilités de chacun des quatre évènements possibles.

première séquence,  $(1, 0, 0)$  est de type  $a$  et la seconde,  $(0, 1, 0)$ , est de type  $b$ . Les quatre évènements permis sont ceux décrits à la sous-section 2.2.2, c'est-à-dire une coalescence identique, une coalescence distincte, une mutation et une recombinaison. Leurs probabilités sont données à la figure 5.2. Pour notre exemple, nous nous restreignons à une recombinaison maximale pour chacun des deux intervalles entre deux marqueurs consécutifs.

Partant de notre échantillon de départ  $\mathbf{H}_0 = \{(1, 0, 0), (0, 1, 0)\}$ , six choix sont possibles pour le premier évènement : une recombinaison de la première ou de la deuxième séquence dans le premier ou le deuxième intervalle (ces évènements sont notés  $R_a^{cd}(1)$ ,  $R_a^{cd}(2)$ ,  $R_b^{cd}(1)$  et  $R_b^{cd}(2)$  à la figure 5.1), une mutation sur le premier marqueur de la première séquence ( $M_a^c(1)$ ) ou une mutation sur le deuxième marqueur de la deuxième séquence ( $M_b^c(2)$ ). Puisque  $n_a = n_b = 1$ , aucune coalescence identique n'est possible. Aucune coalescence distincte n'est possible puisqu'il n'y a aucun marqueur ancestral.

Nous illustrons une histoire possible. Nous choisissons l'évènement de recombinaison sur la première séquence dans le premier intervalle ( $R_a^{cd}(1)$ ) pour cette histoire. La probabilité associée à cet évènement, donnée à la figure 5.2, est :

$$\frac{\rho(n_j+1)(n_k+1)r_p}{n(n+1)(n-1+\alpha\theta+\beta\rho)r} = \frac{\rho r_1}{6(1+\alpha\theta+\beta\rho)r},$$

car avant la recombinaison aucune des deux nouvelles séquences n'existait ( $n_j = 0$  et  $n_k = 0$ ), il y avait deux séquences ( $n = 2$ ) et la recombinaison se fait dans le premier intervalle ( $p = 1$ ).

Pour le second évènement, plusieurs évènements sont encore possibles :  $R_d^{ef}(2)$ ,  $R_b^{ed}(2)$ ,  $M_c^e(1)$  et  $M_b^e(2)$ . Notons toutefois qu'une recombinaison dans le premier intervalle n'est plus possible. Nous avons choisi un des quatre évènements possibles et calculé sa probabilité.

Nous continuons de cette façon jusqu'à l'ancêtre commun. La figure 5.3 illustre l'ARG associé à l'histoire considérée. Mentionnons que les carrés noirs, les carrés noirs avec un carré blanc à l'intérieur et les carrés blancs y représentent respectivement un marqueur ancestral sans mutation, un marqueur ancestral mutant et un marqueur non-ancestral.

Tel que mentionné à la section 3.3, la vraisemblance de l'histoire est le produit des probabilités de chacun des évènements qui en font partie. Elle est donc de

$$\frac{1}{5832} \cdot \frac{r_1 r_2}{r^2} \cdot \frac{6\theta\rho^2}{(1 + \alpha\theta + \beta\rho)^3 (2 + \alpha\theta + \beta\rho)^2 (3 + \alpha\theta + \beta\rho)}.$$

Évidemment, en considérant toutes les autres possibilités de suites d'évènements, nous pouvons calculer les vraisemblances de toutes les autres histoires. Ceci nous permet de calculer la vraisemblance de l'échantillon, puisqu'elle est égale à la somme des vraisemblances de toutes les histoires.

## 5.2 Définition de la fonction de vraisemblance composite

Dans cette section, nous introduisons d'abord le concept de fenêtre de marqueurs et nous discutons des deux types de vraisemblance marginale que nous devons calculer : sans ou avec insertion de la mutation. Ensuite, nous définissons, à l'aide du principe de vraisemblance composite, la fonction de vraisemblance de la position de la mutation que notre méthode

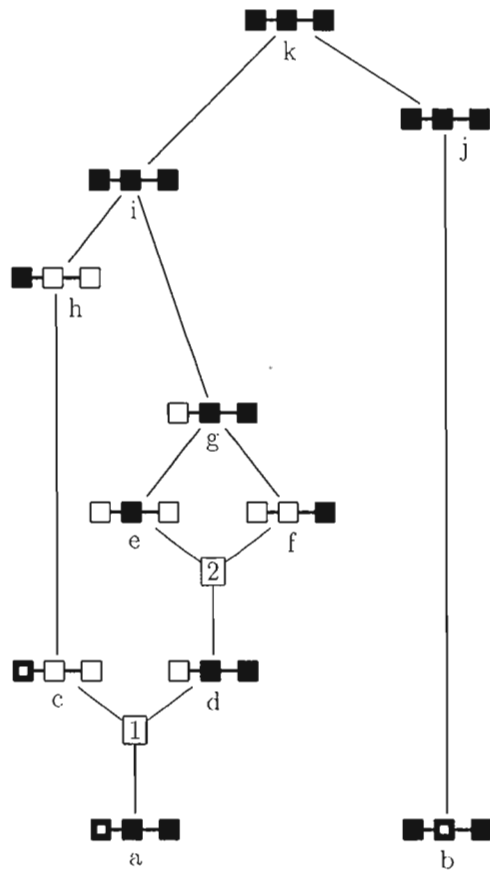
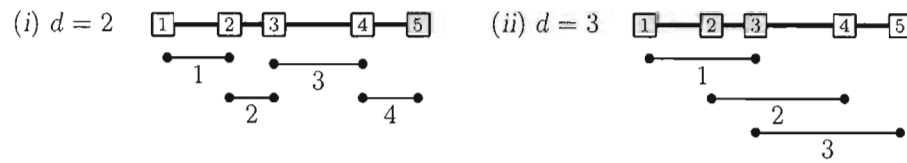


Figure 5.3 ARG associé à l'histoire illustrée à la figure 5.1.



**Figure 5.4** Exemples de fenêtres pour une séquence de cinq marqueurs : (a) quatre fenêtres de taille  $f = 2$  ; (b) trois fenêtres de taille  $f = 3$  (tiré de Larribe et Lessard, 2008).

cherche à évaluer.

### 5.2.1 Concept de fenêtre de marqueurs

Nous avons déjà spécifié qu'il n'est pas possible de construire toutes les histoires pour un trop grand nombre de marqueurs génétiques à la fois puisque cela nécessiterait trop de temps de calcul. Nous considérons alors des fenêtres de marqueurs consécutifs. Par exemple, si nous avons cinq marqueurs par séquence, nous pouvons considérer des fenêtres de taille  $f = 2$ . Dans ce cas, la première fenêtre contient les deux premiers marqueurs, la deuxième fenêtre contient les deuxième et troisième marqueurs, et ainsi de suite (voir figure 5.4 (a)). Si nous considérons plutôt des fenêtres de taille  $f = 3$ , alors la première fenêtre contient les trois premiers marqueurs, la deuxième fenêtre les marqueurs 2, 3 et 4 et la troisième fenêtre les trois derniers marqueurs (voir figure 5.4 (b)).

### 5.2.2 Vraisemblances marginales

Après avoir déterminé la taille  $f$  des fenêtres, nous calculons d'abord, sans insérer la mutation, les fonctions de vraisemblance marginale dans chacun des intervalles de chacune des fenêtres. Nous notons  $Q(\mathbf{H}_0^{mg})$  la vraisemblance des données de la fenêtre  $g$  dans l'intervalle entre le  $m^{\text{ème}}$  et le  $(m + 1)^{\text{ème}}$  intervalle, que nous appelons dorénavant l'intervalle  $m$ .

Dans l'exemple de la section 4.1, la vraisemblance de l'histoire considérée est de

$$\frac{1}{5832} \cdot \frac{r_1 r_2}{r^2} \cdot \frac{6\theta\rho^2}{(1 + \alpha\theta + \beta\rho)^3 (2 + \alpha\theta + \beta\rho)^2 (3 + \alpha\theta + \beta\rho)}.$$

Dans cette expression, il y a sept variables :  $r_1$ ,  $r_2$ ,  $r$ ,  $\alpha$ ,  $\theta$ ,  $\beta$  et  $\rho$ . Les variables  $r$ ,  $\alpha$ ,  $\theta$ ,  $\beta$  et  $\rho$  peuvent être calculées à l'aide des paramètres connus  $N_e$  et  $\mu$  et de l'information sur nos séquences. Ainsi, nous pouvons les remplacer par leurs valeurs dans l'expression de la vraisemblance. Si la mutation n'est pas incluse dans nos séquences de départ (1,0,0) et (0,1,0), alors  $r_1$  et  $r_2$  sont connues puisque nous connaissons les distances entre chacun des marqueurs standards. Nous pouvons donc les remplacer par leurs valeurs dans l'expression de la vraisemblance. Ainsi, la vraisemblance de l'histoire est un nombre, ce qui est le cas lorsque nous considérons seulement les données initiales.

Nous calculons aussi, après insertion de la mutation, ces mêmes fonctions de vraisemblance marginale pour chacun des intervalles de chacune des fenêtres. Nous notons  $Q(\mathbf{H}_0^{mg}, r_T)$  la vraisemblance des données de la fenêtre  $g$  auxquelles nous avons inséré la mutation dans l'intervalle  $m$ .

Si, dans l'exemple de la section 4.1, les séquences (1,0,0) et (0,1,0) proviennent des séquences à deux marqueurs (1,0) et (0,0) auxquelles nous avons inséré la mutation (entre les deux marqueurs), alors nous ne connaissons pas les variables  $r_1$  et  $r_2$  puisque la position de la mutation ( $r_T$ ) est inconnue. Dans ce cas, la vraisemblance est une fonction de  $r_T$ , qui s'exprime sous la forme d'une fonction des variables  $r_1$  et  $r_2$  qui sont déterminées par  $r_T$ . La vraisemblance est toujours une fonction de  $r_T$  lorsque nous considérons les données initiales auxquelles nous avons inséré la mutation.

Les deux calculs de vraisemblance marginale nous permettent de calculer la vraisemblance de  $r_T$ , conditionnellement aux données :

$$L_{m,g}(r_T|\mathbf{H}_0^{mg}) = \frac{Q(\mathbf{H}_0^{mg}, r_T)}{Q(\mathbf{H}_0^{mg})}.$$

Il est à noter que, par convention,  $L_{m,g}(r_T|\mathbf{H}_0^{mg}) = 1$  si la mutation n'est pas dans l'intervalle  $m$ .

### 5.2.3 Fonction de vraisemblance composite

Lorsque la taille  $f$  de fenêtre utilisée est supérieure à 2, plusieurs fenêtres contiennent le même intervalle (voir figure 5.4). Ainsi, nous avons besoin de faire une moyenne pondérée pour obtenir la vraisemblance dans chaque intervalle. Pour ce faire, nous utilisons le concept de vraisemblance composite (Lindsay, 1988 et Varin et Vidoni, 2005). Notre fonction de vraisemblance composite conditionnelle ( $VVC_f$ ) pour des fenêtres de taille  $f$  est (Larribe et Lessard, 2008 - en modifiant un peu la notation) :

$$VVC_f(r_T) = \prod_{m=1}^{L-2} \left( \prod_{g: \text{int. } m \in g} L_{m,g}(r_T|\mathbf{H}_0^{mg}) \right)^{w_m},$$

où  $w_m$  est l'inverse du nombre de fenêtres qui contiennent l'intervalle  $m$ . Cette variable représente aussi le poids accordé à chacune des évaluations de la vraisemblance pour l'intervalle  $m$ . Dans notre cas, tous les poids sont les mêmes pour chacune des évaluations de vraisemblance.

### 5.3 Implémentation informatique

Un programme écrit en C++ (voir annexe) permet de calculer la courbe de vraisemblance à partir de données. Voici les algorithmes principaux du programme, suivis d'explications pour certaines des étapes de ces algorithmes. L'algorithme 1 est celui du fichier "Main",

l'algorithme 2 correspond à la fonction "vraisTot" et l'algorithme 3 décrit la fonction "recurs".

C'est dans le fichier "Main" que les paramètres et les données sont saisies et que la fonction "vraisTot" est appelée. Cette fonction donne les commandes pour calculer toutes les vraisemblances marginales et la vraisemblance totale. Afin de calculer les vraisemblances marginales, la fonction "recurs" est appelée. Il s'agit d'une fonction qui calcule la vraisemblance d'un ensemble de données en parcourant de façon récursive les histoires.

---

**Algorithme 1 Main**

---

- 1: Lire les paramètres.
  - 2: Calculer la valeur de la variable "theta", les matrices d'haplotypes et d'évènements et la matrice qui donne les positions auxquelles la vraisemblance totale est évaluée.
  - 3: Lire les données.
  - 4: Séparer les données.
  - 5: Calculer la matrice de vraisemblance totale.
- 

**Explication des principales étapes de l'algorithme 1**

1. Le programme lit le fichier de paramètres, ce qui lui donne la valeur des variables suivantes :

- ne : la taille effective de la population
- mu : le taux de mutation par séquence par génération
- nbCan : le nombre de positions différentes où la vraisemblance est évaluée par intervalle entre deux marqueurs
- resFile : le fichier de résultats
- dataFile : le fichier de données
- distI : le vecteur de distances entre les marqueurs

- $f$  : le nombre de marqueurs génétiques considérés par fenêtre
- $\text{recMax}$  : le vecteur du nombre maximal de recombinaisons permises par intervalle

2. Voici ce que le programme calcule :

- Le taux de mutation à l'échelle :  $\theta = 4 * ne * mu$
- Les matrices  $\text{tHap1}$  et  $\text{tHap2}$  qui contiennent toutes les séquences possibles à  $f$  et  $(f + 1)$  marqueurs
- Les matrices  $\text{tCoa1}$  et  $\text{tCoa2}$  qui indiquent quelle séquence est obtenue par la coalescence d'une paire de séquences distinctes, pour toutes les séquences possibles à  $f$  et  $(f + 1)$  marqueurs
- Les matrices  $\text{tMut1}$  et  $\text{tMut2}$  qui indiquent quelle séquence est obtenue par le retrait d'une mutation, pour toutes les séquences possibles à  $f$  et  $(f + 1)$  marqueurs
- Les matrices  $\text{tRecG1}$ ,  $\text{tRecD1}$ ,  $\text{tRecG2}$  et  $\text{tRecD2}$  qui indiquent quelles séquences sont obtenues par la recombinaison d'une séquence dans un intervalle donné, pour toutes les séquences possibles à  $f$  et  $(f + 1)$  marqueurs
- La matrice  $\text{rT}$  qui donne les positions auxquelles la vraisemblance totale est évaluée

3. Le programme va chercher les informations contenues dans le fichier de données spécifié dans les paramètres.

4. Le programme sépare les informations contenues dans le fichier de données. Il crée ainsi un vecteur contenant les multiplicités de chaque séquence, un vecteur contenant le statut de la séquence (0 indique un contrôle et 1 un cas) et une matrice contenant les haplotypes.

5. Le programme calcule la matrice de vraisemblance totale à l'aide de la fonction "vrais-

Tot”.

### Explication des principales étapes de l’algorithme 2

1. Le vecteur donnant le nombre de fenêtres qui recourent chacun des intervalles permet de déterminer le poids accordé à chacune des évaluations de la vraisemblance pour un intervalle donné. Rappelons que, pour un intervalle donné, ce poids est l’inverse du nombre de fenêtres qui contiennent l’intervalle.

5. Nous obtenons donc une matrice contenant les séquences utilisées pour le calcul de la vraisemblance sans mutation pour la fenêtre choisie.

6. Le programme identifie les numéros des séquences à l’aide de la matrice tHap1 qui associe un numéro à chacune des séquences possibles à  $f$  marqueurs.

7. Puisque nous n’avons conservé qu’une partie des séquences de notre échantillon, il est probable qu’il y ait répétition de séquences identiques dans la matrice contenant les séquences utilisées. À cette étape, il s’agit de regrouper ces séquences, ce qui va modifier le vecteur de multiplicités ainsi que le vecteur identifiant les numéros des séquences utilisées.

8. Puisque nous n’avons conservé qu’une partie des séquences de notre échantillon, nous ne conservons aussi qu’une partie du vecteur qui contient les distances entre les marqueurs.

9. Voici ce que le programme calcule :

- Le taux de recombinaison par séquence par génération :  $r = \sum_{p=1}^{L-1} r_p$
- Le taux de recombinaison à l’échelle :  $\rho = 4N_e r$

10. Pour les intervalles correspondants à la fenêtre choisie, le programme calcule la vraisemblance marginale sans mutation à l’aide de la fonction “recurs” et ajuste la vraisemblance

---

**Algorithme 2** Fonction vraisTot

---

- 1: Calculer le vecteur donnant le nombre de fenêtres qui recourent chacun des intervalles.
  - 2: **Pour** chaque fenêtre
  - 3:   **Pour** chaque séquence
  - 4:     **Pour** chaque position correspondant à la fenêtre choisie
  - 5:       Ajouter le marqueur à la matrice contenant les séquences utilisées.
  - 6:     **Fin pour**
  - 7:   **Fin pour**
  - 8: Identifier le numéro des séquences utilisées.
  - 9: Regrouper les séquences maintenant identiques, ajuster leurs multiplicités et identifier leurs numéros.
  - 10: Modifier le vecteur qui contient les distances entre les marqueurs.
  - 11: Calculer les valeurs des variables  $r$  et  $\rho$ .
  - 12: Calculer et ajuster la vraisemblance sans mutation pour les intervalles appropriés.
  - 13: **Pour** chaque intervalle où la mutation peut être insérée
  - 14:   Faire une copie de la matrice contenant les séquences utilisées.
  - 15:   **Pour** chaque séquence
  - 16:     Ajouter la mutation dans l'intervalle choisi.
  - 17:   **Fin pour**
  - 18: Identifier le numéro des séquences utilisées.
  - 19: Regrouper les séquences maintenant identiques, ajuster leurs multiplicités et identifier leurs numéros.
  - 20: Modifier le vecteur qui contient les distances entre les marqueurs.
  - 21: Calculer et ajuster la vraisemblance avec mutation pour l'intervalle choisi.
  - 22: Effacer les variables associées au calcul de la vraisemblance avec mutation.
  - 23: **Fin pour**
  - 24: Effacer les variables associées au calcul de la vraisemblance sans mutation.
  - 25: **Pour** chaque candidat
  - 26:   **Pour** chaque intervalle
  - 27:     Calculer la vraisemblance de la mutation.
  - 28:   **Fin pour**
  - 29: **Fin pour**
  - 30: **Fin pour**
  - 31: **Retourner** le vecteur de vraisemblance de la mutation.
-

composite sans mutation.

14. Nous obtenons donc une matrice contenant les séquences utilisées pour le calcul de la vraisemblance avec mutation pour l'intervalle et la fenêtre choisis.

15. Le programme identifie les numéros des séquences à l'aide de la matrice tHap2 qui associe un numéro à chacune des séquences possibles à  $(f + 1)$  marqueurs.

17. Nous plaçons la mutation à un nombre nbCan de positions différentes dans l'intervalle choisi. Ainsi, le vecteur qui contient les distances entre les marqueurs devient un vecteur contenant nbCan vecteurs de distances entre les marqueurs.

18. Pour l'intervalle choisi dans la fenêtre, le programme calcule la vraisemblance marginale avec mutation à l'aide de la fonction "recurs" et ajuste la vraisemblance composite avec mutation.

23. À l'aide des vraisemblances composites avec et sans mutation, le programme calcule la vraisemblance de la mutation à chacune des  $\text{nbCan} \times (\text{nombre d'intervalles})$  positions où elle est évaluée.

### **Explication des principales étapes de l'algorithme 3**

1. probTotale est le vecteur qui donnera la vraisemblance calculée à l'aide de toutes les histoires possibles.

3. La condition est qu'il y ait au moins un événement possible pour la configuration actuelle. Cela ne serait pas le cas si, par exemple, la configuration comprend les quatre séquences (0 0 0), (0 0 1), (0 1 0) et (0 1 1) et qu'aucune recombinaison n'est permise. Nous ne considérons pas les histoires qui mènent à une impasse de la sorte.

6. L'évènement considéré aura une seule probabilité si nous calculons la vraisemblance sans

---

**Algorithme 3** Fonction recurs

---

```
1: Initialiser les entrées du vecteur probTotale à 0.
2: Construire la liste des évènements possibles pour les paramètres actuels.
3: Si la liste n'est pas vide alors
4:   Pour chaque évènement de la liste
5:     Changer le nom des paramètres variables.
6:     Modifier les paramètres variables et mettre la ou les probabilités de l'évènement
       considéré dans le vecteur prob.
7:   Si nous sommes rendus à l'ancêtre commun alors
8:     Pour chaque position j du vecteur prob
9:        $probTotale.i[j] = prob[j]$ 
10:    Fin pour
11:   Sinon
12:     Pour chaque position j du vecteur prob
13:        $probTotale.i[j] = prob[j] * contRekurs[j]$ 
14:     Fin pour
15:   Fin si
16:   Pour chaque position j du vecteur prob
17:      $probTotale[j] = probTotale[j] + probTotale.i[j]$ 
18:   Fin pour
19: Fin pour
20: Fin si
21: Retourner probTotale
```

---

mutation et plusieurs probabilités si nous calculons la vraisemblance avec mutation.

9. `probTotale.i` est un vecteur contenant la ou les probabilités de toutes les histoires commençant par l'évènement choisi.

13. `contRekurs` est un vecteur contenant la ou les vraisemblances retournées par la fonction `recurs`.

17. À la fin de la boucle sur les évènements de la liste, nous additionnons `probTotale.i` au vecteur donnant la vraisemblance. Rappelons que la vraisemblance des paramètres génétiques est simplement la sommation, sur toutes les histoires compatibles avec les données, des vraisemblances des histoires sous ces paramètres génétiques.

## 5.4 Résultats

Nous présentons maintenant quelques résultats de la méthode, que nous avons testée sur des ensembles de données simples. Nous présentons d'abord ces ensembles de données ainsi que les paramètres utilisés pour nos tests. Nous discutons ensuite des temps requis pour obtenir les résultats et finalement, nous présentons les résultats. Nous nous intéressons à la forme de la courbe de vraisemblance que la méthode génère, à l'exactitude de l'estimation fournie et à l'effet du nombre de recombinaisons maximum par intervalle.

### 5.4.1 Ensembles de données utilisés

Le premier ensemble de données utilisé comprend seulement deux séquences de deux marqueurs encadrant la mutation (voir figure 5.5). Nous posons  $\rho = 20$  et  $Ne = 10\,000$ , ce qui donne  $r = r_1 = 0,05\ cM$ . Le but de considérer un ensemble de données avec peu de séquences et peu de marqueurs est d'être en mesure de permettre un plus grand nombre de recombinaisons. Nous désignons ce premier ensemble de données "A". Notons que c'est un exemple fictif et expérimental qui est destiné à étudier et vérifier le comportement de

$i$	$n_i$	Séquence	TIM
1	1	■ ————— ■	■
2	1	■ ————— ■	□

**Figure 5.5** Ensemble de données “A” : multiplicité de chaque séquence  $i$  ( $n_i$ ) pour  $i = 1, 2$ . La séquence 2 est un cas ; la séquence 1 est un témoin.

$i$	$n_i$	Séquence	TIM
1	1	■ ————— ■	■
2	1	□ ————— ■	□
3	1	■ ————— □	□

**Figure 5.6** Ensemble de données “B” : multiplicité de chaque séquence  $i$  ( $n_i$ ) pour  $i = 1, 2, 3$ . Les séquences 2 et 3 sont des cas ; la séquence 1 est un témoin.

notre méthode.

Le second ensemble de données comprend trois séquences de deux marqueurs encadrant la mutation (voir figure 5.6). Nous choisissons aussi  $\rho = 20$  et  $Ne = 10\,000$ , ce qui donne  $r = r_1 = 0,05$  *cM*. Il s’agit encore une fois d’un exemple fictif et expérimental avec peu de séquences et peu de données qui a pour but d’étudier le comportement de notre méthode. Nous désignons ce second ensemble de données “B”.

Les données “C” proviennent de Larribe (2003), mais à une différence près : chacune des multiplicités a été ramenée à un pour que le temps de calcul demeure raisonnable. L’ensemble de données original a été simulé selon un modèle neutre de Wright-Fisher (Neuhauser, 2001 ou Nordborg, 2001, par exemple) par le programme ms (Hudson, 2002) en supposant une taille de population constante :  $Ne = 10\,000$ . Les données “C” sont

$i$	$n_i$	Séquence	TIM
1	1	■ ——— ■	□
2	1	■ ——— ■	■
3	1	■ ——— □	■
4	1	□ ——— ■	□
5	1	■ ——— □	□

**Figure 5.7** Ensemble de données “C” : multiplicité de chaque séquence  $i$  ( $n_i$ ) pour  $i = 1, \dots, 5$ . Les séquences 1, 4 et 5 sont des cas ; les autres, des témoins.

$i$	$n_i$	Séquence	TIM
1	5	■ ■ ——— ■ ■	□
2	1	■ ■ ——— ■ □	■
3	1	■ ■ ——— ■ □	□
4	1	■ ■ ——— □ ■	□
5	1	□ ■ ——— ■ ■	□
6	1	□ □ ——— ■ ■	■

**Figure 5.8** Ensemble de données “D” : multiplicité de chaque séquence  $i$  ( $n_i$ ) pour  $i = 1, \dots, 6$ . Les séquences 1, 3, 4 et 5 sont des cas ; les autres, des témoins.

constituées de cinq séquences de deux marqueurs encadrant la mutation (voir figure 5.7) et tel que  $\rho = 20$ , ce qui donne  $r = r_1 = 0,05 cM$ .

Le dernier ensemble de données provient directement de Larribe (2003), sans modification cette fois-ci. Cet ensemble de données, que nous notons “D”, a aussi été simulé avec le programme d’Hudson. Les données “D” sont constituées de dix séquences de quatre marqueurs encadrant la mutation, avec six types différents de séquences (voir figure 5.8) et tel que  $\rho = 5$ , ce qui donne  $r = 0,0125 cM$ . Les distances entre les marqueurs sont  $r_1 = 0,0007382 cM$ ,  $r_2 = 0,0096382 cM$  et  $r_3 = 0,0021236 cM$ .

### 5.4.2 Paramètres utilisés

Pour tester les quatre ensembles de données, certains paramètres ont été fixés. Nous considérons une taille effective de population de  $N_e = 10\,000$  ainsi qu'un taux de mutation par marqueur de  $10^{-5}$  ( $\mu$  est donc  $10^{-5} \times L$ ). La vraisemblance est évaluée  $nbCan = 30$  fois dans chaque intervalle. Cela donne suffisamment de points pour voir l'allure de la courbe sans toutefois ralentir trop les calculs. Seules des fenêtres de taille  $f = 2$  sont utilisées. Puisque la méthode est très exigeante au niveau du temps de calcul, il n'est pas possible de calculer suffisamment longtemps pour des fenêtres plus grandes.

### 5.4.3 Temps de calcul

Avant de présenter les résultats obtenus avec les trois ensembles de données étudiés, nous nous intéressons aux temps de calcul requis par la méthode. Ceci nous permet de comprendre combien de recombinaisons nous pouvons permettre tout en gardant un temps de calcul raisonnable.

Puisque nous considérons toutes les histoires possibles, la méthode est très exigeante au niveau du temps de calcul. En effet, celui-ci est proportionnel au nombre total d'événements de toutes les histoires et ce nombre croît très rapidement à mesure que nous augmentons le nombre maximal de recombinaisons permises. La figure 5.9 illustre le nombre requis d'événements pour faire toutes les histoires possibles selon le nombre maximum de recombinaisons. Des tests ont été effectués avec trois ensembles de données de deux séquences qui contiennent chacune deux marqueurs. Dans tous les cas, la courbe de tendance la plus appropriée est celle de type exponentiel. Ceci est un résultat important à connaître. En comprenant que l'augmentation du nombre total d'événements à considérer se fait de façon exponentielle, nous réalisons que le fait d'augmenter de un le nombre de recombinaisons permises pour un intervalle donné décuple le temps de calcul. Ainsi, si le temps de calcul est déjà très grand, alors il n'est pas possible d'obtenir des résultats dans des délais

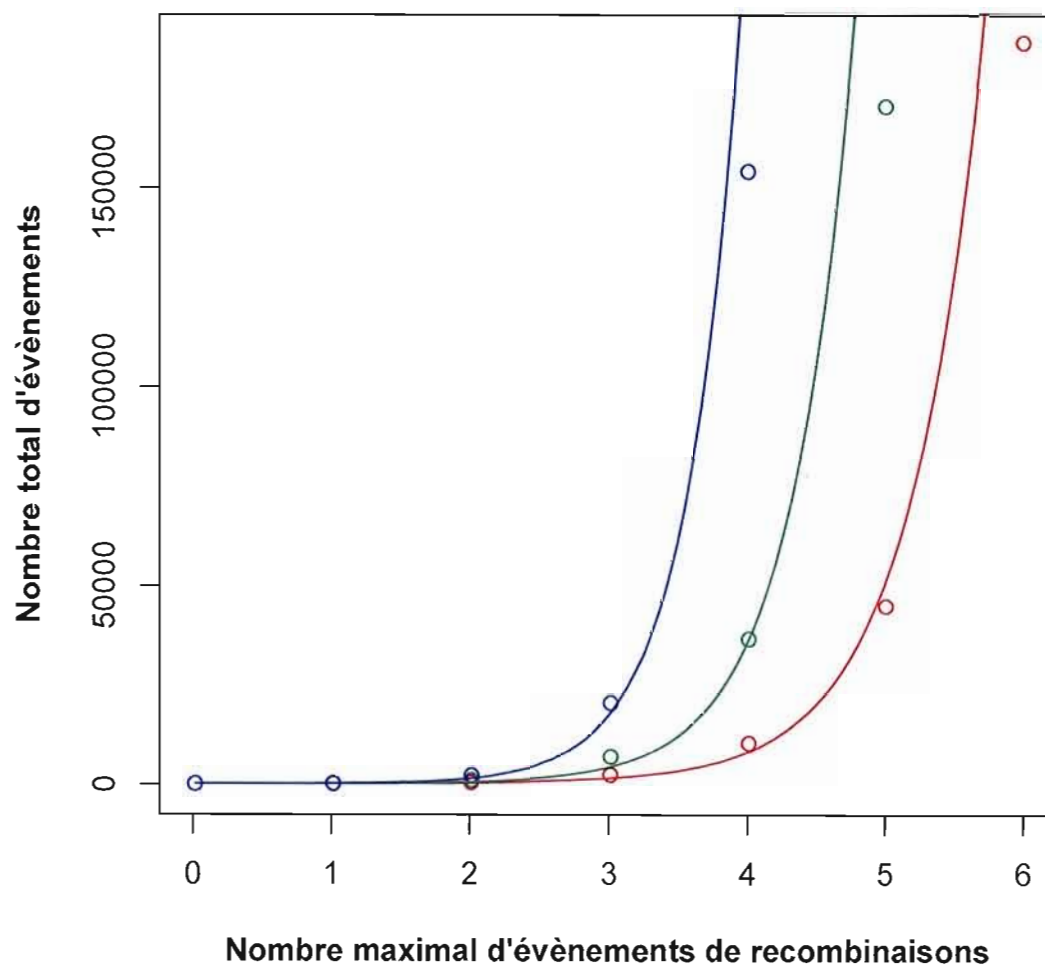


Figure 5.9 Croissance exponentielle du nombre total d'évènements requis pour faire toutes les histoires. La courbe bleue est celle des séquences (0,1) et (1,0), la courbe verte s'applique aux séquences (1,0) et (1,1) et la courbe rouge est obtenue des séquences (0,0) et (0,1).

raisonnables si nous augmentons davantage le nombre maximum de recombinaisons.

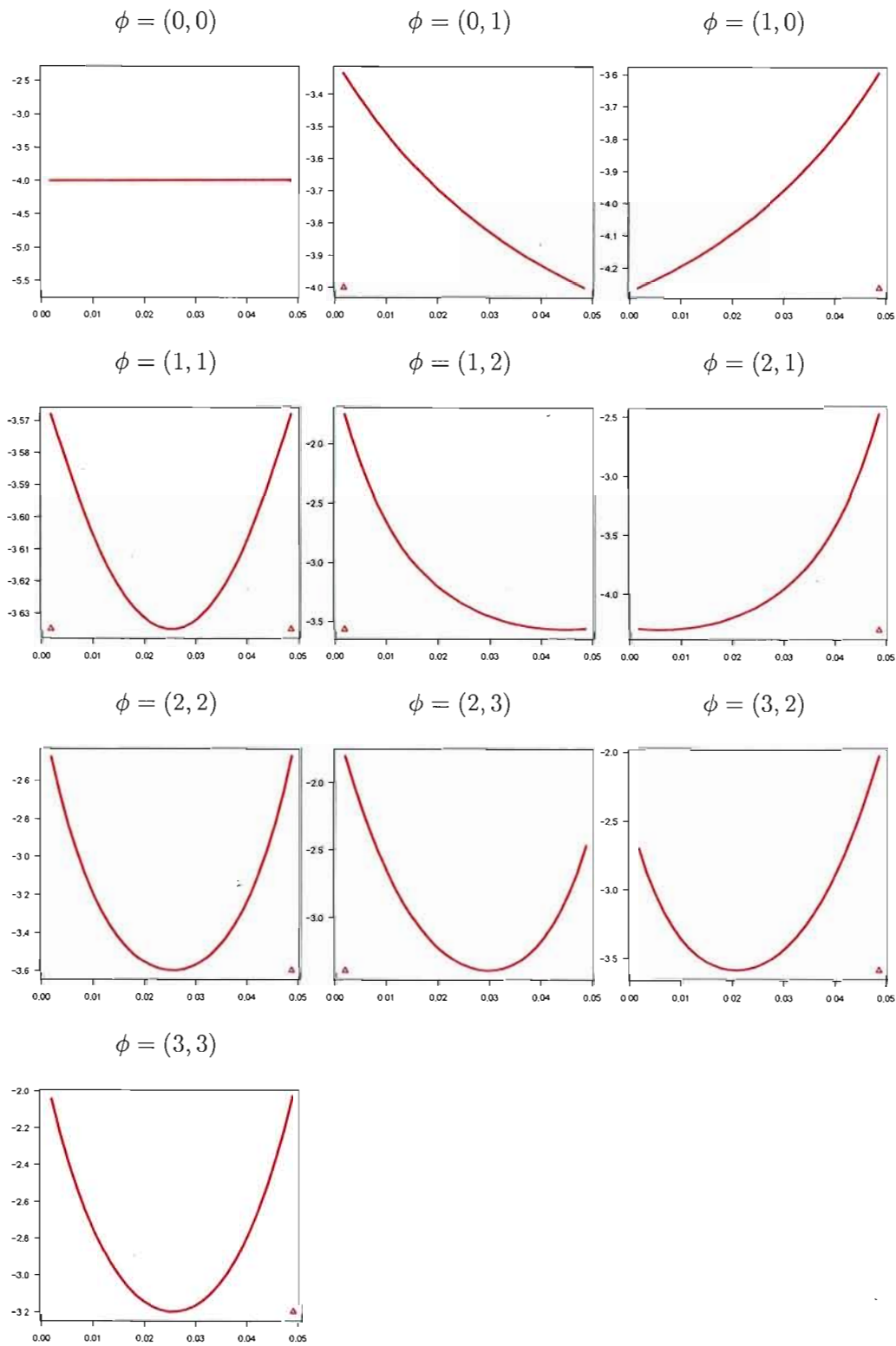
Dans le graphique de la figure 5.9, nous remarquons aussi que, selon l'information sur les séquences, le nombre requis d'histoires grossit plus ou moins rapidement. Donc, la nature des séquences influence le rythme auquel le nombre d'évènements croît. Il y a également d'autres facteurs, comme le nombre de séquences, qui influence aussi le rythme auquel le nombre d'évènements croît. Dans le cas du nombre de séquences, évidemment, plus il y a de séquences, plus le nombre d'évènements augmente rapidement. Néanmoins, peu importe ces facteurs, la progression du nombre d'évènements et du temps de calcul se fait toujours de façon exponentielle.

Pour les tests que nous avons effectués sur les données "A", "B", "C" et "D", le nombre total d'évènements nécessaires pour évaluer les vraisemblances se rend jusqu'à 1692 millions dans le cas le plus long. Cela nous a pris environ trois minutes de temps de calcul par million d'évènements parcourus.

#### 5.4.4 Résultats obtenus avec les données "A"

Les résultats obtenus avec les données "A" illustrent bien la convergence que nous obtenons en augmentant peu à peu les valeurs du vecteur donnant le nombre maximal de recombinaisons permises par intervalle, vecteur que nous notons  $\phi$ . Indépendamment de la fenêtre de marqueurs dans laquelle nous nous situons, la  $i^{\text{ème}}$  entrée de  $\phi$  donne le nombre maximal de recombinaisons permises pour le  $i^{\text{ème}}$  intervalle de la fenêtre. Les données ont été testées avec  $\phi = (0, 0)$ ,  $\phi = (0, 1)$ ,  $\phi = (1, 0)$ ,  $\phi = (1, 1)$ ,  $\phi = (1, 2)$ ,  $\phi = (2, 1)$ ,  $\phi = (2, 2)$ ,  $\phi = (2, 3)$ ,  $\phi = (3, 2)$  et  $\phi = (3, 3)$ .

En examinant les graphiques des vraisemblances obtenues pour ces dix cas (voir figure 5.10), nous remarquons que les résultats semblent converger vers les courbes de  $\phi = (1, 1)$ ,  $\phi = (2, 2)$  et  $\phi = (3, 3)$ . Nous notons que mis à part le cas dégénéré  $\phi = (0, 0)$  qui produit



**Figure 5.10** Courbes de vraisemblance obtenues pour les données “A” avec la méthode développée en utilisant des valeurs de  $\phi$  de  $(0,0)$ ,  $(0,1)$ ,  $(1,0)$ ,  $(1,1)$ ,  $(1,2)$ ,  $(2,1)$ ,  $(2,2)$ ,  $(2,3)$ ,  $(3,2)$  et  $(3,3)$ .

une infinité d'estimations, les courbes sont symétriques (ou presque) et ne varient pas beaucoup lorsque le nombre maximal de recombinaisons permises est le même dans chaque intervalle.

Nous remarquons aussi que plus les valeurs de  $\phi$  sont grandes, moins les résultats sont sensibles à une différence de un dans le nombre maximal de recombinaisons d'un intervalle à l'autre. Ainsi, les courbes de  $\phi = (1, 2)$  et  $\phi = (2, 1)$  sont moins asymétriques que celles de  $\phi = (0, 1)$  et  $\phi = (1, 0)$ , et celles de  $\phi = (2, 3)$  et  $\phi = (3, 2)$  le sont encore moins. Les résultats semblent converger vers des courbes symétriques.

Finalement, il est à noter que la forme en "U" vers laquelle semblent converger les courbes de vraisemblance est inhabituelle. Nous ne retrouvons habituellement pas ce genre de forme de courbe dans les méthodes d'estimation de vraisemblance de paramètres génétiques. Dans le cas d'une courbe parfaitement symétrique (voir le graphique de  $\phi = (1, 1)$ ), cela a l'inconvénient de produire deux estimations. Dans notre cas, la forme en "U" est probablement due au fait que nous avons utilisé un échantillon avec trop peu de séquences et de marqueurs.

#### 5.4.5 Résultats obtenus avec les données "B"

Les données "B" comportent une séquence de plus que les données "A" (trois par rapport à deux), avec le même nombre de marqueurs par séquence. Cela a eu un effet important dans les temps de calculs : cette fois-ci, nous n'avons pu nous rendre qu'à  $\phi = (2, 1)$ . Toutefois, les courbes de vraisemblance semblent converger vers une forme en "U inversé" (voir figure 5.11). C'est également le type de forme de courbe que nous obtenons avec la méthode de Larribe *et al.* (voir la courbe en bleu, qui est la vraisemblance combinée des trois courbes en noir obtenues en simulant à chaque fois 10 000 graphes). En comparant l'estimation du maximum de vraisemblance de notre méthode en utilisant  $\phi = (1, 1)$  avec celle de Larribe *et al.*, nous obtenons des résultats similaires :  $\hat{r}_T = 0,0250000$  cM pour notre méthode par

rapport à 0,0240099 cM pour la méthode de Larribe *et al.*

#### 5.4.6 Résultats obtenus avec les données “C”

Pour les données “C”, rappelons d’abord qu’elles sont tirées de Larribe (2003), à la seule différence que les multiplicités ont toutes été ramenées à un. À la figure 5.12, nous examinons l’effet de cette modification des multiplicités pour la méthode de Larribe *et al.* Nous en profitons également pour examiner l’effet du nombre de graphes produits en comparant les résultats avec ceux obtenus lorsque nous produisons 1000 graphes (plutôt que d’en produire 10 000). Nous réalisons que, pour un changement des multiplicités, de même que pour un changement dans le nombre de graphes produits, les résultats varient peu. L’allure générale de la courbe produite reste la même et l’estimation du maximum de vraisemblance ne varie pas beaucoup.

Examinons maintenant les résultats produits avec notre méthode. Pour les données “C”, nous avons davantage été restreints par les temps de calculs élevés puisqu’elles comportent plus de séquences que les données “B”. Nous avons pu obtenir les graphiques pour des valeurs de  $\phi = (0, 1)$ ,  $\phi = (1, 1)$ ,  $\phi = (1, 2)$  et  $\phi = (2, 1)$  (voir figure 5.13). Notons que les graphiques n’ont pas pu être obtenus pour  $\phi = (0, 0)$  et  $\phi = (1, 0)$  en raison d’une particularité de notre ensemble de données. Puisque nous utilisons un modèle de mutations “Infinite sites” et que nous supposons que le MRCA est une séquence n’ayant aucune mutation, nous pouvons appliquer le test des trois gamètes (Myers et Griffiths, 2003, par exemple). Ce test stipule que pour toute paire de marqueurs, si nous retrouvons les trois types 01, 10 et 11 dans l’échantillon, alors il doit y avoir absolument au moins une recombinaison dans l’intervalle entre ces deux marqueurs. Pour les données “C”, lorsque nous insérons la mutation entre les deux marqueurs de positions connues, nous obtenons les trois types 01, 10 et 11 pour la mutation et le dernier marqueur. Il doit donc absolument y avoir une recombinaison dans le second intervalle.

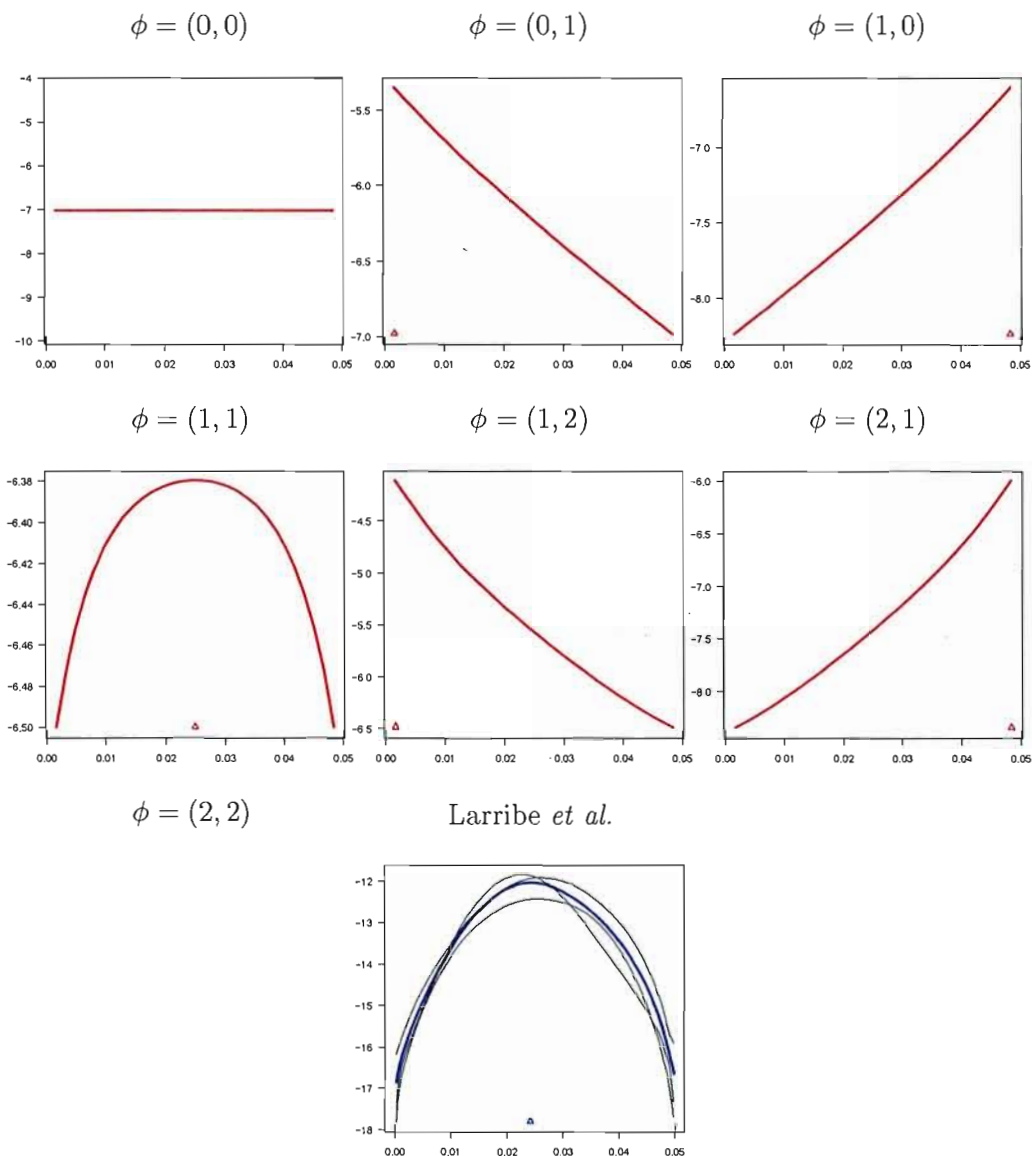
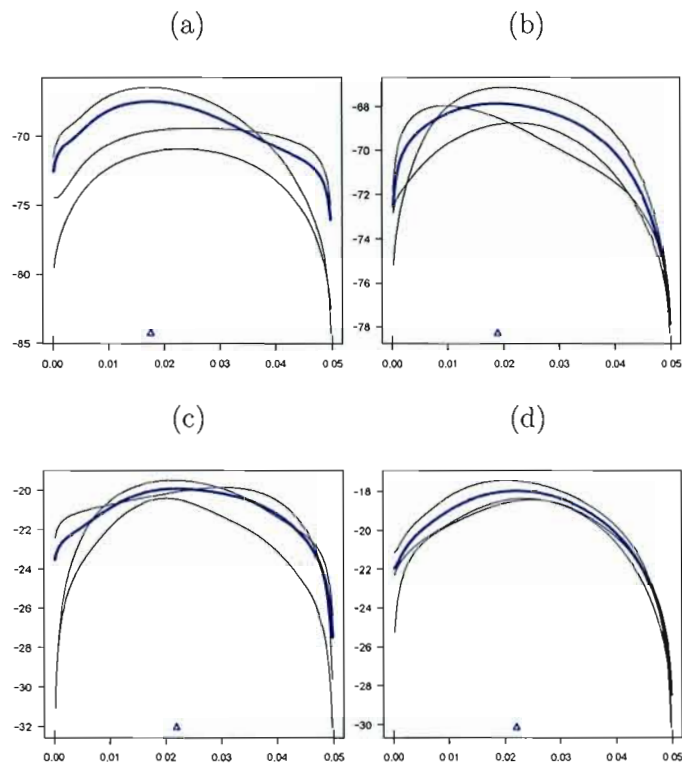
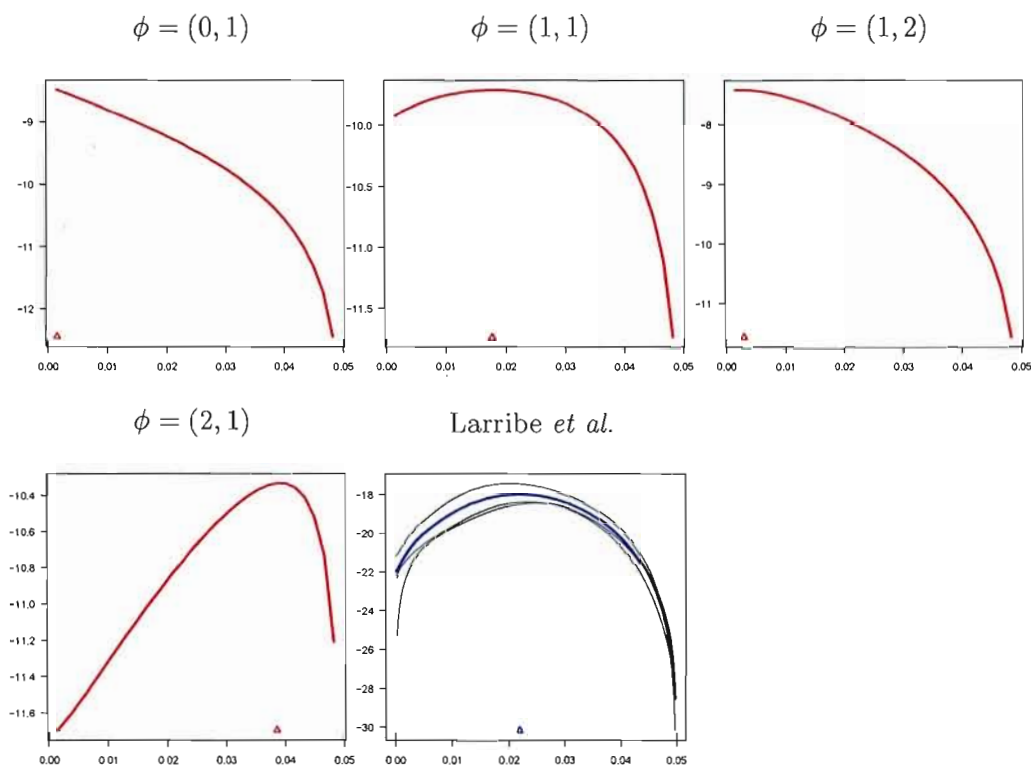


Figure 5.11 Courbes de vraisemblance obtenues pour les données "B" avec la méthode développée en utilisant des valeurs de  $\phi$  de  $(0,0)$ ,  $(0,1)$ ,  $(1,0)$ ,  $(1,1)$ ,  $(1,2)$  et  $(2,1)$  et avec la méthode de Larribe *et al.*

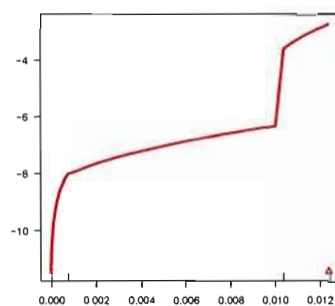


**Figure 5.12** Courbes de vraisemblance obtenues avec la méthode de Larribe *et al.*, en utilisant : (a) les données à l'origine des données "C" et en produisant 1000 graphes, (b) les données à l'origine des données "C" et en produisant 10 000 graphes, (c) les données "C" et en produisant 1000 graphes et (d) les données "C" et en produisant 10 000 graphes.

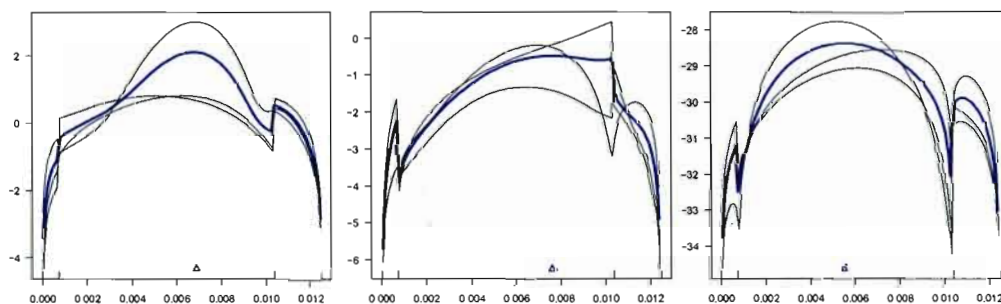


**Figure 5.13** Courbes de vraisemblance obtenues pour les données "C" avec la méthode développée en utilisant des valeurs de  $\phi$  de  $(0,1)$ ,  $(1,1)$ ,  $(1,2)$  et  $(2,1)$  et avec la méthode de Larribe *et al.*

$$\phi = (1, 0)$$



Larribe *et al.* avec  $f = 2$     Larribe *et al.* avec  $f = 3$     Larribe *et al.* avec  $f = 4$



**Figure 5.14** Courbes de vraisemblance obtenues pour les données “D” avec la méthode développée en utilisant  $\phi = (1, 0)$  et avec la méthode de Larribe *et al.* avec des fenêtres de tailles 2, 3 et 4.

Les graphiques de la figure 5.13 montrent un début de progression vers la convergence, qui n’est pas atteinte. La courbe dont la forme ressemble le plus à celle obtenue avec la méthode de Larribe *et al.* (en simulant 10 000 graphes) est celle de  $\phi = (1, 1)$ . Dans ce cas, l’estimé du maximum de vraisemblance est aussi près de celui de la méthode de Larribe *et al.* : 0,01774190 cM par rapport à 0,0220297 cM, respectivement.

#### 5.4.7 Résultats obtenus avec les données “D”

Nous n'avons pu obtenir que le graphique de  $\phi = (1, 0)$  (voir figure 5.14) pour les données “D” qui comportent dix séquences. Cela est dû aux temps de calcul trop élevés et au fait qu'en vertu du test des trois gamètes, nous devons permettre au moins une recombinaison dans le premier intervalle. Pour obtenir le graphique suivant, soit celui pour  $\phi = (1, 1)$ , cela aurait nécessité environ 50 jours de calculs, selon un modèle exponentiel de prévision du temps de calcul. Il est raisonnable de penser que le nombre de recombinaisons permises est trop faible pour  $\phi = (1, 0)$ . Pour les données “A” avec  $\phi = (1, 0)$ , nous étions loin de la convergence et puisque les données “D” contiennent plus de séquences (dix par rapport à deux), nous nous attendons à ce que la convergence nécessite des valeurs de  $\phi$  encore plus élevées. Les résultats obtenus avec les données “D” exposent les limites de notre méthode en soulignant à quel point elle est exigeante au niveau du temps de calcul.

Toutefois, les données “D” sont intéressantes parce qu'elles comportent quatre marqueurs par séquence. Ainsi, pour faire les calculs, nous avons considéré trois fenêtres de deux marqueurs. Nous pouvons d'ailleurs observer sur le graphique de  $\phi = (1, 0)$  que la courbe de vraisemblance a une allure différente dans chacun des intervalles (chacun des intervalles correspond à une des trois fenêtres). À la figure 5.14, il est également intéressant d'observer les différences dans les graphiques de la méthode de Larribe *et al.* (en simulant 10 000 graphes) lorsque nous faisons varier la taille des fenêtres.

## CONCLUSION

La recherche présentée dans ce mémoire avait pour but d'explorer une nouvelle méthode de cartographie génétique fine permettant d'estimer la position d'une mutation causant une maladie génétique simple. Tout comme la méthode de Larribe *et al.* du chapitre IV, il s'agit d'une approche qui utilise la méthode du maximum de vraisemblance et qui fait appel aux équations de récurrence de Griffiths-Tavaré ainsi qu'au processus de coalescence avec recombinaison et mutations. L'idée nouvelle de notre méthode est d'obtenir une estimation quasi exacte de la courbe de vraisemblance sans avoir recours aux simulations. Pour faire les calculs de vraisemblance, nous avons donc considéré toutes les histoires qui relient l'échantillon initial de séquences d'ADN à l'ancêtre commun. Cependant, nous avons dû faire des compromis pour que le temps de calcul demeure raisonnable. Nous avons limité le nombre de recombinaisons permises dans les histoires et nous avons séparé nos données en plusieurs parties appelées fenêtres. Nous avons par la suite regroupé les vraisemblances marginales obtenues pour chacune des fenêtres à l'aide du principe de vraisemblance composite.

La nécessité d'explorer une nouvelle approche était justifiée par certaines difficultés de la méthode de Larribe *et al.* En effet, cette méthode ne fournit pas toujours une estimation valable de la position de la mutation, nécessite des temps de calculs élevés et produit des courbes de vraisemblance qui sont différentes d'une simulation à l'autre. En évitant d'avoir recours aux simulations, nous étions au moins certains d'éviter ce dernier problème.

Nous avons obtenu des résultats intéressants avec notre méthode. Premièrement, les graphiques de la figure 5.10 obtenus avec les données "A" illustrent bien la convergence vers laquelle tendent les courbes de vraisemblance au fur et à mesure que nous augmentons

le nombre maximal de recombinaisons permises. C'est un résultat qui était important à illustrer à l'aide d'un exemple : il faut absolument qu'au-delà d'un certain nombre de recombinaisons, la méthode produise toujours les mêmes courbes de vraisemblance. Dans le cas contraire, nous ne pourrions jamais obtenir les bons résultats en des temps de calculs finis ! Ensuite, la forme de la courbe de vraisemblance obtenue avec la méthode de Larribe *et al.* pour les données "B" et "C" est similaire à notre "meilleure" courbe. De plus, dans les deux cas, les estimations du maximum de vraisemblance sont du même ordre de grandeur. En raison des résultats intéressants que nous avons pu obtenir, nous pensons que notre méthode vaut la peine d'être explorée davantage.

Malheureusement, notre méthode comporte encore un problème de taille : celui des temps de calculs élevés. Nous avons rapidement constaté que la croissance du temps de calcul se fait de façon exponentielle à mesure que nous augmentons le nombre maximal de recombinaisons permises dans les histoires. Les résultats que nous avons obtenus montrent clairement que, même si nous considérons des ensembles de données avec peu de marqueurs et peu de séquences, nous ne pouvons pas permettre autant de recombinaisons que nous le souhaiterions. Cela implique que nous n'avons pas pu effectuer suffisamment de calculs pour obtenir la "bonne" courbe de vraisemblance (ou du moins pour s'assurer que nous avons obtenu la "bonne" courbe).

Afin d'améliorer notre méthode, il est donc nécessaire de réduire les temps de calculs. À cette fin, nous avons des pistes de solution à proposer. Premièrement, le programme informatique C++ permettant d'appliquer notre méthode pourrait être modifié de façon de façon à réduire les temps de calculs. Afin de construire toutes les histoires possibles, nous avons utilisé un algorithme récursif. Malheureusement, la récursion est très coûteuse en temps de calcul. Il serait possible, quoique cela nécessiterait beaucoup de travail, de réécrire l'algorithme qui permet de construire les histoires sans utiliser la récursion. Ensuite, toujours dans le but d'améliorer le programme informatique, il serait intéressant

d'utiliser des tables de calcul. Nous pourrions calculer les vraisemblances pour plusieurs petits échantillons de séquences et sauvegarder les résultats dans ces tables. Par la suite, le programme pourrait les utiliser afin d'éviter d'avoir à refaire les mêmes calculs. Dans un autre ordre d'idées, il serait aussi intéressant de changer la concession qui consiste à limiter le nombre de recombinaisons permises dans les histoires pour une autre concession qui nous permettrait de mieux limiter les temps de calculs. Dans cette optique, nous avons essayé de limiter la longueur des histoires, mais sans obtenir de résultats concluants. Il serait néanmoins possible de faire plusieurs autres tests, surtout si l'algorithme permettant de construire toutes les histoires possibles n'est plus récursif. À titre de suggestion, nous proposons de construire seulement les histoires minimales (comme dans Song et Hein, 2005), c'est-à-dire celles qui comportent exactement le nombre minimal d'évènements de recombinaison.

## APPENDICE A

### PROGRAMME INFORMATIQUE

Je tiens à remercier M. Fabrice Larribe pour m'avoir permis d'utiliser certaines parties du code d'un programme qu'il a écrit en 2004.

#### Déclarations

---

```
1 // Librairies
2 #include <iostream>
3 #include <iterator>
4 #include <deque>
5 #include <math.h>
6 #include <ctime>
7 #include <algorithm>
8 #include <fstream>
9 #include <cstring>
10 #include <string>
11 #include <cstdio>
12 #include <cmath>
13 #include <stdio.h>
14 #include <stdlib.h>
15 #include <time.h>
16
17 using namespace std;
18
19 // Types
20 typedef deque<int> VecI;
21 typedef deque<double> VecD;
22 typedef deque<VecI> VVecI;
23 typedef deque<VecD> VVecD;
```

---

#### Fonctions

---

```
1 // -----
2 // Fonction qui calcule une puissance d'un entier
```

```

3 // -----
4 int puissance(int base, int exposant)
5 {
6     int puissance = 1;
7     for (int i=0 ; i!=exposant ; ++i)
8     {
9         puissance = puissance * base;
10    }
11    return(puissance);
12 }
13
14 //
15 // -----
16 // Fonction qui calcule la somme des composantes d'un vecteur d'entiers
17 // -----
18 double sommeVecI(VecI vecteur)
19 {
20     double sommeVecI = 0;
21     for(int i=0; i!= vecteur.size(); ++i)
22     {
23         sommeVecI = sommeVecI + vecteur[i];
24     }
25     return(sommeVecI);
26 }
27
28 //
29 // -----
30 // Fonction qui calcule la somme des composantes d'un vecteur de doubles
31 // -----
32 double sommeVecD(VecD vecteur)
33 {
34     double sommeVecD = 0;
35     for(int i=0; i!= vecteur.size(); ++i)
36     {
37         sommeVecD = sommeVecD + vecteur[i];
38     }
39     return(sommeVecD);
40 }
41
42 //
43 // -----
44 // Fonction qui écrit un vecteur
45 // -----
46 template <class T>
47 void printV(T VecTmp, char * name)

```

```

48 {
49     typename T::iterator j;
50     cout << name;
51     cout << " [";
52     for(j=VecTmp.begin(); j!=VecTmp.end(); ++j)
53     {
54         cout << " " << *j;
55     }
56     cout << " ] (" << VecTmp.size() << ")\n";
57 }
58
59
60 // -----
61 // Fonction qui écrit une matrice
62 // -----
63 template <class T>
64 void printVV(deque<T> GVecTmp, char * name)
65 {
66     cout << "\" " << name << "\" (Size " << GVecTmp.size() << ")\n";
67     typename deque<T>::iterator it;
68     typename T::iterator jt;
69     unsigned int index = 0;
70     for(it=GVecTmp.begin(); it!=GVecTmp.end(); ++it)
71     {
72         cout << " " << index << ": ";
73         index++;
74         for(jt=(*it).begin(); jt!=(*it).end(); ++jt)
75         {
76             cout << *jt << " ";
77         }
78         cout << "\n";
79     }
80 }
81
82
83 // -----
84 // Fonction qui calcule la variable "alpha"
85 // -----
86 double calculAlpha(VVecI seq, VecI mult)
87 {
88     double alpha;
89     int nbMarqAnc = 0;
90     int nbMarqAncSeq;
91     for (int i=0 ; i!=seq.size() ; ++i)
92     {
93         nbMarqAncSeq = 0;
94         for (int j=0 ; j!=seq[0].size() ; ++j)
95         {
96             if (seq[i][j] == 0 || seq[i][j] == 1 )
97                 nbMarqAncSeq++;
98         }
99         nbMarqAncSeq = nbMarqAncSeq * mult[i];
100         nbMarqAnc = nbMarqAnc + nbMarqAncSeq;

```

```

100     }
101     alpha = nbMarqAnc / (sommeVecI(mult) * seq[0].size());
102     return(alpha);
103 }
104
105
106 // -----
107 // Fonction qui calcule la variable "beta"
108 // -----
109 VecD calculBeta(VVecI seq, VecI mult, VVecD distI)
110 {
111     VecD beta;
112     VecD distAnc;
113     int debut;
114     double temp;
115     int iterateur;
116     double r = sommeVecD(distI[0]);
117     for (int i=0 ; i!=distI.size() ; ++i)
118     {
119         distAnc.push_back(0);
120     }
121     for (int i=0 ; i!=seq.size() ; ++i)
122     {
123         iterateur = 0;
124         debut = -1;
125         while(debut == -1 && iterateur != seq[0].size())
126         {
127             if (seq[i][iterateur] != 9) debut = iterateur;
128             iterateur++;
129         }
130         for (int k=0 ; k!=distI.size() ; ++k)
131         {
132             temp = 0;
133             for (int j=debut; j!=seq[0].size()-1; ++j)
134             {
135                 temp = temp+distI[k][j];
136                 if (seq[i][j+1] == 0 || seq[i][j+1] ==
137                     1)
138                 {
139                     distAnc[k] = distAnc[k]+mult[i]*
140                         temp;
141                     temp = 0;
142                 }
143             }
144         }
145     }
146     beta.push_back(distAnc[i] / (sommeVecI(mult) * r));
147 }
148 return(beta);
149 }
150

```

```

151
152 // -----
153 // Fonction qui convertit un string en un tableau de char
154 // -----
155 char * convertSC(string mot)
156 {
157     char * tmp = new char[mot.length()+0];
158     mot.copy(tmp, mot.length());
159     tmp[mot.length()+0] = 0;
160     return(tmp);
161 }
162
163
164 // -----
165 // Fonction qui lit les paramètres
166 // -----
167 void readParm(string &parFile, int &ne, double &mu, int &nbCan, VecD &
    distI, string &dataFile, int &f, VecI &recMax, int &debug, const
    char* resultats, int &arret)
168 {
169     string buf;
170     ifstream in(parFile.c_str());
171     if (!in )
172     {
173         cerr << "ERROR: Parameter file " << parFile << " could
            not be opened";
174         exit(1);
175     }
176     while(getline(in,buf))
177     {
178         string::const_iterator cp = buf.begin();
179         int cnt = 0;
180         int cas = 0;
181         while(cp != buf.end())
182         {
183             while(*cp == ' ') cp ++;
184             if(*cp )
185             {
186                 cnt++;
187                 string mot;
188                 while(*cp != ' ' && cp != buf.end())
189                 {
190                     mot += *cp;
191                     cp++;
192                 }
193                 if(cnt == 1){
194                     if(mot == "ne")
195                         cas = 1;
196                     if(mot == "mu")
197                         cas = 2;
198                     if(mot == "nbCan")
199                         cas = 3;
200                     if(mot == "distI")
201                         cas = 4;
202                     if(mot == "dataFile")
203                         cas = 5;
204                     if(mot == "f")

```

```

200         cas = 6;
201         if(mot == "recMax")      cas = 7;
202         if(mot == "arret")
203             cas = 8;
204
205         if(cas == 0)
206             {
207                 cerr << "Wrong parameter
208                     : " << mot << "." <<
209                     endl;
210             }
211         if(cnt > 1)
212             {
213                 if(cas == 1) ne = atoi(mot.c_str());
214                 if(cas == 2) mu = (double) atof(mot.c_str());
215                 if(cas == 3) nbCan = atoi(mot.c_str());
216                 if(cas == 4) distI.push_back((double) atof(mot.c_str(
217                     ( ))));
218                 if(cas == 5) dataFile = convertSC(mot);
219                 if(cas == 6) f = atoi(mot.c_str(
220                     ( )));
221                 if(cas == 7) recMax.push_back(
222                     atoi(mot.c_str()));
223                 if(cas == 8) arret = atoi(mot.
224                     c_str());
225             }
226     }
227 }
228
229 if (debug > 0)
230     {
231         cout << "LECTURE DU FICHIER DE PARAMETRES \" << parFile
232             << "\" << endl;
233         cout << "[ ne = " << ne << " ] [ mu = " << mu << " ] [
234             nbCan = " << nbCan
235             << " ] [ dataFile = " << dataFile << "
236             ] [ f = " << f << " ] [ arret = "
237             << arret << " ] ";
238         printV(distI,"distI"); printV(recMax,"recMax");
239     }
240 }
241
242 // -----
243 // Fonction qui lit les données
244 // -----
245 VVecI readData(int debug, string dataFile)
246 {
247     // Le fichier de données doit avoir n_i dans la première colonne, le
248     // cas de contrôle (0) ou de status (1) dans la deuxième colonne
249     // et finalement les haplotypes.

```

```

240     VVecI yRead;
241     string buf;
242     if (debug > 1) cout << "\nLECTURE DU FICHER DE DONNEES \n";
243     ifstream in(dataFile.c_str());
244     if (!in )
245     {
246         cerr << "ERROR: Data file " << dataFile << " could not be opened
247         ";
248         exit(1);
249     }
250     while(getline(in,buf))
251     {
252         string::const_iterator cp = buf.begin();
253         int cnt = 0;
254         VecI VHaplo;
255         while(cp != buf.end())
256         {
257             while(*cp == ' ') cp ++;
258             if(*cp )
259             {
260                 cnt++;
261                 string mot;
262                 int number;
263                 while(*cp != ' ' && cp != buf.end())
264                 {
265                     mot += *cp;
266                     cp++;
267                 }
268                 if(mot == "-") mot = "-1";
269                 number = atoi(mot.c_str());
270                 VHaplo.push_back(atoi( mot.c_str() ));
271             }
272             yRead.push_back(VHaplo);
273         }
274         if (debug > 1) printVV(yRead,"yRead");
275         return(yRead);
276     }
277
278
279 // -----
280 // Fonction qui construit tHap
281 // -----
282 VVecI tHapFct;
283 VVecI tabHap(int l, VecI seq)
284 {
285     VVecI bidon2;
286     VecI seq1;
287     VecI seq2;
288     VecI seq3;
289     seq1.assign(seq.begin(),seq.end());
290     seq2.assign(seq.begin(),seq.end());
291     seq3.assign(seq.begin(),seq.end());

```

```

292     seq1.push_back(0);
293     seq2.push_back(1);
294     seq3.push_back(9);
295     if (l>1) bidon2 = tabHap(l-1,seq1);
296     if (l>1) bidon2 = tabHap(l-1,seq2);
297     if (l>1) bidon2 = tabHap(l-1,seq3);
298     if (l == 1) tHapFct.push_back(seq1);
299     if (l == 1) tHapFct.push_back(seq2);
300     if (l == 1) tHapFct.push_back(seq3);
301     return(tHapFct);
302 }
303
304
305 //
-----
306 // Fonction qui retourne le numéro de la séquence engendrée par une
307 // coalescence distincte
-----

308 int coaDi(int i, int j, VVecI tHap)
309 {
310     int coa = -10;
311     VecI nouvSeq;
312     bool possible = true;
313     for (int im=0 ; im!=tHap[0].size() ; ++im)
314     {
315         if ( (tHap[i][im] != tHap[j][im]) && (tHap[i][im] != 9
316             && tHap[j][im] != 9) ) possible = false;
317     }
318     if(possible == false) coa = -1;
319     if(possible == true)
320     {
321         // Création de la nouvelle séquence
322         for (int im=0 ; im!=tHap[0].size() ; ++im)
323         {
324             if(tHap[i][im] == 0 || tHap[j][im] == 0)
325                 nouvSeq.push_back(0);
326             if(tHap[i][im] == 1 || tHap[j][im] == 1)
327                 nouvSeq.push_back(1);
328             if(tHap[i][im] == 9 && tHap[j][im] == 9)
329                 nouvSeq.push_back(9);
330         }
331         // Identification de la nouvelle séquence
332         for (int im=0 ; im!=tHap.size(); ++im)
333         {
334             int compVrai = 0;
335             for (int c=0 ; c!=tHap[0].size() ; ++c)
336             {
337                 if (nouvSeq[c] == tHap[im][c]) compVrai
338                     = compVrai + 1;
339             }
340         }
341     }
342 }

```

```

338             if (compVrai == tHap[0].size()) coa = im;
339         }
340     }
341     return(coa);
342 }
343
344
345 //
-----
346 // Fonction qui construit la matrice triangulaire des coalescences
    distinctes
347 //
-----

348 VVecI matCoaDi(VVecI tHap)
349 {
350     VVecI tCoaFct;
351     VecI tCoaFctInt;
352     int coa;
353     int fin;
354     fin = puissance(3,tHap[0].size())-1;
355     for (int i=0; i!=fin; ++i)
356     {
357         for (int j=0; j!=i; ++j)
358         {
359             coa = coaDi(i,j,tHap);
360             tCoaFctInt.push_back(coa);
361         }
362         tCoaFct.push_back(tCoaFctInt);
363         tCoaFctInt.clear();
364     }
365     return(tCoaFct);
366 }
367
368
369 //
-----

370 // Fonction qui retourne le numéro de la séquence engendrée par une
    mutation
371 //
-----

372 int mutDi(int i, int j, VVecI tHap)
373 {
374     int mut = -10;
375     VecI nouvSeqMut;
376     bool possibleMut = true;
377     if ( (tHap[i][j] == 9) || (tHap[i][j] == 0) ) possibleMut =
        false;
378     if(possibleMut == false) mut = -1;
379     .if(possibleMut == true)

```

```

380     {
381         // Création de la nouvelle séquence
382         nouvSeqMut.assign(tHap[i].begin(),tHap[i].end());
383         nouvSeqMut[j] = 0;
384         // Identification de la nouvelle séquence
385         for (int im=0 ; im!=tHap.size(); ++im)
386         {
387             int compVrai = 0;
388             for (int c=0 ; c!=tHap[0].size() ; ++c)
389             {
390                 if (nouvSeqMut[c] == tHap[im][c]) compVrai =
                    compVrai + 1;
391             }
392             if (compVrai == tHap[0].size()) mut = im;
393         }
394     }
395     return(mut);
396 }
397
398
399 // -----
400 // Fonction qui construit la matrice des mutations
401 // -----
402 VVecI matMutDi(VVecI tHap)
403 {
404     VVecI tMutFct;
405     VecI tMutFctInt;
406     int mut;
407     int finMut;
408     finMut = puissance(3,tHap[0].size())-1;
409     for (int i=0; i!=finMut; ++i)
410     {
411         for (int j=0; j!=tHap[0].size(); ++j)
412         {
413             mut = mutDi(i,j,tHap);
414             tMutFctInt.push_back(mut);
415         }
416         tMutFct.push_back(tMutFctInt);
417         tMutFctInt.clear();
418     }
419     return(tMutFct);
420 }
421
422
423 // -----
424 // Fonction qui retourne le numéro de la séquence engendrée par une
    recombinaison
425 // -----
426 int recDi(int i, int j, char * bord, VVecI tHap)

```

```

427 {
428     int rec = -10;
429     VecI nouvSeqRec;
430     bool possibleRec = true;
431     // Première vérification pour voir si une recombinaison est
         possible
432     int compteur1 = 0;
433     for (int im=0 ; im!=j ; ++im)
434     {
435         if (tHap[i][im] == 9)
436             compteur1 = compteur1 + 1;
437     }
438     if (compteur1 == j) possibleRec = false;
439     // Seconde vérification pour voir si une recombinaison est
         possible
440     int compteur2 = 0;
441     for (int im=j ; im!=tHap[0].size() ; ++im)
442     {
443         if (tHap[i][im] == 9)
444             compteur2 = compteur2 + 1;
445     }
446     if (compteur2 == (tHap[0].size()-j)) possibleRec = false;
447     if(possibleRec == false) rec = -1;
448     if(possibleRec == true)
449     {
450         if (bord == "g")
451         {
452             // Création de la nouvelle séquence gauche
453             nouvSeqRec.assign(tHap[i].begin(),tHap[i].end())
454             ;
455             for (int im=j ; im!=tHap[0].size() ; ++im)
456             {
457                 nouvSeqRec[im] = 9;
458             }
459         }
460         if (bord == "d")
461         {
462             // Création de la nouvelle séquence droite
463             nouvSeqRec.assign(tHap[i].begin(),tHap[i].end())
464             ;
465             for (int im=0 ; im!=j ; ++im)
466             {
467                 nouvSeqRec[im] = 9;
468             }
469         }
470         // Identification de la nouvelle séquence
471         for (int im=0 ; im!=tHap.size(); ++im)
472         {
473             int compVrai = 0;
474             for (int c=0 ; c!=tHap[0].size() ; ++c)
475             {
476                 if (nouvSeqRec[c] == tHap[im][c])
477                     compVrai = compVrai + 1;

```

```

475         }
476         if (compVrai == tHap[0].size()) rec = im;
477     }
478 }
479 return(rec);
480 }
481
482
483 // -----
484 // Fonction qui construit la matrice des recombinaisons
485 // -----
486 VVecI matRecDi(char * bord, VVecI tHap)
487 {
488     VVecI tRecFct;
489     VecI tRecFctInt;
490     int rec;
491     int finRec = puissance(3,tHap[0].size())-1;
492     for (int i=0; i!=finRec; ++i)
493     {
494         for (int j=1; j!=tHap[0].size(); ++j)
495         {
496             rec = recDi(i,j,bord,tHap);
497             tRecFctInt.push_back(rec);
498         }
499         tRecFct.push_back(tRecFctInt);
500         tRecFctInt.clear();
501     }
502     return(tRecFct);
503 }
504
505
506 // -----
507 // Fonction qui identifie les numéros des séquences
508 // -----
509 VecI idSeq(VVecI seq, VVecI tHap)
510 {
511     VecI seqNum;
512     int numSeq;
513     for (int i=0 ; i!=seq.size() ; ++i)
514     {
515         for (int im=0 ; im!=tHap.size(); ++im)
516         {
517             int compVrai = 0;
518             for (int c=0 ; c!=tHap[0].size() ; ++c)
519             {
520                 if (seq[i][c] == tHap[im][c]) compVrai =
                    compVrai + 1;
521             }
522             if (compVrai == tHap[0].size())
523             {
524                 numSeq = im;
525                 seqNum.push_back(numSeq);
526             }

```

```

527         }
528     }
529     return(seqNum);
530 }
531
532
533 // -----
534 // Fonction qui construit la liste des évènements
535 // -----
536 VVecD listeEv(VVecI seq, VecI seqNum, VecI recMax, VecI mult, VVecD
    distI, double alpha, VecD beta, double r, double theta, double rho,
    VVecI tCoa, VVecI tMut, VVecI tRecG, VVecI tRecD, int f)
537 {
538     VecD listeFeed;
539     VVecD liste;
540     VecD prob;
541
542     // Coalescences identiques
543     for (int i=0; i!=mult.size(); ++i)
544     {
545         if (mult[i]>1)
546         {
547             listeFeed.push_back(1);
548             listeFeed.push_back(i);
549             for (int k=0 ; k!=distI.size() ; ++k)
550             {
551                 prob.push_back((mult[i]-1)/(sommeVecI(
                    mult)-1+alpha*theta+beta[k]*rho));
552             }
553             for (int k=0 ; k!=distI.size() ; ++k)
554             {
555                 listeFeed.push_back(prob[k]);
556             }
557             prob.clear();
558             liste.push_back(listeFeed);
559             listeFeed.clear();
560         }
561     }
562
563     // Coalescences distinctes
564     for (int i=0; i!=seqNum.size(); ++i)
565     {
566         for (int j=i+1; j!=seqNum.size(); ++j)
567         {
568             if (tCoa [max (seqNum [i], seqNum [j])] [min (seqNum [i],
                    seqNum [j])] >= 0)
569             {
570                 listeFeed.push_back(2);
571                 listeFeed.push_back(i);
572                 listeFeed.push_back(j);
573                 listeFeed.push_back(tCoa [max (seqNum [i],
                    seqNum [j])] [min (seqNum [i], seqNum [j])
                    ]);

```

```

574 // n_k
575 int nkC = 0;
576 for (int k=0; k!=seqNum.size(); ++k)
577 {
578     if (seqNum[k] == tCoa[max(seqNum
579                             [i], seqNum[j])][min(seqNum[i]
580                             ], seqNum[j])])
581         nkC = mult[k];
582 }
583 // delta
584 int delta = 0;
585 if (seqNum[i] == tCoa[max(seqNum[i],
586                             seqNum[j])][min(seqNum[i], seqNum[j]
587                             )])
588     delta = delta+1;
589 if (seqNum[j] == tCoa[max(seqNum[i],
590                             seqNum[j])][min(seqNum[i], seqNum[j]
591                             )])
592     delta = delta+1;
593 for (int k=0 ; k!=distI.size() ; ++k)
594 {
595     prob.push_back((2*(nkC+1-delta))
596                   /(sommeVecI(mult)-1+alpha*
597                   theta+beta[k]*rho));
598 }
599 for (int k=0 ; k!=distI.size() ; ++k)
600 {
601     listeFeed.push_back(prob[k]);
602 }
603 prob.clear();
604 liste.push_back(listeFeed);
605 listeFeed.clear();
606 }
607 }
608 // Mutations
609 for (int j=0 ; j!=f; ++j)
610 {
611     int mutCompt = 0;
612     int position_i = 0;
613     int position_j = 0;
614     for (int i=0; i!= seq.size(); ++i)
615     {
616         if (seq[i][j] == 1)
617         {
618             position_i = i;
619             position_j = j;
620             mutCompt = mutCompt + mult[i];
621         }
622     }
623     if (mutCompt == 1)
624     {

```

```

619         listeFeed.push_back(3);
620         listeFeed.push_back(position_i);
621         listeFeed.push_back(tMut[seqNum[position_i]][
           position_j]);
622         // n_j
623         int njM = 0;
624         for (int k=0; k!=seqNum.size(); ++k)
625         {
626             if (seqNum[k] == tMut[seqNum[position_i]
627                ][position_j])
628                 njM = mult[k];
629         }
630         for (int k=0 ; k!=distI.size() ; ++k)
631         {
632             prob.push_back((theta*(njM+1))/((
633                 sommeVecI(mult)*f)*(sommeVecI(mult)
634                 -1+alpha*theta+beta[k]*rho)));
635         }
636         for (int k=0 ; k!=distI.size() ; ++k)
637         {
638             listeFeed.push_back(prob[k]);
639         }
640         prob.clear();
641         liste.push_back(listeFeed);
642         listeFeed.clear();
643     }
644 }
645 // Recombinaisons
646 for (int i=0; i!=seqNum.size(); ++i)
647 {
648     for(int j=0; j!=(f-1); ++j)
649     {
650         if (tRecD[seqNum[i]][j]!=-1 && recMax[j]>=1)
651         {
652             listeFeed.push_back(4);
653             listeFeed.push_back(i);
654             listeFeed.push_back(tRecD[seqNum[i]][j])
655             ;
656             listeFeed.push_back(tRecG[seqNum[i]][j])
657             ;
658             listeFeed.push_back(j);
659             // n_j
660             int njR = 0;
661             for (int k=0; k!=seqNum.size(); ++k)
662             {
663                 if (seqNum[k] == tRecG[i][j])
664                     njR = mult[k];
665             }
666             // n_k
667             int nkR = 0;
668             for (int k=0; k!=seqNum.size(); ++k)
669             {

```

```

666         if (seqNum[k] == tRecD[i][j])
667             nkR = mult[k];
668     }
669     for (int k=0 ; k!=distI.size() ; ++k)
670     {
671         prob.push_back((rho*(njR+1)*(nkR
672             +1)*distI[k][j])/((sommeVecI
673             (mult)*(sommeVecI(mult)+1))
674             *(sommeVecI(mult)-1+alpha*
675             theta+beta[k]*rho)*r));
676     }
677     for (int k=0 ; k!=distI.size() ; ++k)
678     {
679         listeFeed.push_back(prob[k]);
680     }
681     prob.clear();
682     liste.push_back(listeFeed);
683     listeFeed.clear();
684 }
685 }
686 return(liste);
687 }
688 //
689 // -----
690 // Fonction récursive qui parcourt tous les chemins possibles
691 // -----
692 int compteur1 = 0;
693 int compteur2 = 0;
694 int saut = 1000000;
695 VecD recurs(VVecI seq, VecI seqNum, VecI recMax, VecI mult, VVecD distI,
696     double alpha, VecD beta, double r, double theta, double rho, VVecI
697     tHap, VVecI tCoa, VVecI tMut, VVecI tRecG, VVecI tRecD, int f, int
698     debug, const char* resultats, int step, int arret)
699 {
700     bool nouvSeq1 = true;
701     bool nouvSeq2 = true;
702     bool nouvSeq3 = true;
703     bool nouvSeq4 = true;
704     VecI seqInt2;
705     int efface = 0;
706
707     VVecD liste;
708     VecD prob;
709     VecD probTotale_i;
710     VecD probTotale;
711     VecD uneLigne;

```

```

708     VVecI seq_p;
709     VecI seqNum_p;
710     VecI recMax_p;
711     VecI mult_p;
712     double alpha_p;
713     VecD beta_p;
714     VecD contRekurs;
715
716     for (int i=0 ; i!=distI.size() ; ++i)
717     {
718         probTotale.push_back(0);
719     }
720
721     liste = listeEv(seq,seqNum,recMax,mult,distI,alpha,beta,r,theta,
722                 rho,tCoa,tMut,tRecG,tRecD,f);
723
724     if (sommeVecI(mult) == 1 && seqNum[0] == 0)
725     {
726         cout << "\nLes données correspondent à l'ancêtre commun
727             .\n\n";
728     }
729     else if (liste.size() == 0)
730     {
731         if (debug>1)
732         {
733             cout << "\nAucun evenement possible\n\n";
734             printV(probTotale,"probTotale");
735         }
736     }
737     else
738     {
739         for (int i=0 ; i!=liste.size() ; ++i)
740         {
741             seq_p.assign(seq.begin(),seq.end());
742             seqNum_p.assign(seqNum.begin(),seqNum.end());
743             recMax_p.assign(recMax.begin(),recMax.end());
744             mult_p.assign(mult.begin(),mult.end());
745             alpha_p = alpha;
746             beta_p.assign(beta.begin(),beta.end());
747
748             uneLigne = liste[i];
749
750             compteur1++;
751             if (debug>0 && compteur1 == saut)
752             {
753                 compteur1 = 0;
754                 compteur2++;
755                 cout << compteur2 << " ";
756             }
757
758             if (debug>1)

```

```

759     {
760         cout << "\nTRACES DU PROGRAMME RECURSIF
              (étape: " << step << ")\n";
761         printV(seqNum_p, "seqNum_p");
762         printV(mult_p, "mult_p");
763         printVV(seq_p, "seq_p");
764         cout << "alpha_p: " << alpha_p << "\n";
765         printV(beta_p, "beta_p");
766         printV(recMax, "recMax");
767         printVV(liste, "liste");
768     }
769
770     // Changer les paramètres variables et trouver "
              prob"
771
772     // Coalescence identique
773     if(uneLigne[0] == 1)
774     {
775         mult_p[(int) uneLigne[1]] = mult_p[(int)
              uneLigne[1]] - 1;
776         for (int j=0 ; j!=distI.size() ; ++j)
777         {
778             prob[j] = uneLigne[j+2];
779         }
780     }
781
782     // Coalescence distincte
783     if(uneLigne[0] == 2)
784     {
785         // Rajouter la séquence produite
786         for (int i=0 ; i!=seqNum_p.size() ; ++i)
787         {
788             if (seqNum_p[i] == uneLigne[3])
789             {
790                 mult_p[i] = mult_p[i] +
              1;
              nouvSeq1 = false;
791             }
792         }
793
794         if (nouvSeq1)
795         {
796             seqNum_p.push_back((int)
              uneLigne[3]);
797             mult_p.push_back(1);
798             for (int ii=0; ii!=f; ii++)
799             {
800                 seqInt2.push_back(tHap[(
              int) uneLigne[3]][ii
              ]);
801             }
802             seq_p.push_back(seqInt2);
803             seqInt2.clear();
804

```

```

805     }
806     nouvSeq1 = true;
807
808     // Diminuer la multiplicité de un pour
809     // la première séquence utilisée
810     mult_p[(int) uneLigne[1]] = mult_p[(int)
811     uneLigne[1]] - 1;
812
813     // Enlever la séquence s'il n'y en a
814     // plus
815     if (mult_p[(int) uneLigne[1]] == 0)
816     {
817         seqNum_p.erase(seqNum_p.begin()
818         + (int) uneLigne[1]);
819         mult_p.erase(mult_p.begin() + (
820         int) uneLigne[1]);
821         seq_p.erase(seq_p.begin() + (int)
822         uneLigne[1]);
823         efface = efface + 1;
824     }
825
826     // Diminuer la multiplicité de un pour
827     // la seconde séquence utilisée
828     mult_p[(int) uneLigne[2] - efface] =
829     mult_p[(int) uneLigne[2] - efface] -
830     1;
831
832     // Enlever la séquence s'il n'y en a
833     // plus
834     if (mult_p[(int) uneLigne[2] - efface]
835     == 0)
836     {
837         seqNum_p.erase(seqNum_p.begin()
838         + (int) uneLigne[2] - efface
839         );
840         mult_p.erase(mult_p.begin() + (
841         int) uneLigne[2] - efface);
842         seq_p.erase(seq_p.begin() + (int)
843         uneLigne[2] - efface);
844     }
845
846     efface = 0;
847
848     for (int j=0 ; j!=distI.size() ; ++j)
849     {
850         prob[j] = uneLigne[j+4];
851     }
852 }
853
854 // Mutation
855 if(uneLigne[0] == 3)
856 {

```

```

843 // Rajouter la séquence produite
844 for (int i=0 ; i!=seqNum_p.size() ; ++i)
845 {
846     if (seqNum_p[i] == uneLigne[2])
847         // si la séquence produite
848         // existe déjà
849     {
850         mult_p[i] = mult_p[i] +
851             1;
852         nouvSeq2 = false;
853     }
854 }
855
856 if (nouvSeq2) // si la séquence produite
857 // n'existe pas encore
858 {
859     seqNum_p.push_back((int)
860         uneLigne[2]);
861     mult_p.push_back(1);
862     for (int ii=0; ii!=f; ii++)
863     {
864         seqInt2.push_back(tHap[(
865             int) uneLigne[2]][ii
866             ]);
867     }
868     seq_p.push_back(seqInt2);
869     seqInt2.clear();
870 }
871 nouvSeq2 = true;
872
873 // Enlever la séquence qui mute
874 seqNum_p.erase(seqNum_p.begin() + (int)
875     uneLigne[1]);
876 mult_p.erase(mult_p.begin() + (int)
877     uneLigne[1]);
878 seq_p.erase(seq_p.begin() + (int)
879     uneLigne[1]);
880
881 for (int j=0 ; j!=distI.size() ; ++j)
882 {
883     prob[j] = uneLigne[j+3];
884 }
885
886 // Recombinaison
887 if(uneLigne[0] == 4)
888 {
889     // Rajouter la première séquence
890     // produite
891     for (int i=0 ; i!=seqNum_p.size() ; ++i)
892     {
893         if (seqNum_p[i] == uneLigne[2])
894         {

```

```

885             mult_p[i] = mult_p[i] +
886                 1;
887             nouvSeq3 = false;
888         }
889     }
890     if (nouvSeq3)
891     {
892         seqNum_p.push_back((int)
893             uneLigne[2]);
894         mult_p.push_back(1);
895         for (int ii=0; ii!=f; ii++)
896         {
897             seqInt2.push_back(tHap[(
898                 int) uneLigne[2]][ii
899                 ]);
900         }
901         seq_p.push_back(seqInt2);
902         seqInt2.clear();
903     }
904     nouvSeq3 = true;
905     // Rajouter la deuxième séquence
906     // produite
907     for (int i=0 ; i!=seqNum_p.size() ; ++i)
908     {
909         if (seqNum_p[i] == uneLigne[3])
910         {
911             mult_p[i] = mult_p[i] +
912                 1;
913             nouvSeq4 = false;
914         }
915     }
916     if (nouvSeq4)
917     {
918         seqNum_p.push_back((int)
919             uneLigne[3]);
920         mult_p.push_back(1);
921         for (int ii=0; ii!=f; ii++)
922         {
923             seqInt2.push_back(tHap[(
924                 int) uneLigne[3]][ii
925                 ]);
926         }
927         seq_p.push_back(seqInt2);
928         seqInt2.clear();
929     }
930     nouvSeq4 = true;
931     // Diminuer la multiplicité de la
932     // séquence utilisée de un
933     mult_p[(int) uneLigne[1]] = mult_p[(int)

```

```

928         uneLigne[1]] - 1;
929         // Enlever la séquence s'il n'y en a
930         plus
931         if (mult_p[(int) uneLigne[1]] == 0)
932         {
933             seqNum_p.erase(seqNum_p.begin()
934                 + (int) uneLigne[1]);
935             mult_p.erase(mult_p.begin() + (
936                 int) uneLigne[1]);
937             seq_p.erase(seq_p.begin() + (int
938                 ) uneLigne[1]);
939         }
940         // Modifier le vecteur recMax_p
941         recMax_p[(int) uneLigne[4]] = recMax_p[(
942             int) uneLigne[4]] - 1;
943
944         for (int j=0 ; j!=distI.size() ; ++j)
945         {
946             prob[j] = uneLigne[j+5];
947         }
948     }
949
950     // Calcul des paramètres "alpha_p" et "beta_p"
951     alpha_p = calculAlpha(seq_p,mult_p);
952     beta_p = calculBeta(seq_p,mult_p,distI);
953
954     if (step >= arret)
955     {
956         for (int j=0 ; j!=distI.size() ; ++j)
957         {
958             probTotale_i[j] = 0;
959         }
960     }
961     else if (sommeVecI(mult_p) == 1 && seqNum_p[0]
962         == 0)
963     {
964         for (int j=0 ; j!=distI.size() ; ++j)
965         {
966             probTotale_i[j] = prob[j];
967         }
968     }
969     else
970     {
971         contRekurs = recurs(seq_p,seqNum_p,
972             recMax_p,mult_p,distI,alpha_p,beta_p
973             ,r,theta,rho,tHap,tCoa,tMut,tRecG,
974             tRecD,f,debug,resultats,step+1,arret
975             );
976         for (int j=0 ; j!=distI.size() ; ++j)

```

```

970         {
971             probTotale_i[j] = prob[j] *
                    contRekurs[j];
972         }
973     }
974
975     for (int j=0 ; j!=distI.size() ; ++j)
976     {
977         probTotale[j] = probTotale[j] +
                    probTotale_i[j];
978     }
979
980     if (debug>1)
981     {
982         cout << "\n";
983         printV(probTotale, "probTotale");
984     }
985     }
986 }
987 return(probTotale);
988 }
989
990
991 //
-----
992 // Fonction qui calcule le vecteur de vraisemblance totale
993 //
-----

994 VVecD vraisTot(int ne, int nbCan, VecD distI, int f, VecI recMax,
995 VVecI tHap1, VVecI tHap2, VVecI tCoa1, VVecI tCoa2, VVecI tMut1,
996 VVecI tMut2, VVecI tRecG1, VVecI tRecG2, VVecI tRecD1, VVecI tRecD2,
997 double theta, VecD beta, double alpha,
998 VVecI donnees, VecI mult, VecI malade, VVecI hap,
999 int debug, const char* resultats, int step, int arret)
1000 {
1001     VecD vrSansMutEnt;
1002     VecD vrAvecMutEnt;
1003     VecD vrMutFeed2;
1004     VecD vrMutFeed;
1005     VVecD vrSansMut;
1006     VVecD vrAvecMut;
1007     VVecD vrMut;
1008     VecI seqInt;
1009
1010     VVecI seq;
1011     VecI seqNum;
1012     VecI nbSeqNum;
1013     int valeurSeq;
1014     VecI seqNumMod;
1015     VecI multMod;
1016     VVecI seqMod;

```

```

1017
1018     VVecI seq2;
1019     VecI seqNum2;
1020     VecI nbSeqNum2;
1021     int valeurSeq2;
1022     VecI seqNumMod2;
1023     VecI multMod2;
1024     VVecI seqMod2;
1025
1026     double r;
1027     double rho;
1028     VecD distI2Feed;
1029     VVecD distI2;
1030     VecD distImTemp;
1031     VVecD distIm;
1032     VecD invPoids;
1033     VecI seqModFeed;
1034
1035
1036     // Initialisation des vecteurs de vraisemblance;
1037     for (int i=0 ; i!=hap[0].size()-1 ; ++i)
1038     {
1039         vrMutFeed2.push_back(1);
1040     }
1041
1042     vrSansMut.push_back(vrMutFeed2);
1043
1044     for (int z=0 ; z!=nbCan ; ++z)
1045     {
1046         vrAvecMut.push_back(vrMutFeed2);
1047     }
1048
1049     // Définition du vecteur donnant le nombre de fenêtres qui
1050     // recoupent chacun des (L-2) intervalles
1051     for (int intervalle=0 ; intervalle!=hap[0].size()-1 ; ++
1052         intervalle)
1053     {
1054         invPoids.push_back(0);
1055     }
1056
1057     for (int i=0 ; i!=hap[0].size()+1-f; ++i) // Pour chaque fenêtre
1058     --- N.B.: L=hap[0].size()+1
1059     {
1060         for (int l=i ; l!=i+f-1 ; ++l) // Pour les intervalles
1061         correspondant à la fenêtre choisie
1062         {
1063             invPoids[l] = invPoids[l] + 1;
1064         }
1065     }
1066
1067     if (debug>1)
1068     {
1069         cout << "\nPARAMETRES INITIAUX \n";

```

```

1066         printV(distI, "distI");
1067         printVV(vrSansMut, "vrSansMut");
1068         printVV(vrAvecMut, "vrAvecMut");
1069         printV(invPoids, "invPoids");
1070     }
1071
1072     for (int i=0 ; i!=hap[0].size()+1-f; ++i) // Pour chaque fenêtre
        --- N.B.: L=hap[0].size()+1
1073     {
1074         for (int j=0 ; j!=donnees.size() ; ++j) // Pour chaque
            séquence
1075         {
1076             for (int l=i ; l!=i+f ; ++l) // Pour les
                positions correspondant à la fenêtre choisie
1077             {
1078                 seqInt.push_back(hap[j][l]);
1079             }
1080
1081             seq.push_back(seqInt); // Construction de "seq"
1082             seqInt.clear();
1083         }
1084
1085         seqNum = idSeq(seq, tHap1); // Construction de "
            seqNum"
1086
1087         // Initialisation du vecteur contenant le nombre de
            numéro de séquences
1088         for (int ii=0; ii!=puissance(f,3)-1; ++ii)
1089         {
1090             nbSeqNum.push_back(0);
1091         }
1092
1093         // Calcul de la multiplicité de chaque numéro de
            séquence
1094         for (int ii=0; ii!=seqNum.size(); ++ii)
1095         {
1096             valeurSeq = seqNum[ii];
1097             nbSeqNum[valeurSeq] = nbSeqNum[valeurSeq] + mult
                [ii];
1098         }
1099
1100         for (int ii=0; ii!=puissance(f,3)-1; ++ii)
1101         {
1102             if (nbSeqNum[ii] != 0)
1103             {
1104                 seqNumMod.push_back(ii); //
                    Construction de "seqNumMod"
1105                 multMod.push_back(nbSeqNum[ii]); //
                    Construction de "multMod"
1106             }
1107         }
1108
1109         for (int ii=0; ii!=seqNumMod.size(); ++ii)

```

```

1110     {
1111         seqMod.push_back(tHap1[seqNumMod[ii]]);
1112     }
1113
1114     // Modifier distI
1115     for (int s=i ; s!=i+f-1 ; ++s)
1116     {
1117         distI2Feed.push_back(distI[s]);
1118     }
1119     distI2.push_back(distI2Feed);
1120     distI2Feed.clear();
1121
1122     // Calcul de r et de rho
1123     r = sommeVecD(distI2[0]);
1124     rho = 4 * ne * r;
1125
1126     if (debug>0)
1127     {
1128         cout << "\nPARAMETRES POUR LA FENETRE " << i <<
1129             " (SANS LA MUTATION) \n";
1130     }
1131
1132     if (debug>1)
1133     {
1134         printV(nbSeqNum,"nbSeqNum");
1135         printV(seqNumMod,"seqNumMod");
1136         printV(multMod,"multMod");
1137         printVV(seq,"seq");
1138         printVV(seqMod,"seqMod");
1139         printV(seqNum,"seqNum");
1140         printVV(distI2,"distI2");
1141         cout << "r = " << r << "\n";
1142         cout << "rho = " << rho << "\n";
1143     }
1144     vrSansMutEnt = recurs(seqMod,seqNumMod,recMax,multMod,
1145         distI2,alpha,beta,r,theta,
1146         rho,tHap1,
1147         tCoa1,
1148         tMut1,
1149         tRecG1,
1150         tRecD1,f,
1151         debug,
1152         resultats,
1153         step,arret
1154     );
1155
1156     if (debug>0)
1157     {
1158         cout << "\nNombre total d'evenements: " <<
1159             compteur1 + compteur2*saut;
1160     }

```

```

1152     for (int m=i ; m!=i+f-1 ; ++m)
1153     {
1154         vrSansMut[0][m] = vrSansMut[0][m] * pow(
                vrSansMutEnt[0],1/invPoids[m]);
1155     }
1156
1157     if (debug>1)
1158     {
1159         cout << "\n";
1160         printVV(vrSansMut,"vrSansMut");
1161     }
1162
1163     for (int m=i ; m!=i+f-1 ; ++m)
1164     {
1165         seq2.assign(seq.begin(),seq.end()); // Copier
                seq.
1166
1167         // Changer les séquences (ajouter la mutation
                dans l'intervalle m)
1168         for (int j=0 ; j!=seq2.size(); ++j) // Ajouter
                la mutation, ce qui nous donne "seq2".
1169         {
1170             seq2[j].insert(seq2[j].begin()+m+1,
                malade[j]);
1171         }
1172
1173         seqNum2 = idSeq(seq2,tHap2); // Construction
                de "seqNum2"
1174
1175         // Initialisation du vecteur contenant le nombre
                de numéro de séquences
1176         for (int ii=0; ii!=puissance(f+1,3)-1; ++ii)
1177         {
1178             nbSeqNum2.push_back(0);
1179         }
1180
1181         // Calcul de la multiplicité de chaque numéro de
                séquence
1182         for (int ii=0; ii!=seqNum2.size(); ++ii)
1183         {
1184             valeurSeq2 = seqNum2[ii];
1185             nbSeqNum2[valeurSeq2] = nbSeqNum2[
                valeurSeq2] + mult[ii];
1186         }
1187
1188         for (int ii=0; ii!=puissance(f+1,3)-1; ++ii)
1189         {
1190             if (nbSeqNum2[ii] != 0)
1191             {
1192                 seqNumMod2.push_back(ii);
                // Construction de "
                seqNumMod2"
1193                 multMod2.push_back(nbSeqNum2[ii]

```

```

]; // Construction de "
    multiMod2"
1194     }
1195 }
1196
1197 for (int ii=0; ii!=seqNumMod2.size(); ++ii)
1198 {
1199     seqMod2.push_back(tHap2[seqNumMod2[ii]])
1200     ;
1201 }
1202 // Modifier distI2
1203 for (int z=0 ; z!=nbCan ; ++z)
1204 {
1205     for (int s=i ; s!=i+f-1 ; ++s)
1206     {
1207         if (m == s)
1208         {
1209             distImTemp.push_back((z
1210             +1) * distI[s] / (
1211             nbCan+1));
1212             distImTemp.push_back(
1213             distI[s] - ((z+1) *
1214             distI[s] / (nbCan+1)
1215             ));
1216         }
1217         if (m != s)
1218         {
1219             distImTemp.push_back(
1220             distI[s]);
1221         }
1222     }
1223     distIm.push_back(distImTemp);
1224     distImTemp.clear();
1225 }
1226
1227 if (debug>0)
1228 {
1229     cout << "\n" << "\nPARAMETRES POUR LA
1230     FENETRE " << i << " (AVEC LA
1231     MUTATION) \n";
1232 }
1233
1234 if (debug>1)
1235 {
1236     printVV(seqMod2,"seqMod2");
1237     printV(seqNum2,"seqNum2");
1238     printVV(distIm,"distIm");
1239     cout << "r = " << r << "\n";
1240     cout << "rho = " << rho << "\n";
1241 }

```

```

1236
1237         vrAvecMutEnt = recurs(seqMod2, seqNumMod2, recMax,
                                multMod2, distIm, alpha, beta, r, theta, rho, tHap2
                                , tCoa2, tMut2, tRecG2, tRecD2, f+1, debug,
                                resultats, step, arret);
1238
1239         if (debug>0)
1240         {
1241             cout << "\nNombre total d'evenements: "
1242                 << compteur1 + compteur2*saut;
1243         }
1244         for (int w=0 ; w!=nbCan ; ++w)
1245         {
1246             vrAvecMut[w][m] = vrAvecMut[w][m] * pow(
1247                 vrAvecMutEnt[w], 1/invPoids[m]) ;
1248         }
1249         if (debug>1)
1250         {
1251             cout << "\n";
1252             printVV(vrAvecMut, "vrAvecMut");
1253         }
1254
1255         seq2.clear();
1256         seqNum2.clear();
1257         nbSeqNum2.clear();
1258         seqNumMod2.clear();
1259         multMod2.clear();
1260         seqMod2.clear();
1261         distIm.clear();
1262         vrSansMutEnt.clear();
1263     }
1264     seq.clear();
1265     seqNum.clear();
1266     nbSeqNum.clear();
1267     seqNumMod.clear();
1268     multMod.clear();
1269     seqMod.clear();
1270     distI2.clear();
1271     vrAvecMutEnt.clear();
1272 }
1273
1274 if (debug>0)
1275 {
1276     cout << "\n\n";
1277     printVV(vrSansMut, "vrSansMut");
1278     cout << "\n";
1279     printVV(vrAvecMut, "vrAvecMut");
1280     cout << "\n";
1281 }
1282
1283 for (int i=0 ; i!=nbCan ; ++i)

```

```

1284     {
1285         for (int j=0 ; j!=hap[0].size()-1 ; ++j)
1286         {
1287             vrMutFeed.push_back(vrAvecMut[i][j] / vrSansMut
1288                                 [0][j]);
1289         }
1290         vrMut.push_back(vrMutFeed);
1291         vrMutFeed.clear();
1292     }
1293     return(vrMut);
1294 }

```

---

## Main

---

```

1 #include "declarations.cpp"
2 #include "fonctions.cpp"
3
4 int main(int argc, char *argv[])
5 {
6     clock_t t1=clock();
7
8     // Variables
9
10    // Options
11    string commandLine;
12    string fileR;
13    char *program_name;
14
15    // Fichier de données
16    string parFile;
17    string dataFile;
18    string datFile;
19    const char* resultats;
20    int ne;
21    double mu;
22    int nbCan;
23    VecD distI;
24    int f;
25    VecI recMax;
26    int debug = 0;
27    int arret;
28
29    // Paramètres génétiques
30    VecD beta;
31    double theta;
32    double alpha = 1;
33
34    // Matrices d'haplotypes et d'évènements
35    VecI vecVide;
36    VVecI tHapInt1;
37    VVecI tHap1;

```

```

38     VVecI tHapInt2;
39     VVecI tHap2;
40     VVecI tCoa1;
41     VVecI tCoa2;
42     VVecI tMut1;
43     VVecI tMut2;
44     VVecI tRecG1;
45     VVecI tRecG2;
46     VVecI tRecD1;
47     VVecI tRecD2;
48
49     // Matrice de position
50     VecD rTFeed;
51     VVecD rT;
52
53     // Données
54     VVecI donnees;
55     VecI mult;
56     VecI malade;
57     VecI hapInt;
58     VVecI hap;
59
60     // Vecteur de vraisemblance de la mutation
61     VVecD vectVr;
62
63     // Vecteurs pour le graphique
64     VecD canCoord;
65     VecD finalLogLik;
66
67     // Critère d'arrêt
68     int step = 1;
69
70
71     // Lecture des options
72     commandLine = "";
73     fileR = "";
74     for(unsigned int icl=0 ; icl!= (unsigned)argc ; ++icl)
75     {
76         commandLine += argv[icl] ;
77         commandLine += " " ;
78     }
79
80     program_name = argv[0];
81     if(argc == 1) cerr << "You should give at least a parameter file."
82     << endl;
83
84     while((argc > 1) && (argv[1][0] == '-'))
85     {
86         switch (argv[1][1])
87         {
88             case 'd': ++ argv; debug = atoi(argv
89                 [1][0]); -- argc; break; // Entrée dans le
90                 mode debug;

```

```

88         case 'o': ++ argv; fileR           = &argv
            [1][0];      -- argc; break; // Fichier de
            sortie R;
89         case 'p': ++ argv; parFile        = &argv
            [1][0];      -- argc; break; // Fichier de
            paramètres;
90         case 'r': ++ argv; resultats      = &argv
            [1][0];      -- argc; break; //
            Fichier de résultats;
91         case 'y': ++ argv; datFile       = &argv
            [1][0];      -- argc; break; // Fichier de
            données;

92
93
94         default: cerr << "Option " << argv[1] << " not
            recognized.\n";
95     }
96     ++ argv;
97     -- argc;
98 }
99
100
101 // Lecture des paramètres
102 readParm(parFile,ne,mu,nbCan,distI,dataFile,f,recMax,debug,
            resultats,arret);
103
104
105 // Initialisation du paramètre beta
106 for (int i=0 ; i!=nbCan ; ++i)
107 {
108     beta.push_back(1);
109 }
110
111 // Calcul du paramètre theta
112 theta = 4 * ne * mu;
113
114 // Affichage des paramètres theta, beta et alpha
115 if (debug>1)
116 {
117     cout << "\n";
118     cout << "PARAMETRES THETA, BETA ET ALPHA \n";
119     cout << "theta = " << theta << "\n";
120     printV(beta,"beta");
121     cout << "alpha = " << alpha << "\n";
122 }
123
124
125 // Construction des matrices d'haplotypes et d'évènements
126
127 // Construction des matrices de tous les haplotypes possibles
128 tHapInt1 = tabHap(f,vecVide);
129 tHap1.assign(tHapInt1.begin(),tHapInt1.end()-1);
130 tHapFct.clear();

```

```

131     tHapInt2 = tabHap(f+1,vecVide);
132     tHap2.assign(tHapInt2.begin(),tHapInt2.end()-1);
133
134     // Construction des matrices des coalescences distinctes
135     tCoa1 = matCoaDi(tHap1);
136     tCoa2 = matCoaDi(tHap2);
137
138     // Construction des matrices des mutations
139     tMut1 = matMutDi(tHap1);
140     tMut2 = matMutDi(tHap2);
141
142     // Construction des matrices des recombinaisons
143     tRecG1 = matRecDi("g",tHap1);
144     tRecG2 = matRecDi("g",tHap2);
145     tRecD1 = matRecDi("d",tHap1);
146     tRecD2 = matRecDi("d",tHap2);
147
148     // Affichage des matrices d'haplotypes et d'évènements
149     if (debug>1)
150     {
151         cout << "\nMATRICES \n";
152         printVV(tHap2,"tHap2");
153         printVV(tCoa2,"tCoa2");
154         printVV(tMut2,"tMut2");
155         printVV(tRecG2,"tRecG2");
156         printVV(tRecD2,"tRecD2");
157     }
158
159
160     // Calcul de la matrice rT
161     for (int i=0 ; i!=nbCan ; ++i)
162     {
163         for (int j=0 ; j!=distI.size() ; ++j)
164         {
165             double plus = 0;
166             for (int k=0 ; k!=j ; ++k)
167             {
168                 plus = plus + distI[k];
169             }
170
171             rTFeed.push_back(((i+1) * distI[j] / (nbCan+1))
172                             + plus);
173         }
174         rT.push_back(rTFeed);
175         rTFeed.clear();
176     }
177
178     // Lecture des données
179     //donnees          = readData(debug,dataFile);
180     donnees = readData(debug,datFile);
181
182

```

```

183 // Séparation des données
184 for (int i=0; i != donnees.size(); ++i)
185 {
186     mult.push_back(donnees[i][0]);
187     malade.push_back(donnees[i][1]);
188     for (int j=2 ; j !=donnees[0].size() ; ++j)
189     {
190         hapInt.push_back(donnees[i][j]);
191     }
192     hap.push_back(hapInt);
193     hapInt.clear();
194 }
195
196 // Affichage des paramètres "donnees", "mult", "malade" et "hap"
197 if (debug>0)
198 {
199     cout << "\n";
200     cout << "SEQUENCES \n";
201     printVV(donnees, "donnees");
202     printV(mult, "mult");
203     printV(malade, "malade");
204     printVV(hap, "hap");
205 }
206
207
208 // Calcul du vecteur de vraisemblance
209 vectVr = vraisTot(ne,nbCan,distI,f,recMax,
210 tHap1,tHap2,tCoal,tCoa2,tMut1,tMut2,tRecG1,tRecG2,tRecD1,tRecD2,
211 theta,beta,alpha,
212 donnees,mult,malade,hap,
213 debug,resultats,step,arret);
214
215 // Affichage de la matrice rT et du vecteur de vraisemblance
216 if (debug>0)
217 {
218     cout << "MATRICE RT ET VECTEUR DE VRAISEMBLANCE \n";
219     printVV(rT,"rT");
220     cout << "\n";
221     printVV(vectVr,"vectVr");
222 }
223
224 // Construction de canCoord et de finalLogLik
225 for (int i=0 ; i!=hap[0].size()-1 ; ++i)
226 {
227     for (int j=0 ; j!=nbCan ; ++j)
228     {
229         canCoord.push_back(rT[j][i]);
230         finalLogLik.push_back(log(vectVr[j][i]));
231     }
232 }
233
234 if (debug>0)
235 {

```

```

236         cout << "\n";
237         printV(finalLogLik,"finalLogLik");
238     }
239
240     // Écriture des programmes R ;
241     string fileCMD = fileR + ".r";
242     const char* cmd_file = fileCMD.c_str() ;
243
244     ofstream outd(cmd_file,ios::out);
245     if(!outd){
246         char *cmd_back = "MapArgDefault.r";
247         cerr << " + R file could not be opened for writing.\n";
248         cerr << " + Plot file is then: MapArgDefault.r.\n";
249         ofstream outc(cmd_back,ios::out);
250     }
251     outd << "# Command file for R" << endl;
252     outd << "par(mfcol=c(1,1))" << endl;
253
254     outd << "x<-c(";
255     for(unsigned int index=0 ; index != (unsigned)(nbCan*(hap[0].size()
256         -1)); ++index){
257         outd << canCoord[index] ;
258         if(index < (unsigned)(nbCan*(hap[0].size()-1)) -1 ) outd << ",";
259         if(index % 50 == 0 && index != (unsigned)(nbCan*(hap[0].size()
260             -1)) -1 ) outd << "+" << endl; // Limite de 1022 caractères
261             dans la ligne de commande R;
262     }
263     outd << ")" << endl;
264     outd << "y<-c(";
265     for(unsigned int index=0 ; index != (unsigned)(nbCan*(hap[0].size()
266         -1)); ++index){
267         outd << finalLogLik[index] ;
268         if(index < (unsigned)(nbCan*(hap[0].size()-1)) -1 ) outd << ",";
269         if(index % 50 == 0 && index != (unsigned)(nbCan*(hap[0].size()
270             -1)) -1 ) outd << "+" << endl; // Limite de 1022 caractères
271             dans la ligne de commande R;
272     }
273     outd << ")" << endl;
274     outd << "pdf(\"" << fileCMD << ".pdf\")" << endl;
275     outd << "plot(x,y,type=\"n\",xlab=\"\",ylab=\"\",las=1)" << endl;
276     outd << "lines(x,y,col=\"blue\", lwd=4)" << endl;
277     outd << "dev.off()" << endl;
278
279     outd << "\n";
280     outd.close();
281
282     // Indication du temps requis
283     clock_t t2=clock();
284     if (debug>0)
285     {
286         cout << "\n";
287         printf("%.4lf seconds of processing\n", (t2-t1)/(double)
288             CLOCKS_PER_SEC);

```

```
282     cout << "\n";
283     printf("%.4lf minutes of processing\n", (t2-t1)/(60*(double)
        CLOCKS_PER_SEC));
284     cout << "\n";
285     printf("%.4lf hours of processing\n", (t2-t1)/(3600*(double)
        CLOCKS_PER_SEC));
286     }
287
288     return(0);
289 }
```

---

## BIBLIOGRAPHIE

- Fearnhead, P. et P. Donnelly. 2001. « Estimating recombination rates from population genetic data », *Genetics*, 159, 1299-1318.
- Fearnhead, P. et P. Donnelly. 2002. « Approximate likelihood methods for estimating local recombination rates », *J. Roy. Statist. Soc. Ser. B*, 64, 657-680.
- Felsenstein, J., M. K. Kuhner, J. Yamato et P. Beerli. 1999. « Likelihoods on coalescents : a Monte Carlo sampling approach to inferring parameters from population samples of molecular data », *Statistics in Molecular Biology*, 33, 163-185.
- Fisher, R. A. 1930. *The genetical theory of natural selection*. Clarendon Press.
- Griffiths, R. C. et P. Marjoram. 1996. « Ancestral inference from samples of DNA sequences with recombination », *J. Comput. Biol.*, 3, 479-502.
- Griffiths, R. C. et S. Tavaré. 1994. « Sampling theory for neutral alleles in a varying environment », *Proc. R. Soc. Lond. B*, 344, 403-410.
- Hein, J., M. H. Schierup et C. Wiuf. 2005. *Gene genealogies, variation and evolution : a primer in coalescent theory*. Oxford University Press, Oxford.
- Hudson, R. R. 1983. « Properties of a neutral allele model with intragenic recombination », *Theor. Popul. Biol.*, 23, 183-201.
- Hudson, R. R. 2001. « Two-locus sampling distributions and their application », *Genetics*, 159, 1805-1817.
- Hudson, R. R. 2002. « Generating samples under a Wright-Fisher neutral model of genetic variation », *Bioinformatics*, 18, 337-338.
- Kimura, M. 1969. « The number of heterozygous nucleotide sites maintained in a finite population due to steady flux of mutations », *Genetics*, 61, 893-903.
- Kingman, J. F. C. 1982. « The coalescent », *Stoch. Process. Appl.*, 13, 235-248.
- Larribe, F. 2003. « Cartographie génétique fine par le graphe de recombinaison ancestral », *Thèse de doctorat*, Université de Montréal, Montréal.

- Larribe, F. et S. Lessard. 2008. « A composite-conditional-likelihood approach for gene mapping based on linkage disequilibrium in windows of marker loci », accepté dans *Statistical Applications in Genetics and Molecular Biology*.
- Larribe, F., S. Lessard et N. J. Schork. 2002. « Gene mapping via the ancestral recombination graph », *Theor. Popul. Biol.*, 62, 215-229.
- Lindsay, B. G. 1988. « Composite likelihood methods. », *Contemporary Mathematics*, 80, 221-239.
- Myers, S. R. et R. C. Griffiths. 2003. « Bounds on the minimum number of recombination events in a sample history », *Genetics*, 163, 375-394.
- Neuhauser, C. 2001. « Mathematical models in population genetics », Chapitre 22 dans *Handbook of statistical genetics*. D. J. Balding, M. Bishop et C. Cannings (Eds). Wiley, Chichester, UK. pp. 755-780.
- Nordborg, M. 2001. « Coalescent theory », Chapitre 25 dans *Handbook of statistical genetics*. D. J. Balding, M. Bishop et C. Cannings (Eds). Wiley, Chichester, UK. pp. 843-877.
- Song, Y. S. et J. Hein. 2005. « Constructing minimal ancestral recombination graphs », *J. Comput. Biol.*, 12, 147-169.
- Stephens, M. et P. Donnelly. 2000. « Inference in molecular population genetics », *J. Roy. Statist. Soc. Ser. B*, 62, 605-655.
- Varin, C. et P. Vidoni. 2005. « A note on composite likelihood inference and model selection », *Biometrika*, 92, 519-528.
- Wright, S. 1931. « Evolution in Mendelian populations », *Genetics*, 16, 97-159.